

เอกสารและสิ่งอ้างอิง

- กรมการขนส่งทางน้ำและพาณิชยนาวี. 2546. รายงานผลการวิเคราะห์คุณภาพน้ำในแม่น้ำ
(เจ้าพระยา ท่าจีน แม่กลอง ป่าสัก บางปะกง ประแสร์ ระยอง ลำน้ำลำตะคอง มูล ชี
นครนายก จันทบุรี พังราด และตราด). มปท.
- กรรณิการ์ บรรจงรักษา. 2547. แบบจำลองคณิตศาสตร์สำหรับคำนวณการแพร่กระจายความเค็ม
ในทะเลสาบสงขลา. วิทยานิพนธ์ปริญญาโท, มหาวิทยาลัยเกษตรศาสตร์.
- โกมินทร์ โรจน์พานิช. 2535. แบบจำลองทางคณิตศาสตร์สำหรับการคำนวณการกระจายของค่า
ความเค็มในแม่น้ำเจ้าพระยา. วิทยานิพนธ์ปริญญาโท, มหาวิทยาลัยเกษตรศาสตร์.
- กิริติ ลีวัจนกุล. 2531. การแพร่ของน้ำเค็มเข้าแม่น้ำเจ้าพระยา. วิทยานิพนธ์ปริญญาโท,
จุฬาลงกรณ์มหาวิทยาลัย.
- จารุวรรณ สมศิริ, ชาศรียา คุณยอนุกิจ และ เสฎีเยม สังขพิทักษ์. 2543. คุณภาพน้ำและการ
แพร่กระจายของแพลงก์ตอนพืชในแม่น้ำแม่กลอง. กรมประมง, กรุงเทพฯ.
- ทรงศักดิ์ บรรจงมณี. 2540. เริ่มแรกเรียนรู้เรื่องการเขียนโปรแกรมด้วย Delphi. บริษัท ซีเอ็ดดูเค
ชั่น จำกัด (มหาชน), กรุงเทพฯ.
- นฤมล สังขประดิษฐ์. 2541. การเปรียบเทียบแบบจำลองทางคณิตศาสตร์ MIKE 11 ในการ
คาดการณ์คุณภาพน้ำแม่กลองตอนบน. วิทยานิพนธ์ปริญญาโท, จุฬาลงกรณ์มหาวิทยาลัย.
- นุชนารถ ศรีวงศิตานนท์. 2545. การจำลองสถานะน้ำท่วม. ม.ป.ท.
- บุญเลิศ เอี่ยมทัศนาศนา. 2539. Delphi. บริษัท ซีเอ็ดดูเคชั่น จำกัด (มหาชน), กรุงเทพฯ.

- ปราโมทย์ เดชะอำไพ. 2544. ไฟไนต์เอลิเมนต์ในงานวิศวกรรม. พิมพ์ครั้งที่ 2. จุฬาลงกรณ์มหาวิทยาลัย, กรุงเทพฯ.
- ปราโมทย์ เดชะอำไพ. 2546. ไฟไนต์เอลิเมนต์อย่างง่ายพร้อมซอฟต์แวร์. พิมพ์ครั้งที่ 1. จุฬาลงกรณ์มหาวิทยาลัย, กรุงเทพฯ.
- ปราโมทย์ เดชะอำไพ. 2546. ระเบียบวิธีเชิงตัวเลขในงานวิศวกรรม. พิมพ์ครั้งที่ 4. จุฬาลงกรณ์มหาวิทยาลัย, กรุงเทพฯ.
- ปิยพร ปิยสาริต. 2547. การพัฒนาแบบจำลองทางคณิตศาสตร์เพื่อการจัดการคุณภาพน้ำในแม่น้ำท่าจีน. วิทยานิพนธ์ปริญญาโท, มหาวิทยาลัยเกษตรศาสตร์.
- ภัทรา เฟงธรรมกิริติ. 2541. การเปรียบเทียบแบบจำลองทางคณิตศาสตร์ MIKE 11 ในการคาดการณ์คุณภาพน้ำแม่กลองตอนล่าง. วิทยานิพนธ์ปริญญาโท, จุฬาลงกรณ์มหาวิทยาลัย.
- รชตวรรษ คงกิจ. 2547. การพัฒนาแบบจำลองทางคณิตศาสตร์สำหรับศึกษาด้านอุทกพลศาสตร์ในแม่น้ำบางปะกง. วิทยานิพนธ์ปริญญาโท, มหาวิทยาลัยเกษตรศาสตร์.
- วัชร อธิปัญญาสฤษฎี. 2547. การพัฒนาแบบจำลองคุณภาพน้ำสำหรับแม่น้ำบางปะกง. วิทยานิพนธ์ปริญญาโท, มหาวิทยาลัยเกษตรศาสตร์.
- วินัย เลียงเจริญสิทธิ์. 2548. เอกสารประกอบการเรียนวิชา การจำลองระบบสิ่งแวดล้อม. มหาวิทยาลัยเกษตรศาสตร์, กรุงเทพฯ.
- สุจริต คุณชนกุลวงศ์. 2529. โมเดลไฟไนต์เอลิเมนต์สำหรับการแพร่ของน้ำเค็มเข้าแม่น้ำ. 66 หน้า.
- สุทธิพร อนันต์พิพัฒน์กิจ. 2542. แบบจำลองทางคณิตศาสตร์เพื่อการจัดการคุณภาพน้ำในลำตะคอง. วิทยานิพนธ์ปริญญาโท, มหาวิทยาลัยเกษตรศาสตร์.

Ahmad, E. 1980. **Mathematical Modelling of Unsteady Flow in a Tidal Reach of the Bang Pakong River**. M.S. Thesis, Asian Institute of Technology.

Boworsak, W. 1992. **Water Quality Analysis for a Basin-wide Planning**. M.Eng.Thesis, Asian Institute of Technology.

Brebbia, C.A. 1973. **The Boundary Element Method for Engineers**. Wiley, New York.

Connor, J.J. and J.D. Wang. 1973. **Mathematical Models of the Massachusetts Bay, Part I. Finite element modeling of two-dimensional hydrodynamic circulation in shallow water masses, Report No. 172, Raph.** 238 p.

DHI. 1988. **MIKE 11 users' guide**. Denmark.

Ippen, A.T. 1996. **Estuary and Coastline Hydrodynamics**. Mcgraw Hill company, Inc., New York.

James, L.M. and C.M. Steven. 1999. **Hydrodynamics and Transport for Water Quality Modeling**. Lewis Publishers, Boca Raton.

Khaleque, A. 1979. **A Mathematical Model of Salinity Intrusion in the Bang Pakong River**. M.S. thesis, Asian Institute of Technology.

Li, Y.T. 2000. **Pollution Modeling of The Chao Phraya River**. M.S. thesis, Asian Institute of Technology.

Liengcharernsit, W. 1979. **Mathematical Model for Hydrodynamic Circulation and Dispersions of Selected Water Quality Constituents with Application to The Upper Gulf of Thailand**. Ph.D. Thesis, Asian Institute of Technology.

Lohani, B.N. 1980. **Environmental Quality Management**. South Asian, New Delhi.

Moodie, A.R. 1979. **Modelling of Water Quality and Hydrology in An Urban Watercourse**. Australian Government Publishing Service, Canberra.

O'Connor, D.J. , R.V. Thomann and D.M. Di Toro. 1973. **Dynamic Water Quality Forecasting and Management**. Office of Research and Development, U.S. Environmental Protection Agency.

Pritchard, D, W. 1971. **Hydrodynamic Model. Estuarine Modelling : AN Assessment by TRACOR**. The water Quality Office, U.S. Environmental Protection Agency, New York.

Thomann, R.V. and J.A. Mueller. 1987. **Principles of Surface Water Quality Modelling and Control**. Harper & Row , Publishers ,New York.

ภาคผนวก

ภาคผนวก ก

Source code โปรแกรมคอมพิวเตอร์สำหรับแบบจำลอง
คำนวณการแพร่กระจายความเค็มที่สถานะไม่คงที่

```

%=====Data Input=====
%-----Variable Input-----%
node = 121;
element = 120;
g=9.8016;
Ch=14;
K=0;
delt=30;
t_h0=0;
t_u0=t_h0+delt/2;
ntime=8640;
time=ntime*delt;
%-----Coordinate Input-----%
coordinate=xlsread('CoordinateMK_Ed','Coordinate');
x=zeros(node,1);
for i=1:node
    x(i,1)=x(i,1)+coordinate(i,2);
end
B=zeros(node,1);
for i=1:node
    B(i,1)=B(i,1)+coordinate(i,5);
end
%-----Node number/sequence Input-----%
ndsequence=xlsread('CoordinateMK_Ed','Element');
nd=zeros(element,2);
for i=1:element
    for j=1:2
        nd(i,j)=nd(i,j)+ndsequence(i,j+1);
    end
end
end

```

```

ndnumber=zeros(node,1);
for i=1:node
    ndnumber(i,1)=ndnumber(i,1)+coordinate(i,1);
end
delx=zeros(element,1);
for i=1:element
    delx(i,1)=delx(i,1)+ndsequence(i,4);
end
%=====Initial Condition=====
%-----H_level(etha)/H(etha+z) Input-----%
H0=zeros(node,1);
H_level=zeros(node,1);
A=zeros(node,1);
for i=1:node
    H0(i,1)=H0(i,1)+coordinate(i,3);
end
H=H0+H_level;
Htotime_print=zeros((time/1800)+1,6);
H_leveltime_0km=zeros((time/1800)+1,1);
H_leveltime_21km=zeros((time/1800)+1,1);
H_leveltime_41km=zeros((time/1800)+1,1);
H_leveltime_65km=zeros((time/1800)+1,1);
H_leveltime_79km=zeros((time/1800)+1,1);
H_leveltime_0km(1,1)=H_level(1,1);
H_leveltime_21km(1,1)=H_level(22,1);
H_leveltime_41km(1,1)=H_level(42,1);
H_leveltime_65km(1,1)=H_level(66,1);
H_leveltime_79km(1,1)=H_level(80,1);
run H_A_Function;

```

```

%-----Qx Input-----%
Qx=zeros(node,1);
Qtotime_print=zeros((time/1800)+1,6);
Qtime_0km=zeros((time/1800)+1,1);
Qtime_21km=zeros((time/1800)+1,1);
Qtime_41km=zeros((time/1800)+1,1);
Qtime_65km=zeros((time/1800)+1,1);
Qtime_79km=zeros((time/1800)+1,1);
Qtime_0km(1,1)=Qx(1,1);
Qtime_21km(1,1)=Qx(22,1);
Qtime_41km(1,1)=Qx(42,1);
Qtime_65km(1,1)=Qx(66,1);
Qtime_79km(1,1)=Qx(80,1);
%-----Salinity Input-----%
S_CxT0=zeros(node,1);
Sal_ini=xlsread('Sal_ini','14DEC04');
for i=1:node;
    S_CxT0(i,1)=S_CxT0(i,1)+Sal_ini(i,1);
end
%-----Display Input-----%
show_h=fopen('resultfileHDDP_MK_h04Final.txt','w');
show_hptime=fopen('resultfileHDDP_MK_hptime04Final.txt','w');
show_q=fopen('resultfileHDDP_MK_q04Final.txt','w');
show_qtime=fopen('resultfileHDDP_MK_qtime04Final.txt','w');
show_s=fopen('resultfileHDDP_MK_s04Final.txt','w');
%=====Computation=====
%-----Matrix M-----%
me=zeros(2);
M=zeros(node);
for e=1:element

```

```

    phi=[delx(e,1)/3 delx(e,1)/6;
        delx(e,1)/6 delx(e,1)/3];
    b=[B(nd(e,1),1);
        B(nd(e,2),1)];
    B_avr=(b(1,1)+b(2,1))/2;
    me_w=B_avr*phi;
    me=me_w+me;
for i=1:2;
    for j=1:2;
        M(nd(e,i),nd(e,j))=M(nd(e,i),nd(e,j))+me(i,j);
    end
end
me=zeros(2);
end
%-----Matrix M1-----%
m1e=zeros(2);
M1=zeros(node);
for e=1:element
    phi=[delx(e,1)/3 delx(e,1)/6;
        delx(e,1)/6 delx(e,1)/3];
    m1e_w=phi;
    m1e=m1e_w+m1e;
for i=1:2;
    for j=1:2;
        M1(nd(e,i),nd(e,j))=M1(nd(e,i),nd(e,j))+m1e(i,j);
    end
end
m1e=zeros(2);
end
%-----Matrix MQE(Side flow)-----%

```

```

QE=zeros(element,1);
mqee=zeros(2,1);
MQE=zeros(node,1);
for e=1:element
    phi=[delx(e,1)/2;delx(e,1)/2];
    mqee_w=phi*QE(e,1);
    mqee=mqee_w+mqee;
    for i=1:2
        MQE(nd(e,i),1)=mqee(i,1)+MQE(nd(e,i),1);
    end
    mqee=zeros(2,1);
end
%-----Matrix MKX-----%
mkxe=zeros(2);
MKX=zeros(node);
for e=1:element
    phi=[1/delx(e,1) -1/delx(e,1);
        -1/delx(e,1) 1/delx(e,1)];
    if e<=9;
        Kx=1600;
    elseif e>9
        Kx=130;
    end
    mkxe_w=Kx*phi;
    mkxe=mkxe_w+mkxe;
    for i=1:2
        for j=1:2
            MKX(nd(e,i),nd(e,j))=mkxe(i,j)+MKX(nd(e,i),nd(e,j));
        end
    end
end
end

```

```

    mkxe=zeros(2);
end
%-----Matrix MK-----%
mke=zeros(2);
MK=zeros(node);
for e=1:element
    phi=[delx(e,1)/3 delx(e,1)/6;
         delx(e,1)/6 delx(e,1)/3];
    mke_w=K*phi;
    mke=mke_w+mke;
    for i=1:2
        for j=1:2
            MK(nd(e,i),nd(e,j))=mke(i,j)+MK(nd(e,i),nd(e,j));
        end
    end
end
mke=zeros(2);
end
%-----Matrix MR-----%
MR=zeros(node,1);
%-----Loop Start-----%
for n=1:ntime
    t_h=t_h0+(n*delt);
%-----Matrix MHQ-----%
    mhqe=zeros(2,1);
    MHQ=zeros(node,1);
    for e=1:element
        qx=[Qx(nd(e,1),1);
            Qx(nd(e,2),1)];
        -1/2 1/2];
        mhqe_w=phi*qx;

```

```

    mhqe=mhqe_w+mhqe;
    for i=1:2
        MHQ(nd(e,i),1)=MHQ(nd(e,i),1)+mhqe(i,1);
    end
    mhqe=zeros(2,1);
end
%=====H/H_level Computation=====
EH=MHQ+MQE;
MEHL=(M/delt);
MEHR=((M/delt)*H_level)-EH;
%-----Apply boundary condition-----%
for i=1:node;
    MEHL(1,i)=0;
end
MEHL(1,1)=1;
MEHR(1,1)=((0.45)+((0.237)*sin(((2*pi*t_h)/(12.4167*3600))+0.248)
+0.388*sin(((2*pi*t_h)/(12*3600))-0.187)+0.288*sin(((2*pi*t_h)/(26.82*3600))+0.58)
+1.15*sin(((2*pi*t_h)/(23.9333*3600))-0.755)));
%-----Computation-----%
H_levelnxt=(inv(MEHL)*MEHR);
Hnxt=H_levelnxt+Z;
run Hnxt_A_Function;
%=====H/H_level Display=====
if rem(t_h,1800)==0
    disp('t_h=');
    disp(t_h);
H_print=zeros(node,2);
    for i=1:node
        H_print(i,1)=H_print(i,1)+ndnumber(i,1);
        H_print(i,2)=H_print(i,2)+H_levelnxt(i,1);
    end
end

```

```

end
disp(' Node H_level');
disp(H_print);
t=t_h;
fprintf(show_h,'t_h=%10.0f\r\n',t);
fprintf(show_h,'%12f\r\n',H_levelnxt);
end
if rem(t_h,1800)==0;
    Htotime_print((t_h/1800)+1,1)=t_h/3600;
    H_leveltime_0km((t_h/1800)+1,1)=H_levelnxt(1,1);
    H_leveltime_21km((t_h/1800)+1,1)=H_levelnxt(22,1);
    H_leveltime_41km((t_h/1800)+1,1)=H_levelnxt(42,1);
    H_leveltime_65km((t_h/1800)+1,1)=H_levelnxt(66,1);
    H_leveltime_79km((t_h/1800)+1,1)=H_levelnxt(80,1);
    for i=1:(t_h/1800)+1
        Htotime_print(i,2)=H_leveltime_0km(i,1);
        Htotime_print(i,3)=H_leveltime_21km(i,1);
        Htotime_print(i,4)=H_leveltime_41km(i,1);
        Htotime_print(i,5)=H_leveltime_65km(i,1);
        Htotime_print(i,6)=H_leveltime_79km(i,1);
    end
    disp(' Time(hr) x=0 km x=21 km x=41 km x=65 km x=79 km');
    disp(Htotime_print);
    x0=0;
    x21=21;
    x41=41;
    x65=65;
    x79=79;
    fprintf(show_hptime,'t=%10.0f\r\n',t_h);
    fprintf(show_hptime,'x =%3.0f km\r\n',x0);

```

```

fprintf(show_hptime,'%12f\r\n',H_leveltime_0km);
fprintf(show_hptime,'x =%3.0f km\r\n',x21);
fprintf(show_hptime,'%12f\r\n',H_leveltime_21km);
fprintf(show_hptime,'x =%3.0f km\r\n',x41);
fprintf(show_hptime,'%12f\r\n',H_leveltime_41km);
fprintf(show_hptime,'x =%3.0f km\r\n',x65);
fprintf(show_hptime,'%12f\r\n',H_leveltime_65km);
fprintf(show_hptime,'x =%3.0f km\r\n',x79);
fprintf(show_hptime,'%12f\r\n',H_leveltime_79km);
end
%-----Matrix MU1-----%
mule=zeros(2);
MU1=zeros(node);
for e=1:element
    phi=[1/3 1/6;
        1/6 1/3];
    phi1=[-1 1];
    qx=[Qx(nd(e,1),1);
        Qx(nd(e,2),1)];
    a=[A(nd(e,1),1);
        A(nd(e,2),1)];
    qx_a=[qx(1,1)/a(1,1);
        qx(2,1)/a(2,1)];
    mule_w=2*phi*qx_a*phi1;
    mule=mule_w+mule;
    for i=1:2;
        for j=1:2;
            MU1(nd(e,i),nd(e,j))=mule(i,j)+MU1(nd(e,i),nd(e,j));
        end
    end
end
end

```

```

    mu1e=zeros(2);
end
%-----Matrix MU2-----%
mu2e=zeros(2);
MU2=zeros(node);
for e=1:element
    phi=[1/3 1/6;
         1/6 1/3];
    phi1=[-1 1];
    qx=[Qx(nd(e,1),1);
        Qx(nd(e,2),1)];
    a=[A(nd(e,1),1);
       A(nd(e,2),1)];
    qx_a=[(qx(1,1)/a(1,1)^2);
          (qx(2,1)/a(2,1)^2)];
    mu2e_w=phi*qx_a*phi1;
    mu2e=mu2e_w+mu2e;
    for i=1:2;
        for j=1:2;
            MU2(nd(e,i),nd(e,j))=mu2e(i,j)+MU2(nd(e,i),nd(e,j));
        end
    end
end
mu2e=zeros(2);
end
%-----Matrix MXETHA-----%
mxethae=zeros(2);
MXETHA=zeros(node);
for e=1:element
    phi=[1/3 1/6;
         1/6 1/3];

```

```

phi1=[-1 1];
a=[A(nd(e,1),1);
  A(nd(e,2),1)];
mxethae_w=g*phi*a*phi1;
mxethae=mxethae_w+mxethae;
for i=1:2;
  for j=1:2;
    MXETHA(nd(e,i),nd(e,j))=mxethae(i,j)+MXETHA(nd(e,i),nd(e,j));
  end
end
mxethae=zeros(2);
end
%-----Matrix MJ-----%
mje=zeros(2);
MJ=zeros(node);
for e=1:element
  qx=[Qx(nd(e,1),1);
    Qx(nd(e,2),1)];
  qx_avr=(qx(1,1)+qx(2,1))/2;
  h=[H(nd(e,1),1);
    H(nd(e,2),1)];
  h_avr=(h(1,1)+h(2,1))/2;
  a=[A(nd(e,1),1);
    A(nd(e,2),1)];
  A_avr=(a(1,1)+a(2,1))/2;
  juv=(g*abs(qx_avr))/(h_avr*(Ch^2)*A_avr);
  phi=[delx(e,1)/3 delx(e,1)/6;
    delx(e,1)/6 delx(e,1)/3];
  mje_w=juv*phi;
  mje=mje_w+mje;

```

```

for i=1:2;
    for j=1:2;
        MJ(nd(e,i),nd(e,j))=mje(i,j)+MJ(nd(e,i),nd(e,j));
    end
end
mje=zeros(2);
end
%=====Qx computation=====
t_q=t_h+delt/2;
EU=(MU1*Qx)-(MU2*A)-(MXETHA*H0)+(MJ*Qx);
P=inv(M1/delt)*(M1/delt);
QU=(-inv(M1/delt))*(EU+(MXETHA*Hnxt));
%-----Apply Boundary Condition-----
for i=1:node
    P(121,i)=0;
end
if t_q < 75615
    QU(121,1)=-119.145;
elseif t_q >= 75615 & t_q<162015
    QU(121,1)=-119.145;
elseif t_q >= 162015 & t_q<252015
    QU(121,1)=-106.348;
elseif t_q>=252015
    QU(121,1)=-109.972;
end
%-----Computation-----
Qxnxt=(P*Qx)+QU;
%=====Qx display=====
if rem(t_q,1800)==delt/2
    disp('t_q=');

```

```

disp(t_q);
Q_print=zeros(node,2);
for i=1:node
    Q_print(i,1)=Q_print(i,1)+ndnumber(i,1);
end
for i=1:node
    Q_print(i,2)=Q_print(i,2)+Qxnxt(i,1);
end
disp(' Node      Q      ');
disp(Q_print);
t=t_q;
fprintf(show_q,'t_q=%10.0f\r\n',t);
fprintf(show_q,'%12f\r\n',Qxnxt);
end
if rem(t_q,1800)==delt/2;
    Qtotime_print((t_h/1800)+1,1)=t_h/3600;
    Qtime_0km((t_h/1800)+1,1)=Qxnxt(1,1);
    Qtime_21km((t_h/1800)+1,1)=Qxnxt(22,1);
    Qtime_41km((t_h/1800)+1,1)=Qxnxt(42,1);
    Qtime_65km((t_h/1800)+1,1)=Qxnxt(66,1);
    Qtime_79km((t_h/1800)+1,1)=Qxnxt(80,1);
    for i=1:(t_h/1800)+1
        Qtotime_print(i,2)=Qtime_0km(i,1);
        Qtotime_print(i,3)=Qtime_21km(i,1);
        Qtotime_print(i,4)=Qtime_41km(i,1);
        Qtotime_print(i,5)=Qtime_65km(i,1);
        Qtotime_print(i,6)=Qtime_79km(i,1);
    end
    disp(' Time(hr)  x=0 km  x=21 km  x=41 km  x=65 km  x=79 km');
    disp(Qtotime_print);

```

```

x0=0;
x21=21;
x41=41;
x65=65;
x79=79;
fprintf(show_qtime,'t=%10.0f\r\n',t_q);
fprintf(show_qtime,'x =%3.0f km\r\n',x0);
fprintf(show_qtime,'%12f\r\n',Qtime_0km);
fprintf(show_qtime,'x =%3.0f km\r\n',x21);
fprintf(show_qtime,'%12f\r\n',Qtime_21km);
fprintf(show_qtime,'x =%3.0f km\r\n',x65);
fprintf(show_qtime,'%12f\r\n',Qtime_65km);
fprintf(show_qtime,'x =%3.0f km\r\n',x79);
fprintf(show_qtime,'%12f\r\n',Qtime_79km);
end
%-----Matix MQX-----%
mqxe=zeros(2);
MQX=zeros(node);
for e=1:element
    phi=[1/3 1/6;
         1/6 1/3];
    phi1=[-1 1];
    qx=[Qx(nd(e,1),1);Qx(nd(e,2),1)];
    a=[A(nd(e,1),1);A(nd(e,2),1)];
    qx_a=[qx(1,1)/a(1,1);
          qx(2,1)/a(2,1)];
    mqxe_w=phi*qx_a*phi1;
    mqxe=mqxe+mqxe_w;
    for i=1:2
        for j=1:2

```

```

    MQX(nd(e,i),nd(e,j))=mqxe(i,j)+MQX(nd(e,i),nd(e,j));
    end
end
mqxe=zeros(2);
end
%-----Matrix MKX1-----%
mkx1e=zeros(2);
MKX1=zeros(node);
for e=1:element
    phi=[-1/(2*delx(e,1)) 1/(2*delx(e,1));
        -1/(2*delx(e,1)) 1/(2*delx(e,1))];
    phi1=[-1 1];
    a=[A(nd(e,1),1);A(nd(e,2),1)];
    A_avr=(a(1,1)+a(2,1))/2;
    if e<=9;
        Kx=1600;
    elseif e>=9
        Kx=130;
    end
    mkx1e_w=(Kx/A_avr)*phi*a*phi1;
    mkx1e=mkx1e_w+mkx1e;
    for i=1:2
        for j=1:2
            MKX1(nd(e,i),nd(e,j))=mkx1e(i,j)+MKX1(nd(e,i),nd(e,j));
        end
    end
    mkx1e=zeros(2);
end
%=====System equation=====
EC=MQX-MKX1+MKX+MK;

```

```

MECP=M/delt+EC/2;
MECM=M/delt-EC/2;
S_right=(MECM*S_CxT0)+MR;
%=====Apply boundary condition=====
%-----Beginnig side-----%
for i=1:node
    MECP(1,i)=0;
end
MECP(1,1)=1;
S_right(1,1)=25.45;
%-----Finishing side-----%
for i=1:node
    MECP(121,i)=0;
end
MECP(121,121)=1;
S_right(121,1)=0.1;
%=====Computation=====
S_TpdeltaT=inv(MECP)*S_right;
S_CxT0=S_TpdeltaT;
H=Hnxt;
H_level=H_levelnxt;
Qx=Qxnxt;
salinity=abs(S_TpdeltaT);
%=====Output=====
if rem(t_h,1800)==0;
    disp('t_h=');
    disp(t_h);
    disp(' Node Salinity ');
    Ans=zeros(node,2);
    for i=1:node;

```

```

    Ans(i,1)=Ans(i,1)+coordinate(i,1);
    Ans(i,2)=Ans(i,2)+salinity(i,1);
end
disp(Ans);
t=t_h;
fprintf(show_s,'t_pr=%10.0f\r\n',t);
fprintf(show_s,'%12f\r\n',salinity);
end
%=====
end
%
%%%%%%%%%%
%%%%%%%%%%
%
fclose(show_h);
fclose(show_h_time);
fclose(show_q);
fclose(show_q_time);
fclose(show_s);
%
%-----END-----%

```

ภาคผนวก ข

Source code โปรแกรมคอมพิวเตอร์
คำนวณการแพร่กระจายความเค็มที่สภาวะคงที่

```

%=====Data Input=====
%=====Variable Input=====
node = 121;
element = 120;
delx=1000;
K=0;
%=====Coordinate Input=====
coordinate=xlsread('CoordinateMK_Ed','Coordinate');
x=zeros(node,1);
for i=1:node
    x(i,1)=x(i,1)+coordinate(i+1,2);
end
B=zeros(node,1);
for i=1:node
    B(i,1)=B(i,1)+coordinate(i,5);
end
%=====Node number/sequence Input=====
ndsequence=xlsread('CoordinateMK_Ed','Element');
nd=zeros(element,2);
for i=1:element
    for j=1:2
        nd(i,j)=nd(i,j)+ndsequence(i,j+1);
    end
end
ndnumber=zeros(node,1);
for i=1:node
    ndnumber(i,1)=ndnumber(i,1)+coordinate(i,1);
end
delx=zeros(element,1);
for i=1:element

```

```

    delx(i,1)=delx(i,1)+ndsequence(i,4);
end
%=====Initial condition=====
S_CxT0=zeros(node,1);
%=====Hydrodynamic information=====
h_HD=xlsread('HDdata','H');
q_HD=xlsread('HDdata','Q');
H=zeros(node,1);
Q=zeros(node,1);
A=zeros(node,1);
for i=1:node
    H(i,1)=h_HD(i,3);
    Q(i,1)=q_HD(i,1);
end
run H_A_Function;
%=====Display Input=====
show_s=fopen('resultfile_ss_MKJan03Final.txt','w');
%-----Matrix M-----
me=zeros(2);
M=zeros(node);
for e=1:element
    phi=[delx(e,1)/3 delx(e,1)/6;
        delx(e,1)/6 delx(e,1)/3];
    me_w=phi;
    me=me_w+me;
    for i=1:2;
        for j=1:2;
            M(nd(e,i),nd(e,j))=M(nd(e,i),nd(e,j))+me(i,j);
        end
    end
end
end

```

```

me=zeros(2);
end
%-----Matrix MKX-----%
mkxe=zeros(2);
MKX=zeros(node);
for e=1:element
    phi=[1/delx(e,1) -1/delx(e,1);
         -1/delx(e,1) 1/delx(e,1)];
    if e<=9;
        Kx=1600;
    elseif e>9
        Kx=130;
    end
    mkxe_w=Kx*phi;
    mkxe=mkxe_w+mkxe;
    for i=1:2
        for j=1:2
            MKX(nd(e,i),nd(e,j))=mkxe(i,j)+MKX(nd(e,i),nd(e,j));
        end
    end
    mkxe=zeros(2);
end
%-----Matrix MK-----%
mke=zeros(2);
MK=zeros(node);
for e=1:element
    phi=[delx(e,1)/3 delx(e,1)/6;
         delx(e,1)/6 delx(e,1)/3];
    mke_w=K*phi;
    mke=mke_w+mke;

```

```

for i=1:2
    for j=1:2
        MK(nd(e,i),nd(e,j))=mke(i,j)+MK(nd(e,i),nd(e,j));
    end
end
mke=zeros(2);
end
%-----Matrix MR-----%
MR=zeros(node,1);
%-----Matrix MQX-----%
mqxe=zeros(2);
MQX=zeros(node);
for e=1:element
    phi=[1/3 1/6;
        1/6 1/3];
    phi1=[-1 1];
    qx=[qxnt(nd(e,1),1);qxnt(nd(e,2),1)];
    a=[A(nd(e,1),1);A(nd(e,2),1)];
    qx_a=[qx(1,1)/a(1,1);
        qx(2,1)/a(2,1)];
    mqxe_w=phi*qx_a*phi1;
    mqxe=mqxe+mqxe_w;
    for i=1:2
        for j=1:2
            MQX(nd(e,i),nd(e,j))=mqxe(i,j)+MQX(nd(e,i),nd(e,j));
        end
    end
    mqxe=zeros(2);
end
%-----Matrix MKX1-----%

```

```

mkx1e=zeros(2);
MKX1=zeros(node);
for e=1:element
    phi=[-1/(2*delx(e,1)) 1/(2*delx(e,1));
         -1/(2*delx(e,1)) 1/(2*delx(e,1))];
    phi1=[-1 1];
    a=[A(nd(e,1),1);A(nd(e,2),1)];
    A0=(a(1,1)+a(2,1))/2;
    if e<=9;
        Kx=1600;
    elseif e>9;
        Kx=130;
    end
    mkx1e_w=(Kx/A0)*phi*a*phi1;
    mkx1e=mkx1e_w+mkx1e;
    for i=1:2
        for j=1:2
            MKX1(nd(e,i),nd(e,j))=mkx1e(i,j)+MKX1(nd(e,i),nd(e,j));
        end
    end
    mkx1e=zeros(2);
end
%=====System equation=====
EC=MQX-MKX1+MKX+MK;
%=====Apply boundary condition=====
%-----Beginnig side-----
for i=1:node
    EC(1,i)=0;
end
EC(1,1)=1;

```

```
MR(1,1)=25.45;
%-----Finishing side-----%
for i=1:node
    EC(121,i)=0;
end
EC(121,121)=1;
MR(121,1)=0.1;
%=====Computation=====
S_ss=inv(EC)*MR;
salinity=abs(S_ss);
fprintf(show_s,'%12f\r\n',salinity);
fclose(show_s)
%=====End=====
```

ภาคผนวก ค

Source code โปรแกรมคอมพิวเตอร์สำหรับคำนวณพื้นที่หน้าตัด
และความลึกของแม่น้ำแม่กลอง

$A(1,1)=116.1288*(H(1,1)^{1.7344});$
 $A(2,1)=12.9462*(H(2,1)^{1.8989});$
 $A(3,1)=12.9462*(H(3,1)^{1.8989});$
 $A(4,1)=12.9462*(H(4,1)^{1.8989});$
 $A(5,1)=60.0513*(H(5,1)^{1.2917});$
 $A(6,1)=60.0513*(H(6,1)^{1.2917});$
 $A(7,1)=60.0513*(H(7,1)^{1.2917});$
 $A(8,1)=14.6289*(H(8,1)^{1.8655});$
 $A(9,1)=14.6289*(H(9,1)^{1.8655});$
 $A(10,1)=14.6289*(H(10,1)^{1.8655});$
 $A(11,1)=12.6847*(H(11,1)^{1.8352});$
 $A(12,1)=12.6847*(H(12,1)^{1.8352});$
 $A(13,1)=12.6847*(H(13,1)^{1.8352});$
 $A(14,1)=9.7777*(H(14,1)^{2.053});$
 $A(15,1)=9.7777*(H(15,1)^{2.053});$
 $A(16,1)=9.7777*(H(16,1)^{2.053});$
 $A(17,1)=27.7684*(H(17,1)^{1.7795});$
 $A(18,1)=27.7684*(H(18,1)^{1.7795});$
 $A(19,1)=27.7684*(H(19,1)^{1.7795});$
 $A(20,1)=41.3263*(H(20,1)^{1.5508});$
 $A(21,1)=41.3263*(H(21,1)^{1.5508});$
 $A(22,1)=41.3263*(H(22,1)^{1.5508});$
 $A(23,1)=39.1656*(H(23,1)^{1.6652});$
 $A(24,1)=39.1656*(H(24,1)^{1.6652});$
 $A(25,1)=39.1656*(H(25,1)^{1.6652});$
 $A(26,1)=39.1656*(H(26,1)^{1.6652});$
 $A(27,1)=39.1656*(H(27,1)^{1.6652});$
 $A(28,1)=39.1656*(H(28,1)^{1.6652});$
 $A(29,1)=15.879*(H(29,1)^{1.8});$
 $A(30,1)=15.879*(H(30,1)^{1.8});$

$A(31,1)=15.879*(H(31,1)^{1.8});$
 $A(32,1)=30.1324*(H(32,1)^{1.5947});$
 $A(33,1)=30.1324*(H(33,1)^{1.5947});$
 $A(34,1)=30.1324*(H(34,1)^{1.5947});$
 $A(35,1)=40.2778*(H(35,1)^{1.5871});$
 $A(36,1)=40.2778*(H(36,1)^{1.5871});$
 $A(37,1)=40.2778*(H(37,1)^{1.5871});$
 $A(38,1)=59.3885*(H(38,1)^{1.5074});$
 $A(39,1)=59.3885*(H(39,1)^{1.5074});$
 $A(40,1)=32.5280*(H(40,1)^{1.5901});$
 $A(41,1)=5.9823*(H(41,1)^{2.2194});$
 $A(42,1)=34.9214*(H(42,1)^{1.5738});$
 $A(43,1)=34.9214*(H(43,1)^{1.5738});$
 $A(44,1)=34.9214*(H(44,1)^{1.5738});$
 $A(45,1)=34.9214*(H(45,1)^{1.5738});$
 $A(46,1)=45.5951*(H(46,1)^{1.4127});$
 $A(47,1)=45.5951*(H(47,1)^{1.4127});$
 $A(48,1)=28.9682*(H(48,1)^{1.8537});$
 $A(49,1)=60.7095*(H(49,1)^{1.5172});$
 $A(50,1)=71.3645*(H(50,1)^{1.4494});$
 $A(51,1)=48.8718*(H(51,1)^{1.5469});$
 $A(52,1)=62.4708*(H(52,1)^{1.4376});$
 $A(53,1)=56.9743*(H(53,1)^{1.4665});$
 $A(54,1)=7.0273*(H(54,1)^{2.4296});$
 $A(55,1)=73.6851*(H(55,1)^{1.4103});$
 $A(56,1)=22.9267*(H(56,1)^{1.7135});$
 $A(57,1)=44.9208*(H(57,1)^{1.7135});$
 $A(58,1)=66.5930*(H(58,1)^{1.4581});$
 $A(59,1)=19.5916*(H(59,1)^{1.7551});$
 $A(60,1)=28.7834*(H(60,1)^{1.756});$

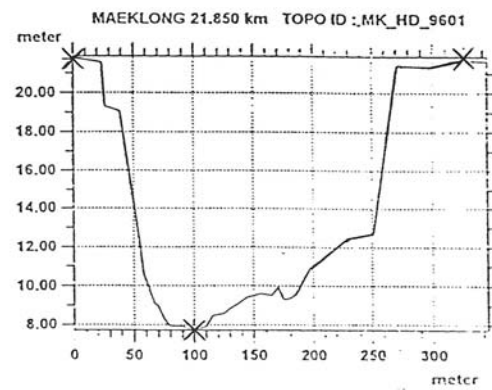
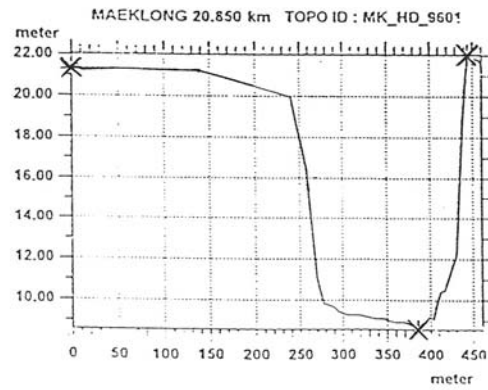
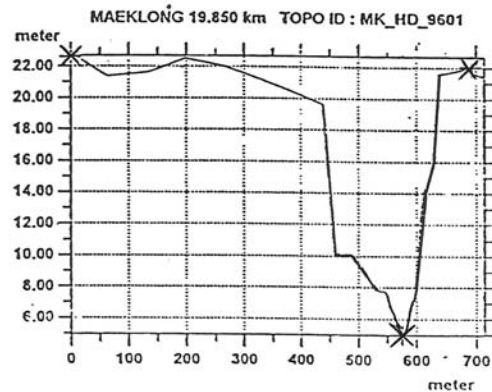
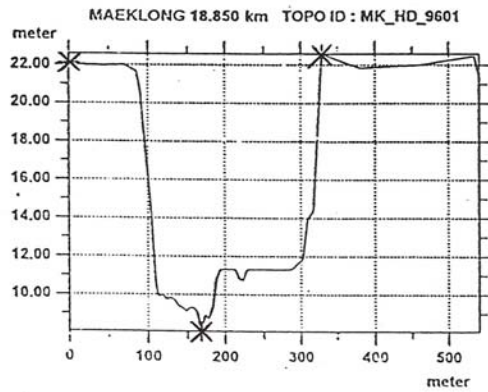
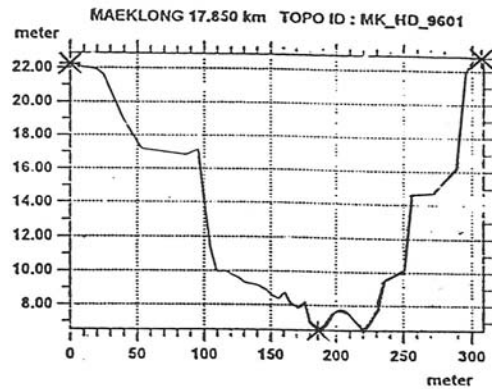
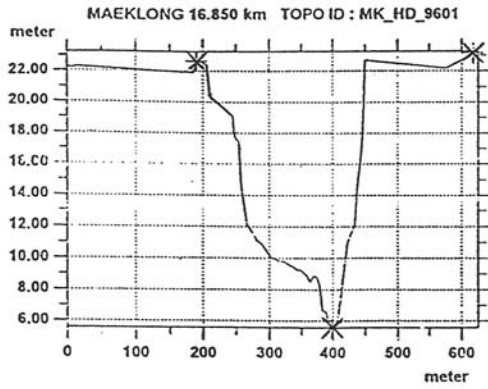
$A(61,1)=46.4604*(H(61,1)^{1.6994});$
 $A(62,1)=20.9513*(H(62,1)^{1.8391});$
 $A(63,1)=54.5818*(H(63,1)^{1.4695});$
 $A(64,1)=3.7449*(H(64,1)^{2.5981});$
 $A(65,1)=21.665*(H(65,1)^{1.8912});$
 $A(66,1)=15.5568*(H(66,1)^{1.9764});$
 $A(67,1)=20.0114*(H(67,1)^{2.045});$
 $A(68,1)=7.0414*(H(68,1)^{2.1549});$
 $A(69,1)=25.9689*(H(69,1)^{1.8592});$
 $A(70,1)=14.7331*(H(70,1)^{2.085});$
 $A(71,1)=99.9630*(H(71,1)^{1.2514});$
 $A(72,1)=105.9217*(H(72,1)^{1.3044});$
 $A(73,1)=105.9217*(H(73,1)^{1.3044});$
 $A(74,1)=52.9140*(H(74,1)^{1.4628});$
 $A(75,1)=31.2681*(H(75,1)^{1.6795});$
 $A(76,1)=6.7080*(H(76,1)^{2.177});$
 $A(77,1)=40.7111*(H(77,1)^{1.5142});$
 $A(78,1)=93.944*(H(78,1)^{1.3235});$
 $A(79,1)=79.7822*(H(79,1)^{1.3553});$
 $A(80,1)=40.0809*(H(80,1)^{1.5365});$
 $A(81,1)=74.0544*(H(81,1)^{1.2846});$
 $A(82,1)=81.9083*(H(82,1)^{1.3255});$
 $A(83,1)=33.2781*(H(83,1)^{1.6569});$
 $A(84,1)=64.3541*(H(84,1)^{1.3273});$
 $A(85,1)=16.8357*(H(85,1)^{1.7839});$
 $A(86,1)=60.8249*(H(86,1)^{1.5188});$
 $A(87,1)=52.8628*(H(87,1)^{1.51});$
 $A(88,1)=30.7688*(H(88,1)^{1.6852});$
 $A(89,1)=55.0752*(H(89,1)^{1.4409});$
 $A(90,1)=52.0602*(H(90,1)^{1.4353});$

A(91,1)=18.7183*(H(91,1)^1.8282);
A(92,1)=70.3653*(H(92,1)^1.3265);
A(93,1)=2.6698*(H(93,1)^2.5372);
A(94,1)=20.3291*(H(94,1)^1.805);
A(95,1)=46.4976*(H(95,1)^1.4781);
A(96,1)=29.4502*(H(96,1)^1.6283);
A(97,1)=31.6836*(H(97,1)^1.5806);
A(98,1)=23.7623*(H(98,1)^1.601);
A(99,1)=56.4017*(H(99,1)^1.3766);
A(100,1)=73.9508*(H(100,1)^1.4625);
A(101,1)=10.8027*(H(101,1)^1.941);
A(102,1)=61.4362*(H(102,1)^1.5474);
A(103,1)=78.2806*(H(103,1)^1.3711);
A(104,1)=66.3869*(H(104,1)^1.444);
A(105,1)=21.6737*(H(105,1)^1.8572);
A(106,1)=4.4167*(H(106,1)^2.4106);
A(107,1)=61.2216*(H(107,1)^1.5432);
A(108,1)=96.8923*(H(108,1)^1.253);
A(109,1)=206.4173*(H(109,1)^1.1217);
A(110,1)=86.8081*(H(110,1)^1.4293);
A(111,1)=14.4732*(H(111,1)^1.7093);
A(112,1)=101.1192*(H(112,1)^1.4413);
A(113,1)=249.1363*(H(113,1)^1.5487);
A(114,1)=83.5045*(H(114,1)^1.6533);
A(115,1)=48.7497*(H(115,1)^1.561);
A(116,1)=44.8714*(H(116,1)^1.5404);
A(117,1)=69.1170*(H(117,1)^1.36);
A(118,1)=11.4467*(H(118,1)^1.9234);
A(119,1)=20.5508*(H(119,1)^1.8758);
A(120,1)=31.2713*(H(120,1)^1.6086);

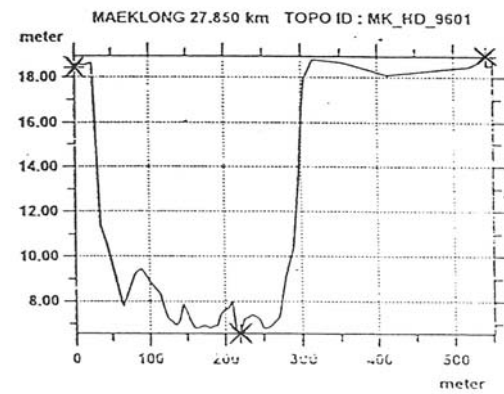
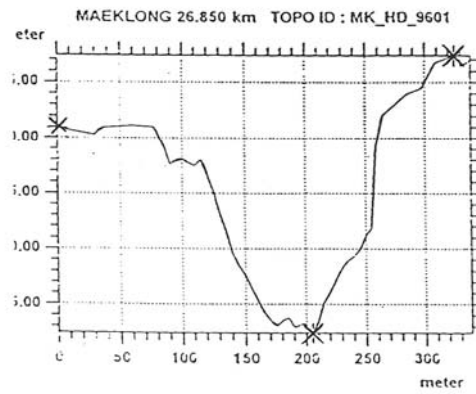
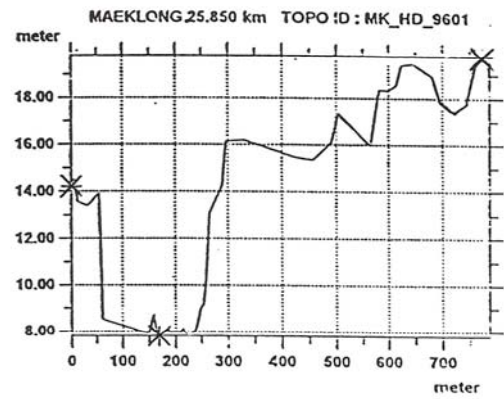
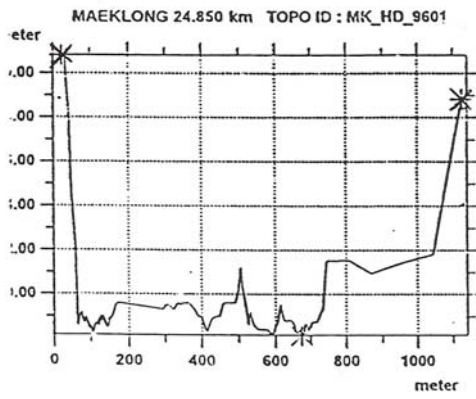
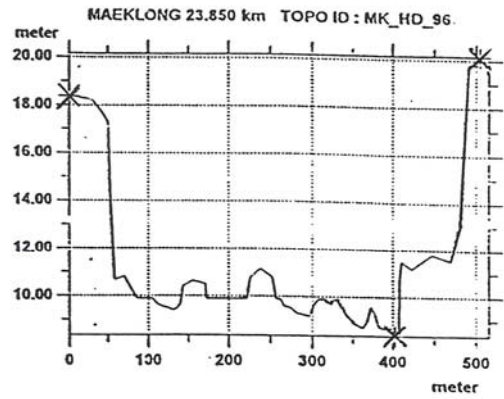
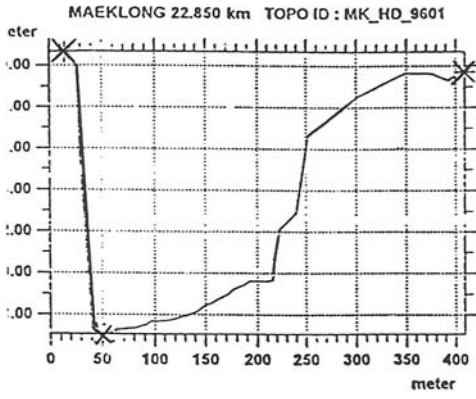
$$A(121,1)=7.64*(H(121,1)^{2.0997});$$

ภาคผนวก ง

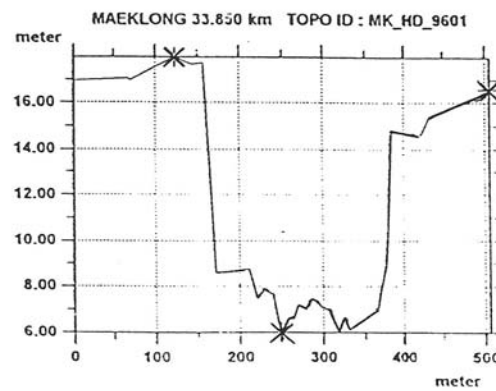
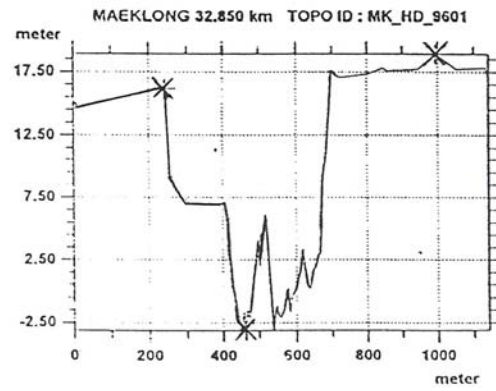
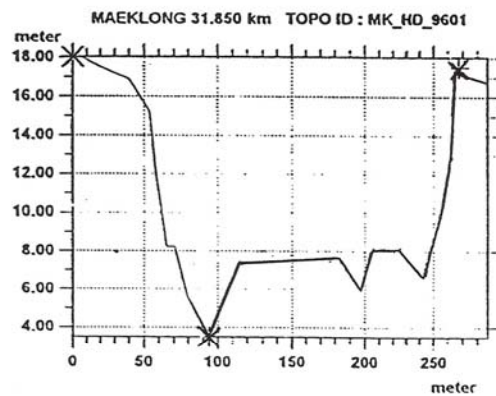
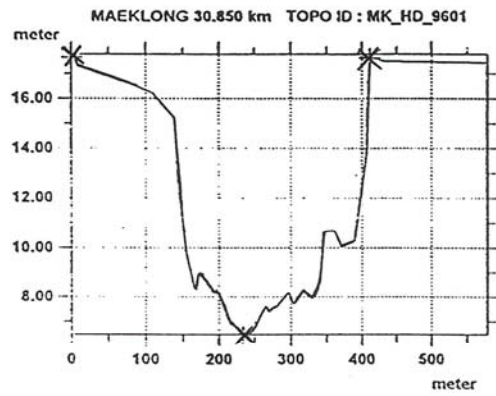
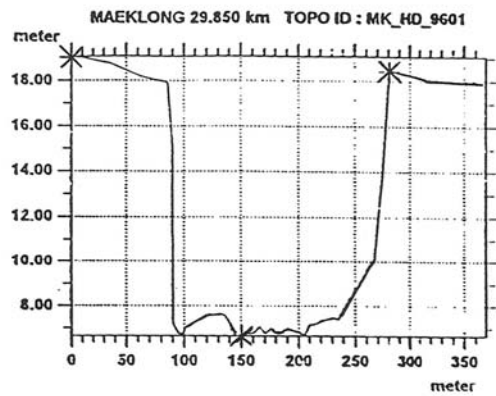
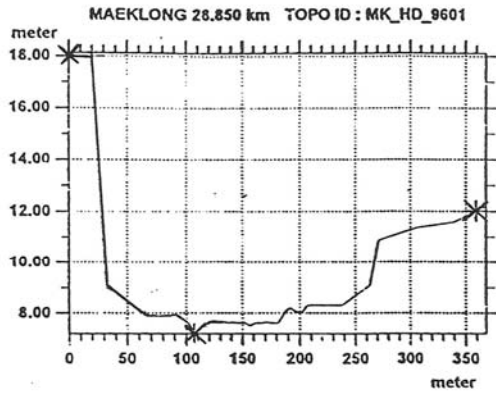
รูปตัดขวางลำน้ำของแม่น้ำแม่กลอง



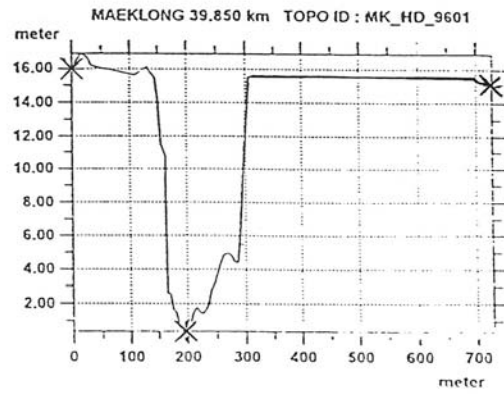
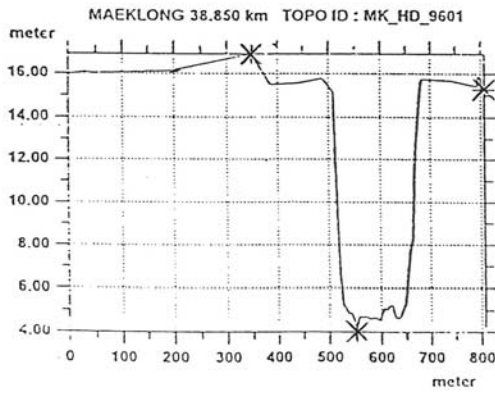
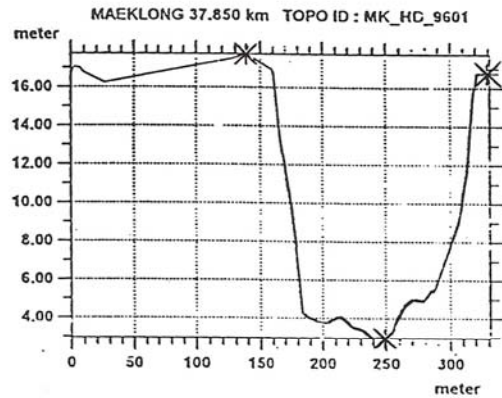
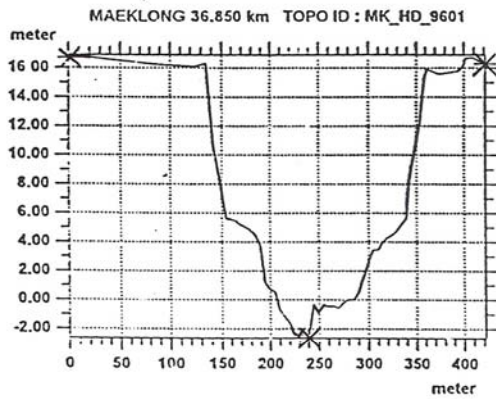
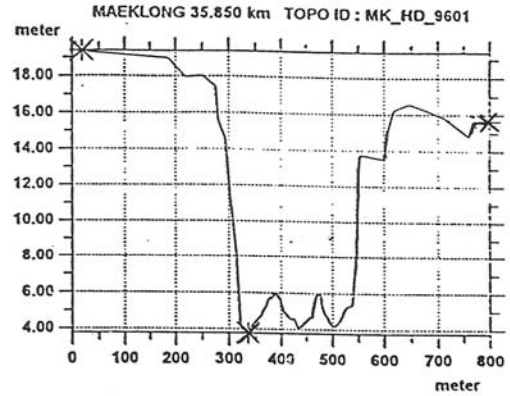
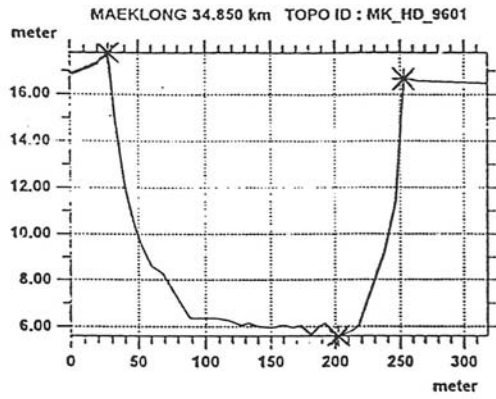
ภาพผนวกที่ ๑1 รูปตัดขวางลำน้ำของแม่น้ำแม่กลอง กิโลเมตรที่ 16.85-21.85



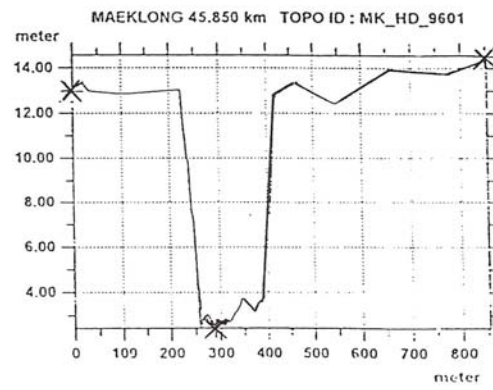
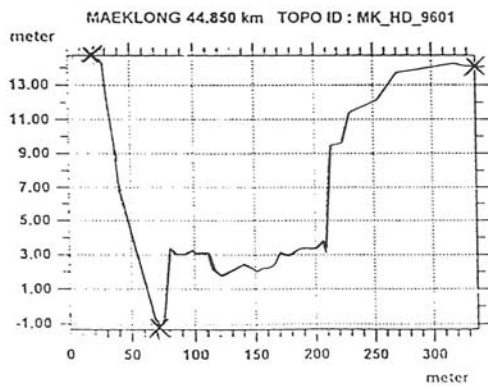
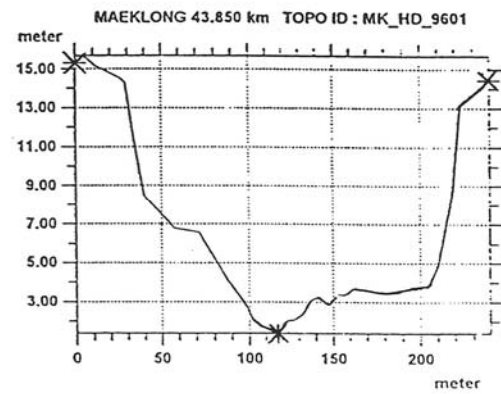
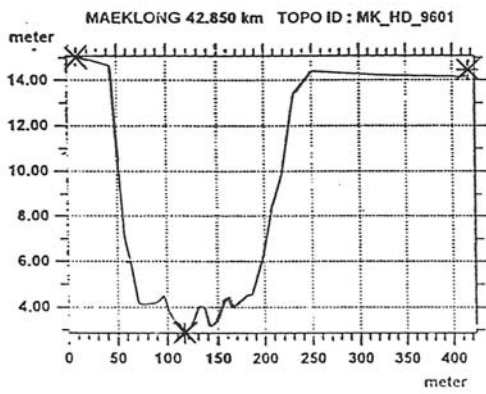
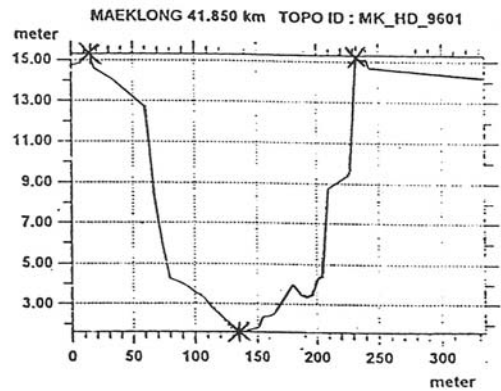
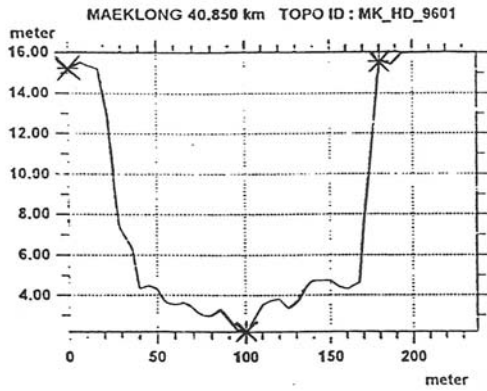
ภาพผนวกที่ 2 รูปตัดขวางลำน้ำของแม่น้ำแม่กลอง กิโลเมตรที่ 22.85-27.85



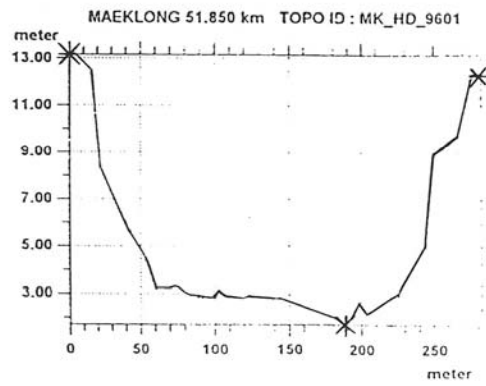
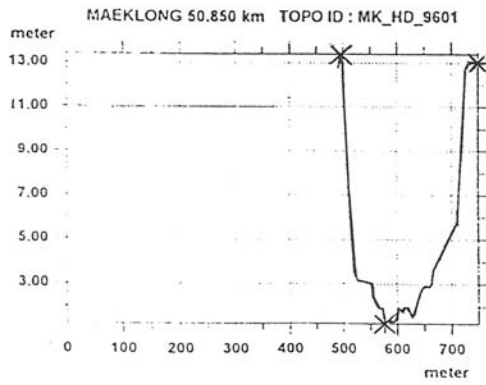
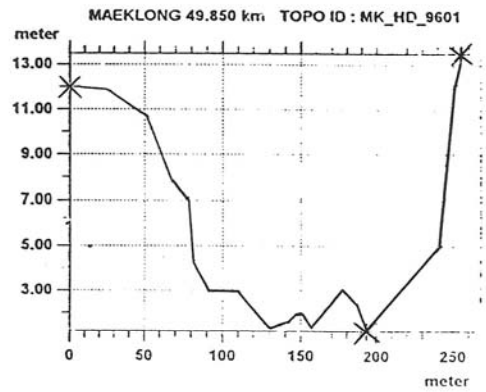
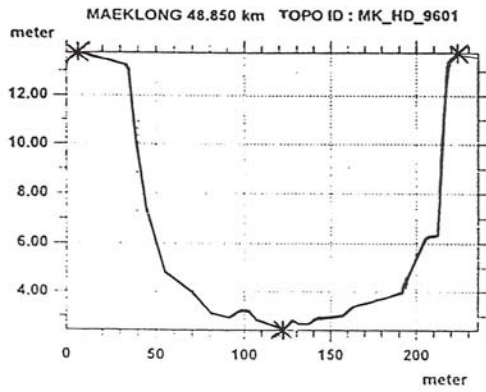
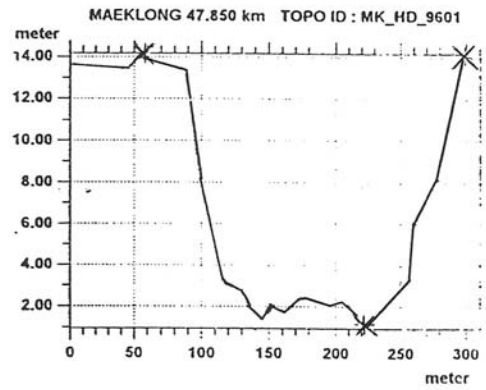
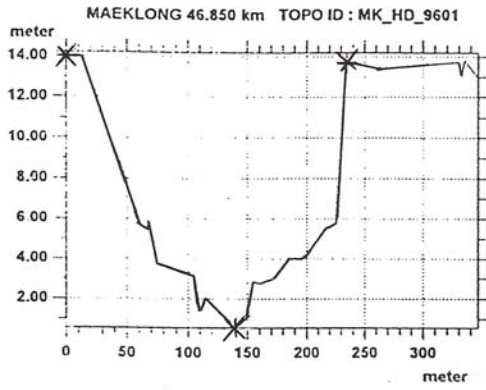
ภาพผนวกที่ 3 รูปตัดขวางลำน้ำของแม่น้ำแม่กลอง กิโลเมตรที่ 28.85-33.85



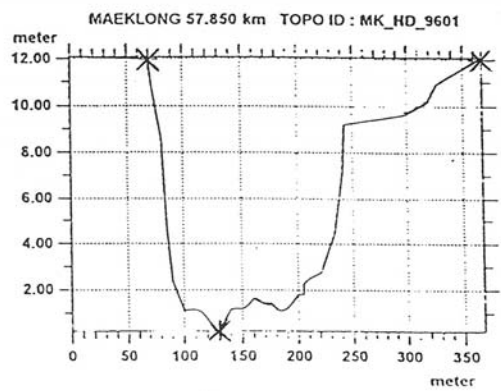
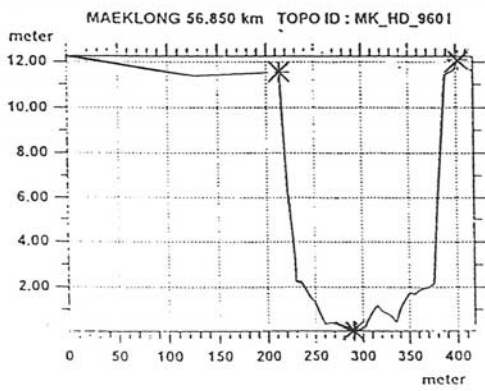
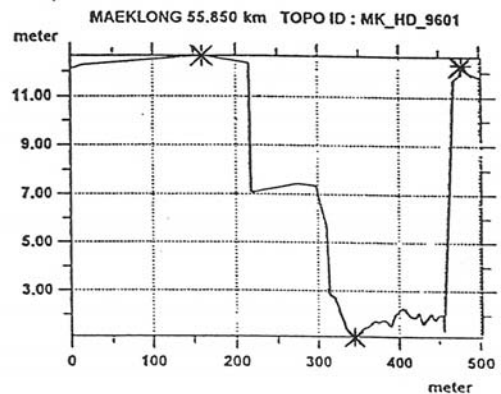
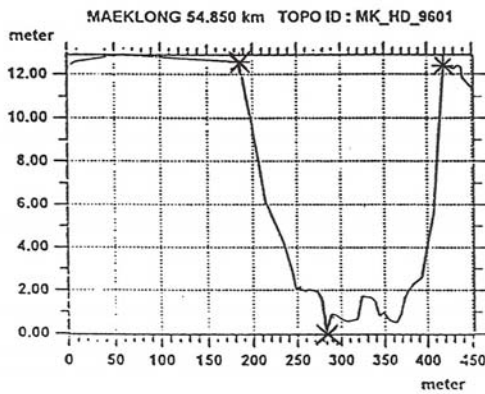
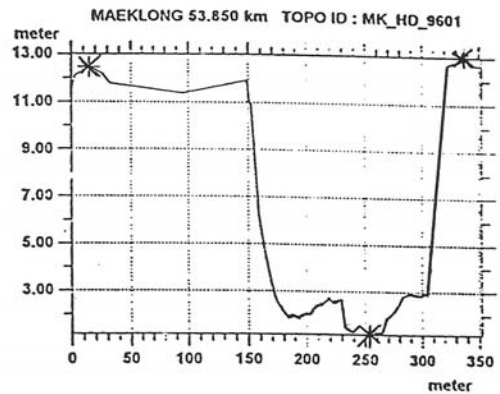
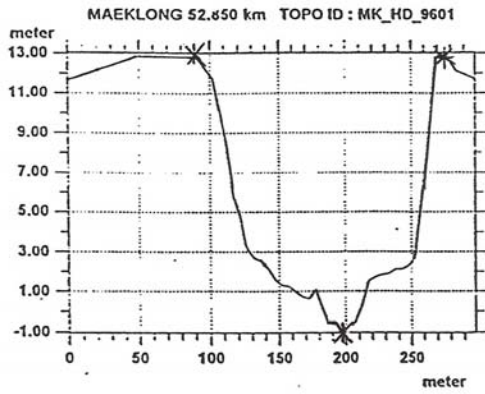
ภาพผนวกที่ ๔ รูปตัดขวางลำน้ำของแม่น้ำแม่กลอง กิโลเมตรที่ 34.85-39.85



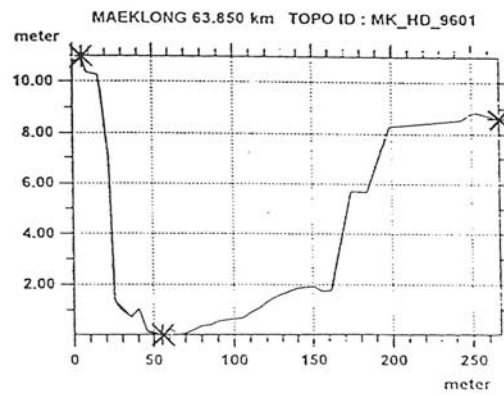
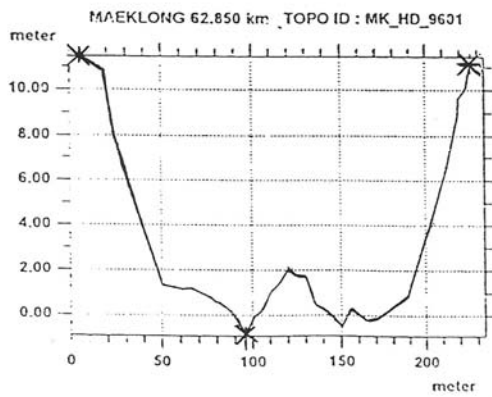
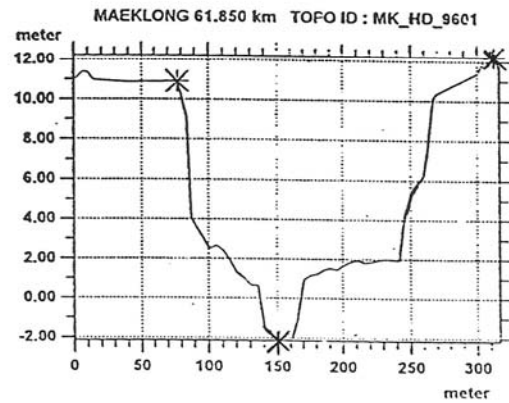
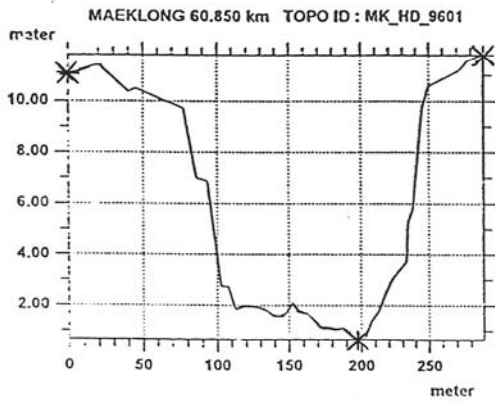
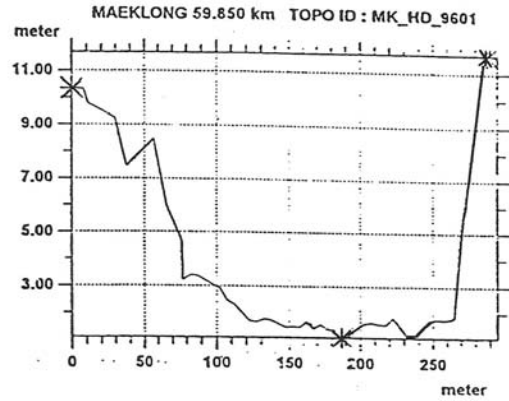
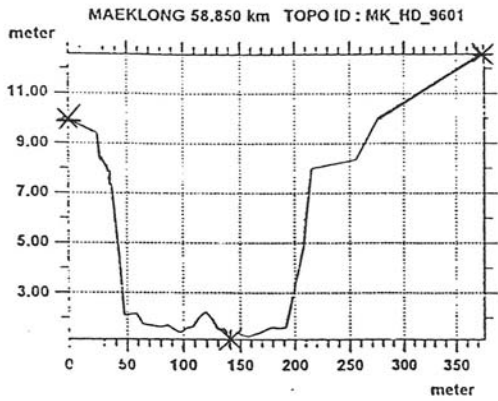
ภาพผนวกที่ ๖ รูปตัดขวางลำน้ำของแม่น้ำแม่กลอง กิโลเมตรที่ 40.85-45.85



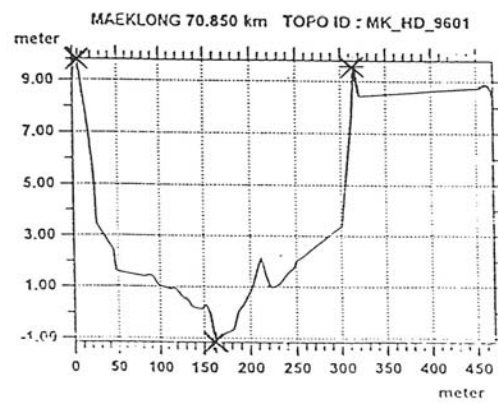
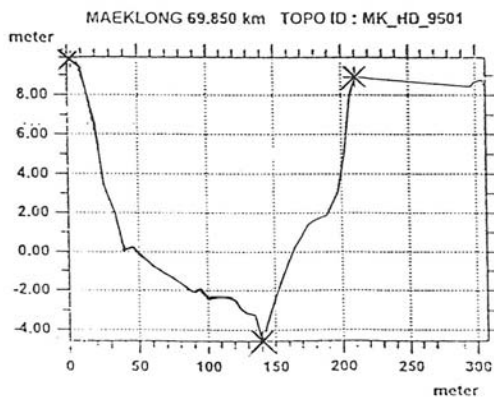
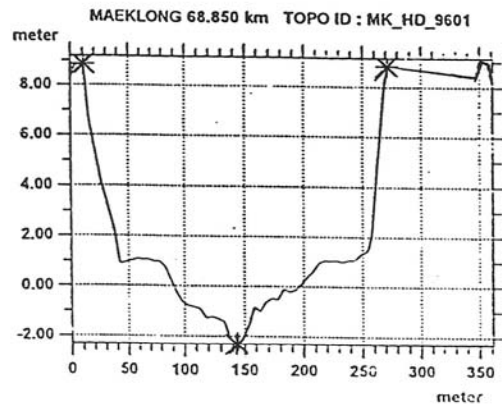
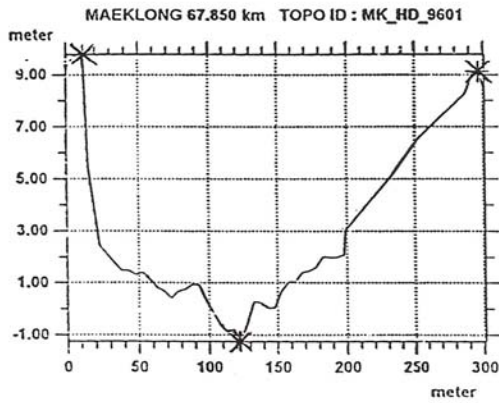
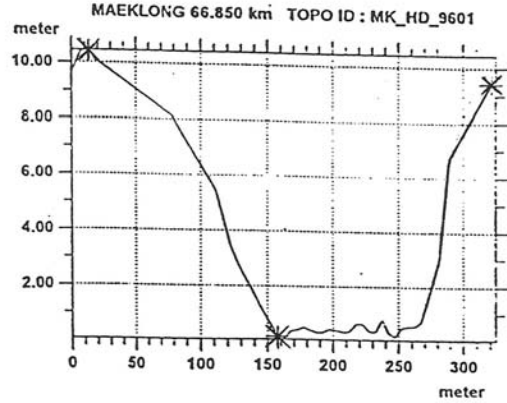
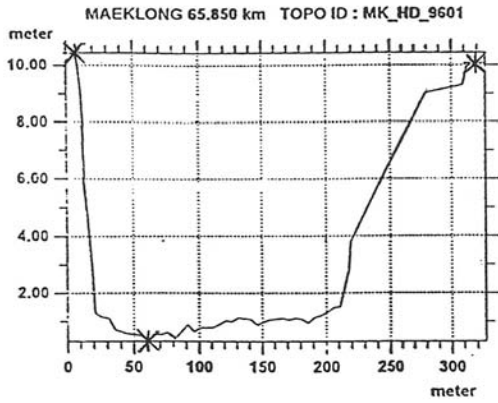
ภาพผนวกที่ ๖ รูปตัดขวางลำน้ำของแม่น้ำแม่กลอง กิโลเมตรที่ 46.85-51.85



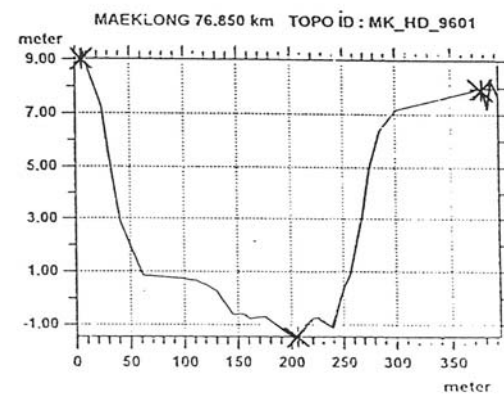
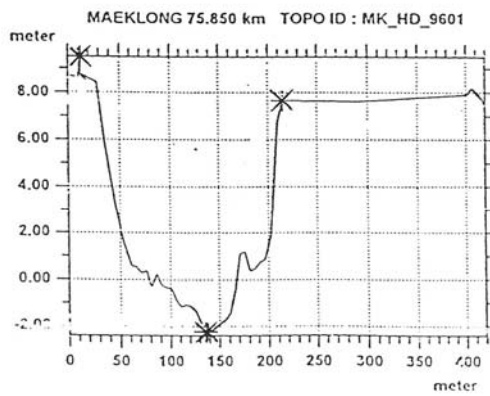
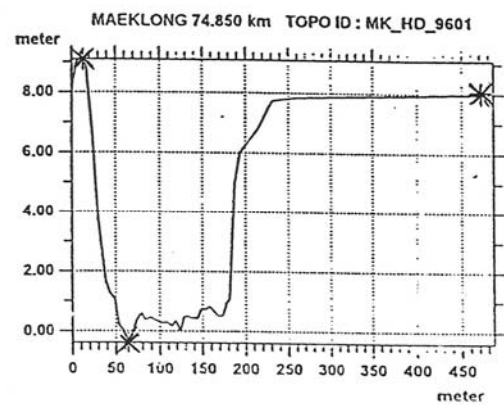
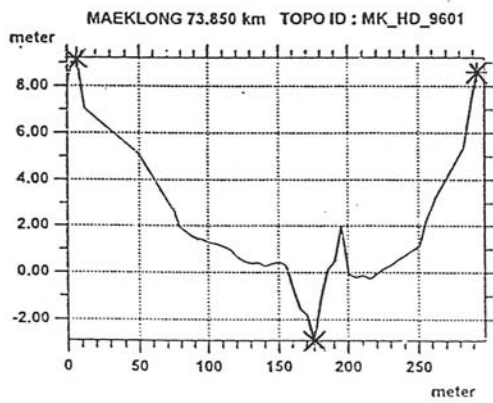
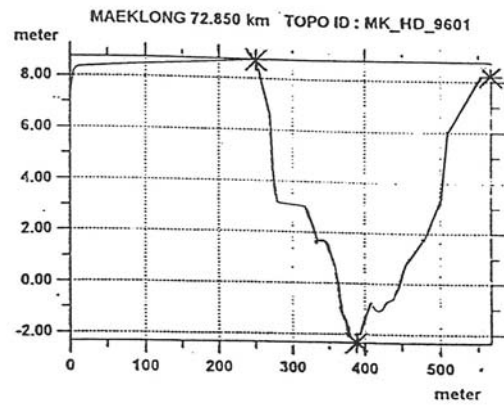
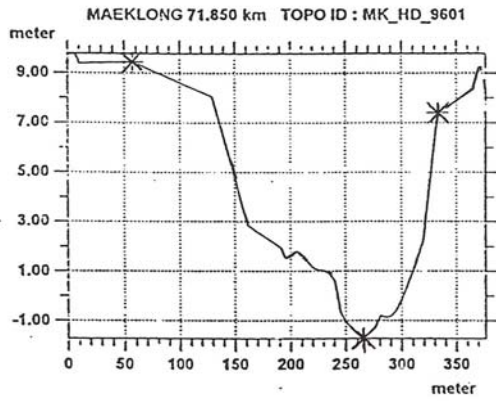
ภาพผนวกที่ ๗ รูปตัดขวางลำน้ำของแม่น้ำแม่กลอง กิโลเมตรที่ 52.85-57.85



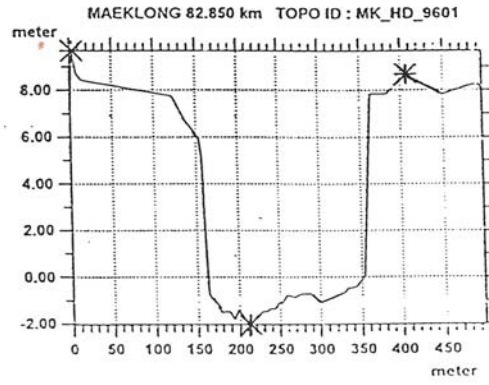
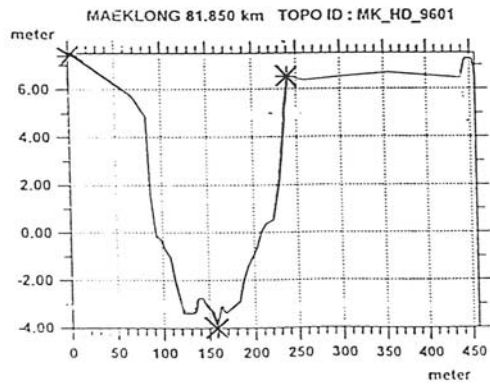
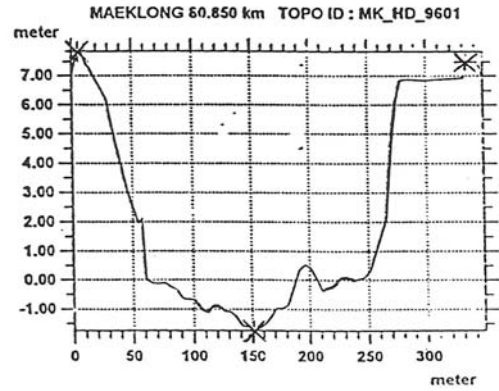
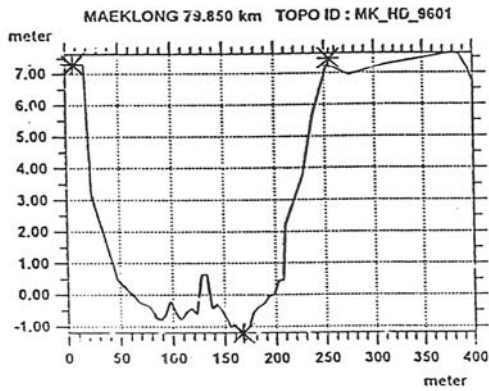
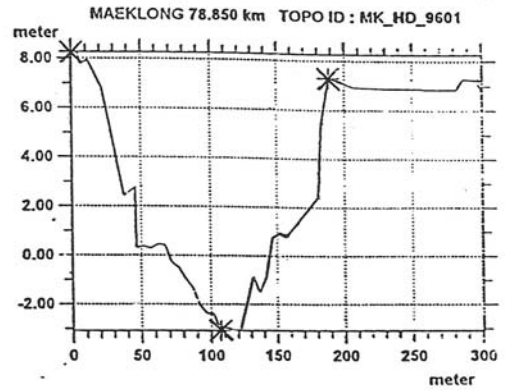
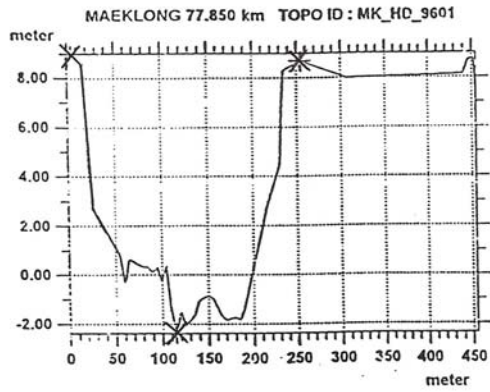
ภาพผนวกที่ 8 รูปตัดขวางลำน้ำของแม่น้ำแม่กลอง กิโลเมตรที่ 58.85-63.85



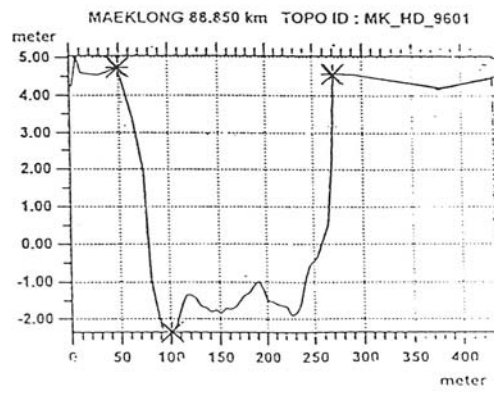
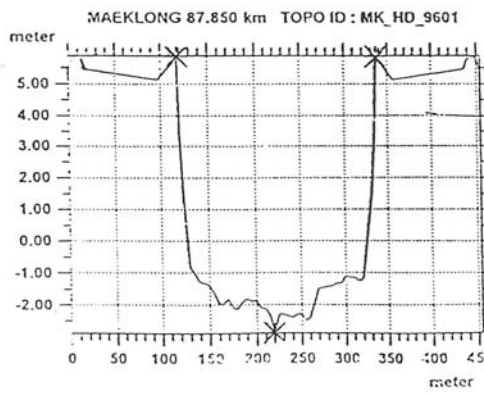
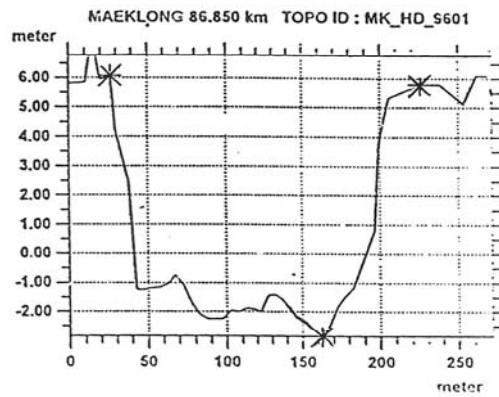
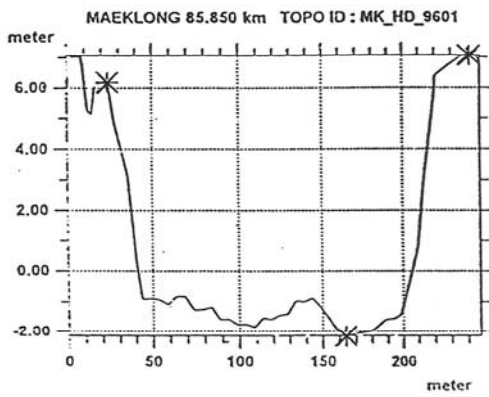
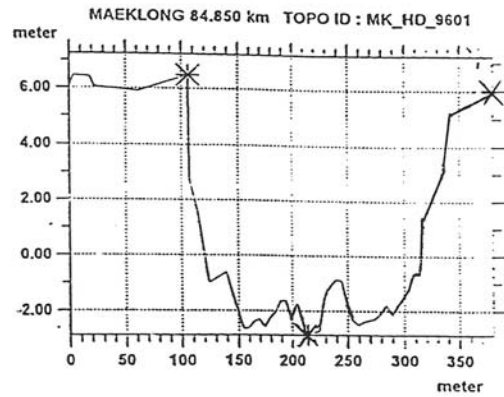
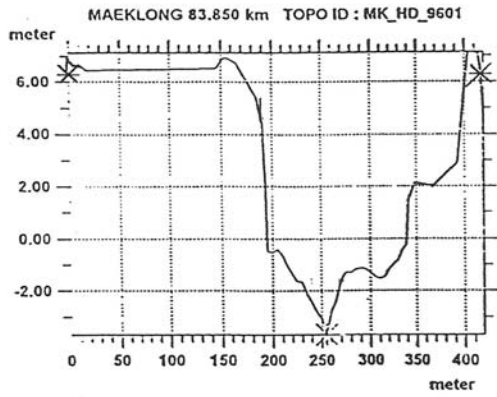
ภาพผนวกที่ ๑๑ รูปตัดขวางลำน้ำของแม่น้ำแม่กลอง กิโลเมตรที่ 65.85-70.85



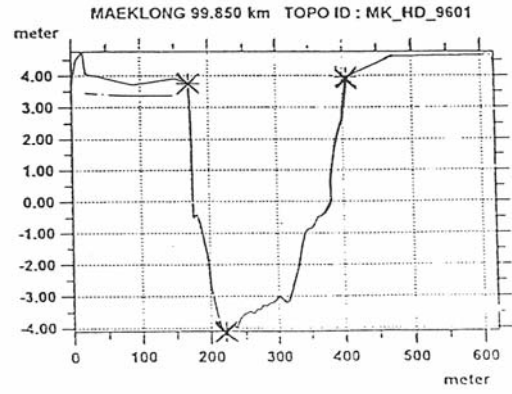
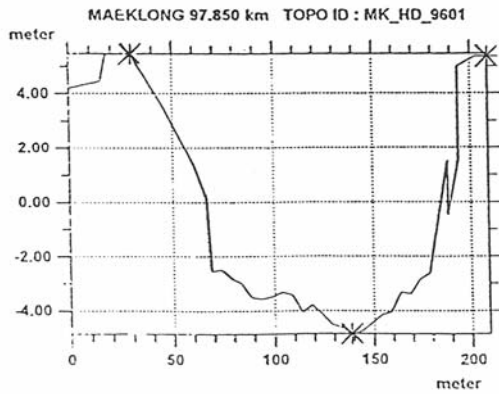
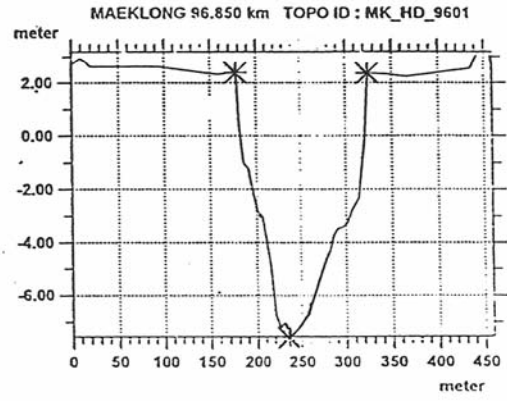
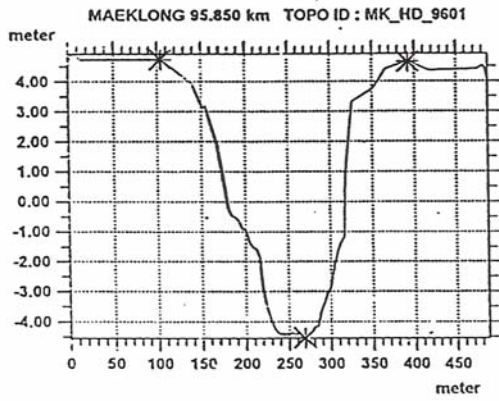
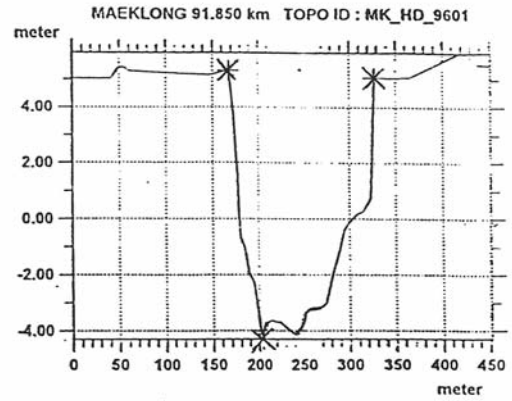
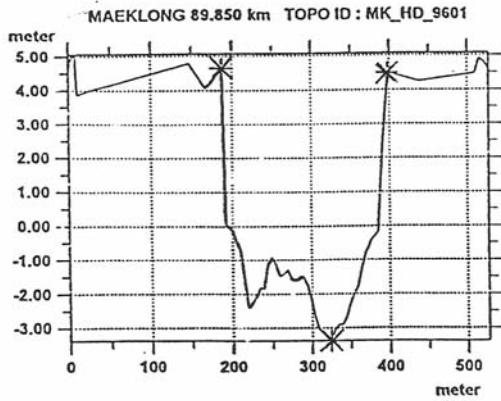
ภาพผนวกที่ 10 รูปตัดขวางลำน้ำของแม่น้ำแม่กลอง กิโลเมตรที่ 71.85-76.85



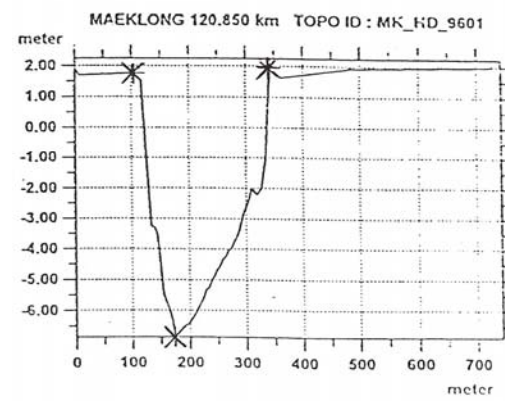
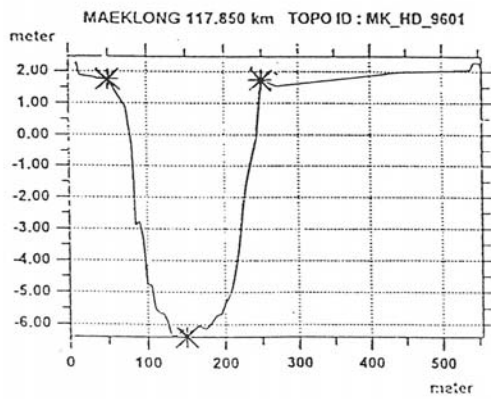
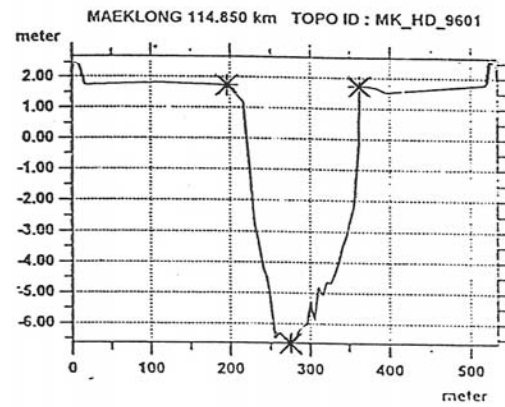
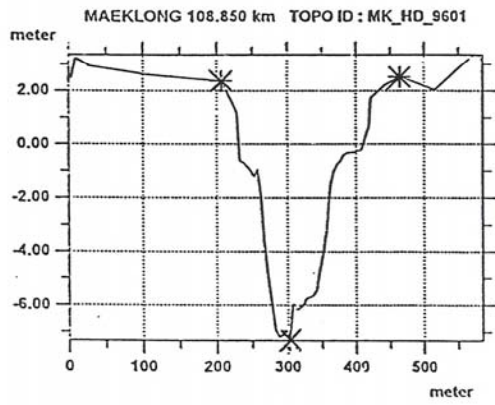
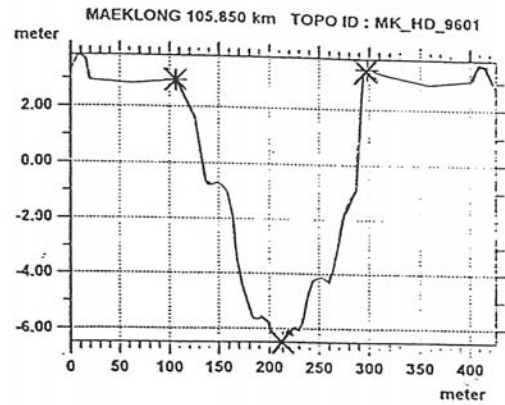
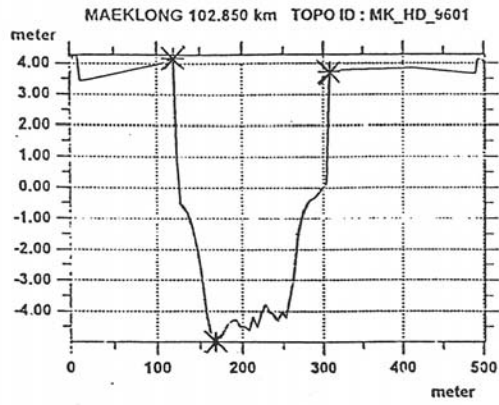
ภาพผนวกที่ 11 รูปตัดขวางลำน้ำของแม่น้ำแม่กลอง กิโลเมตรที่ 77.85-82.85



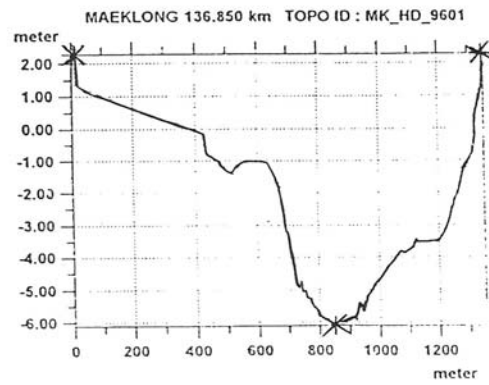
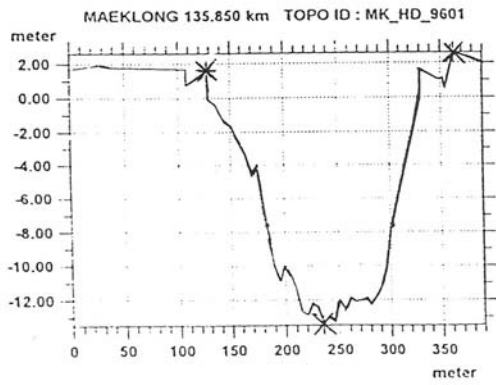
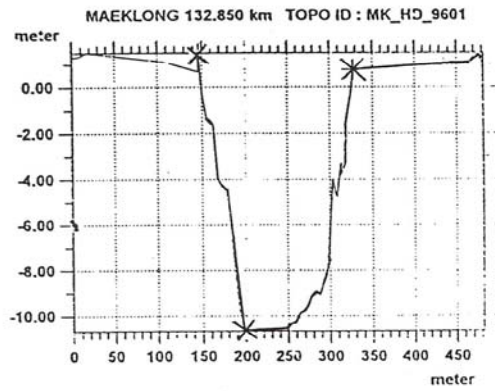
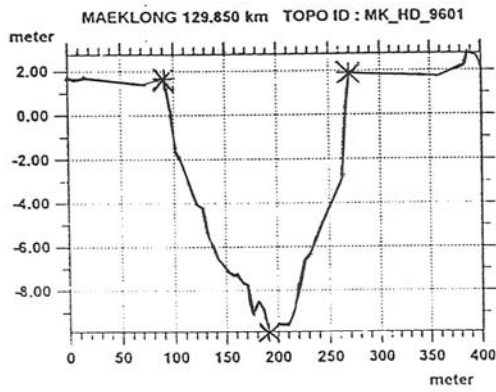
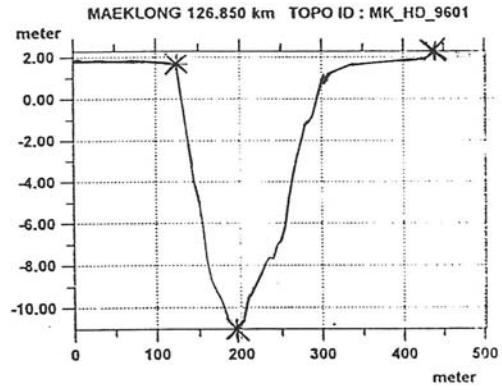
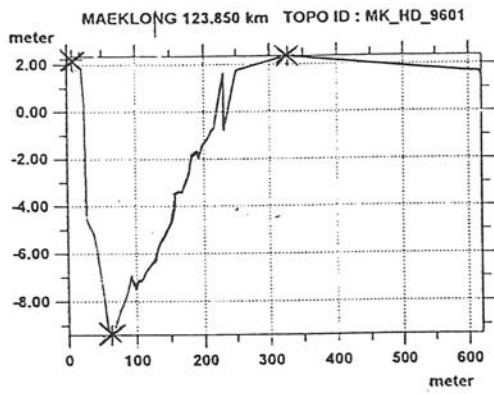
ภาพผนวกที่ 12 รูปตัดขวางลำน้ำของแม่น้ำแม่กลอง กิโลเมตรที่ 83.85-87.85



ภาพผนวกที่ 13 รูปตัดขวางลำน้ำของแม่น้ำแม่กลอง กิโลเมตรที่ 89.85-99.85



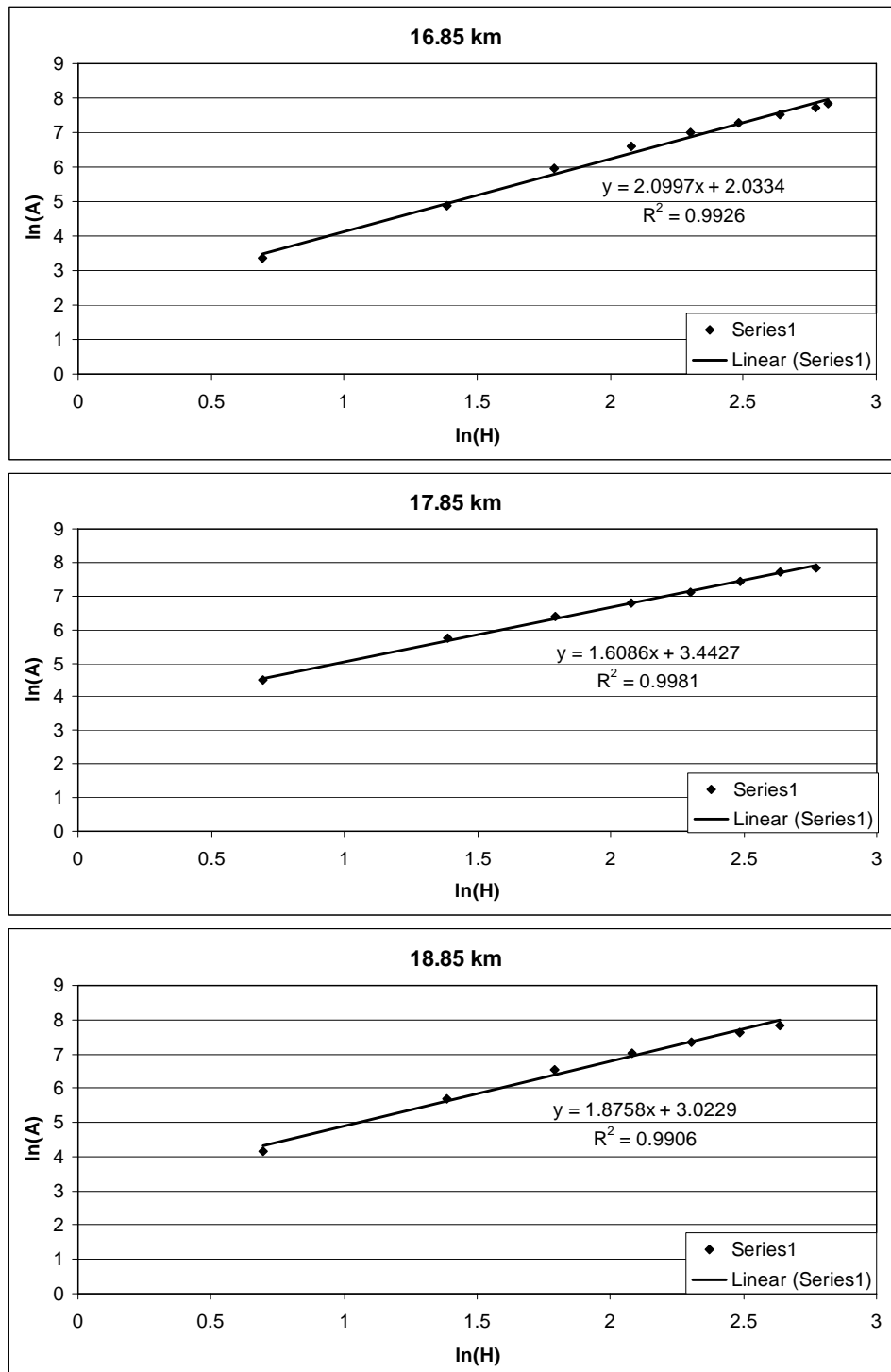
ภาพผนวกที่ 14 รูปตัดขวางลำน้ำของแม่น้ำแม่กลอง กิโลเมตรที่ 102.85-120.85



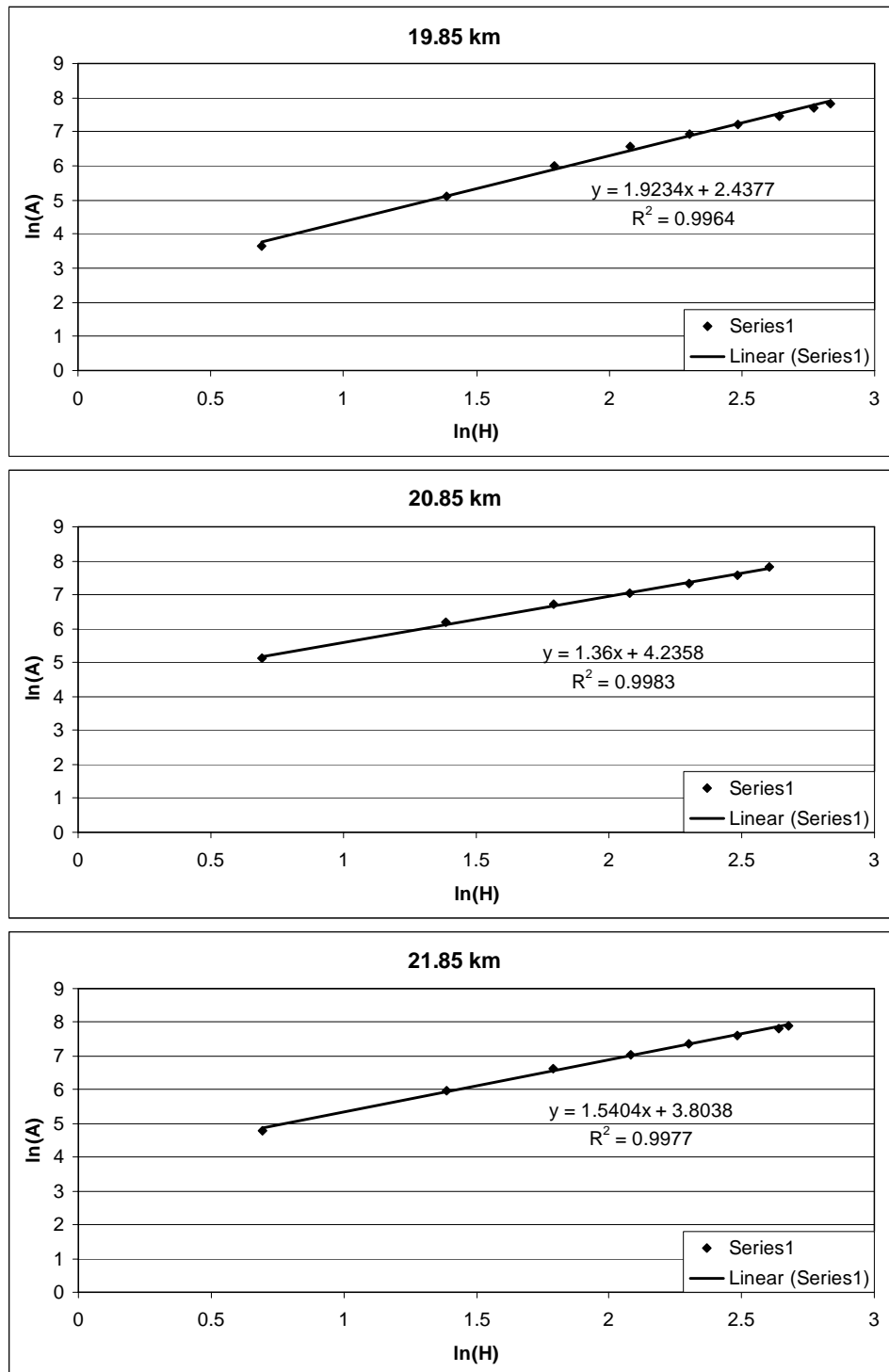
ภาพผนวกที่ 15 รูปตัดขวางลำน้ำของแม่น้ำแม่กลอง กิโลเมตรที่ 123.85-136.85

ภาคผนวก จ

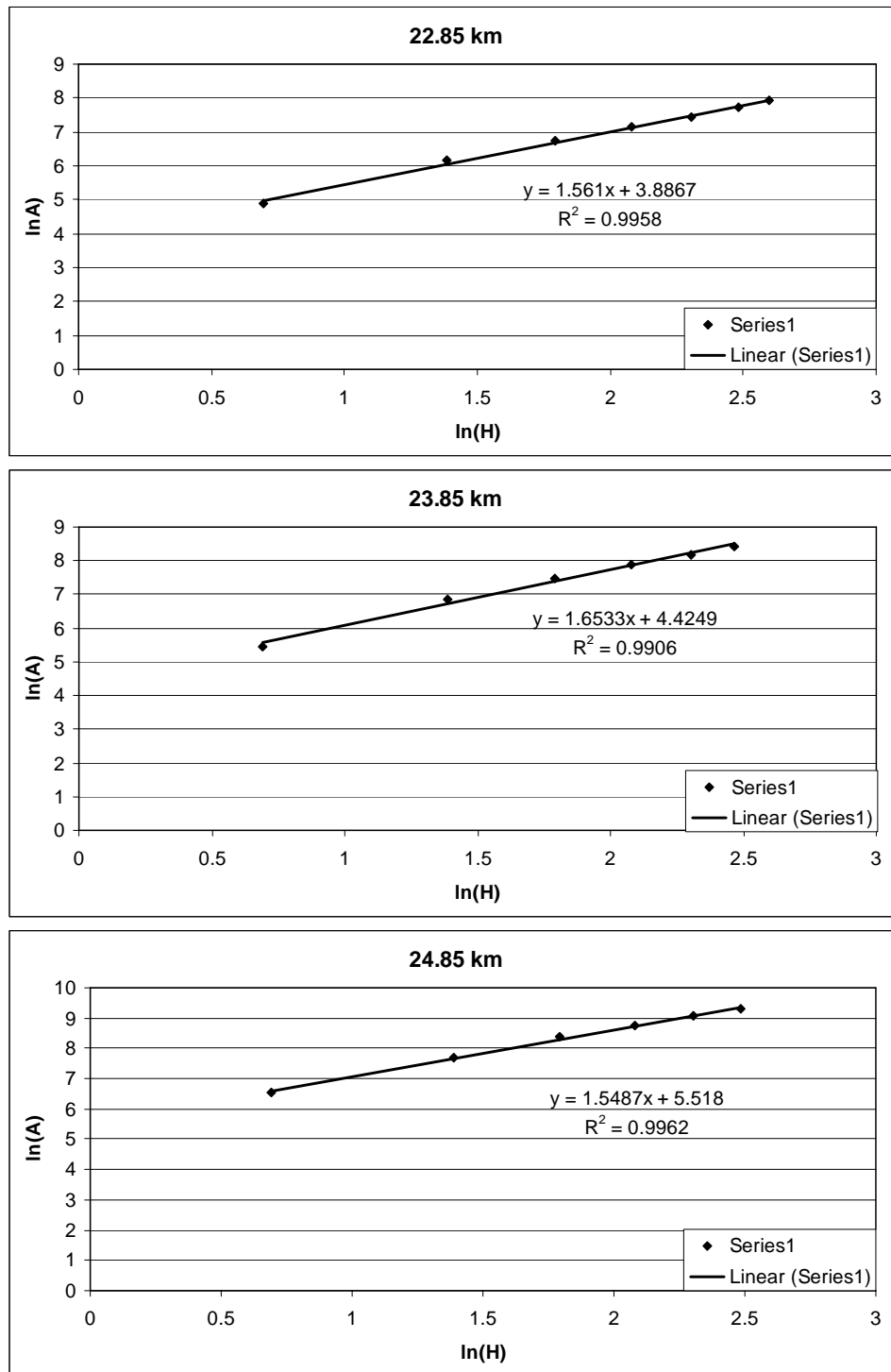
ความสัมพันธ์ระหว่างพื้นที่หน้าตัดและความลึกของแม่น้ำแม่กลอง



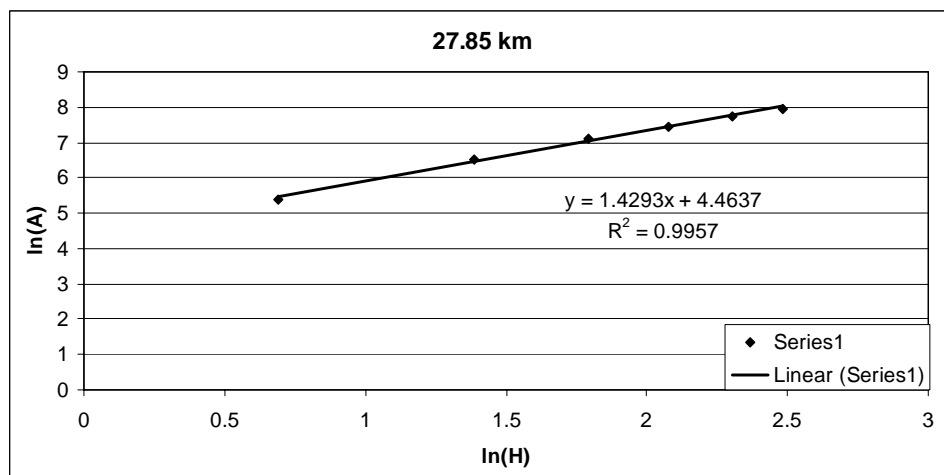
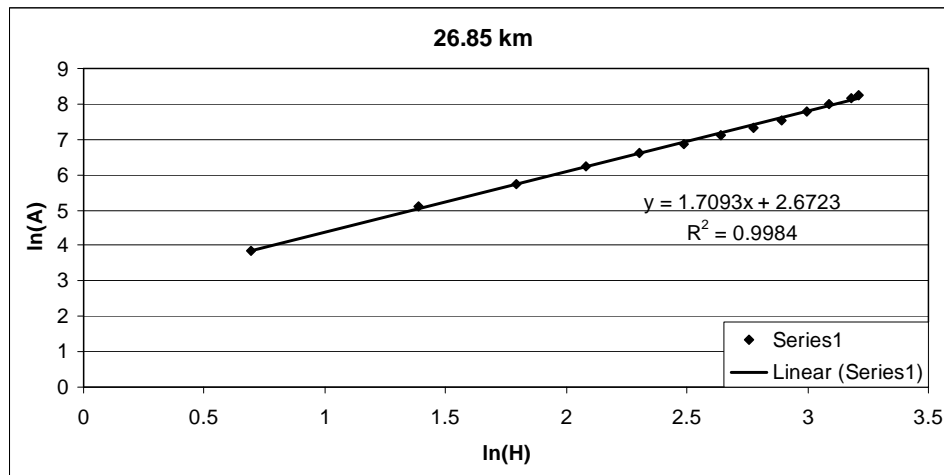
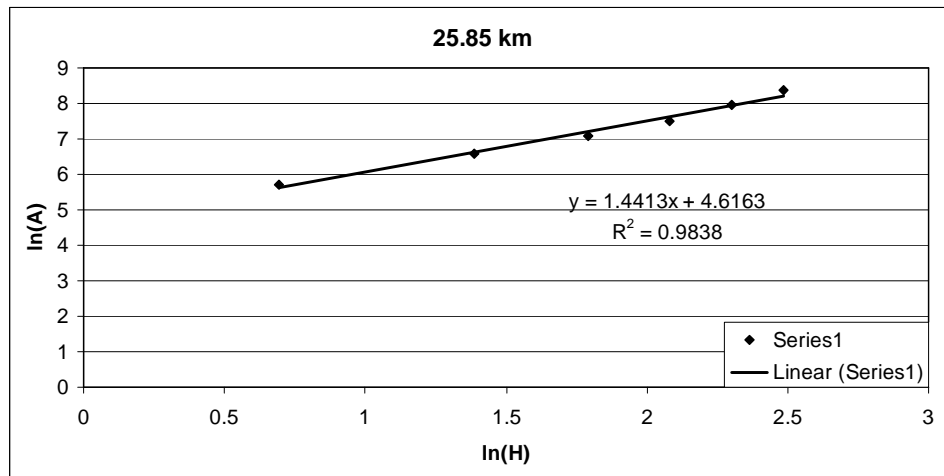
ภาพผนวกที่ ๑1 ความสัมพันธ์ระหว่างพื้นที่หน้าตัดและความลึกของแม่น้ำแม่กลอง
กิโลเมตรที่ 16.85-18.85



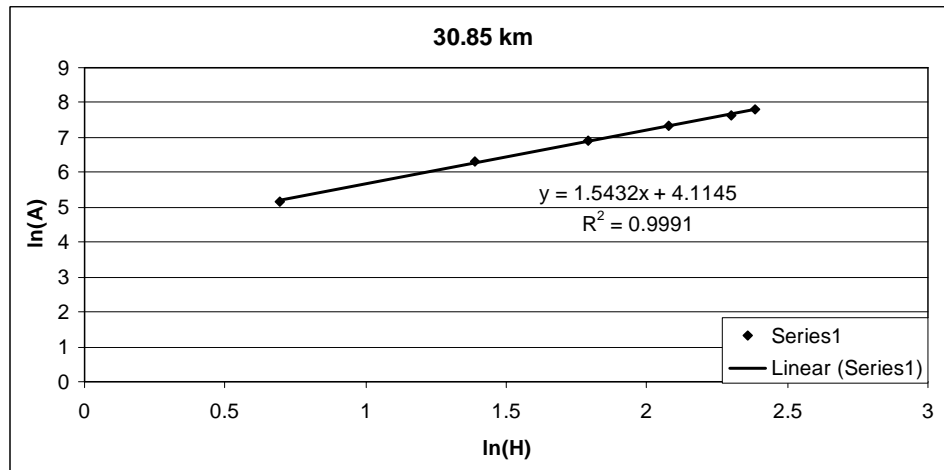
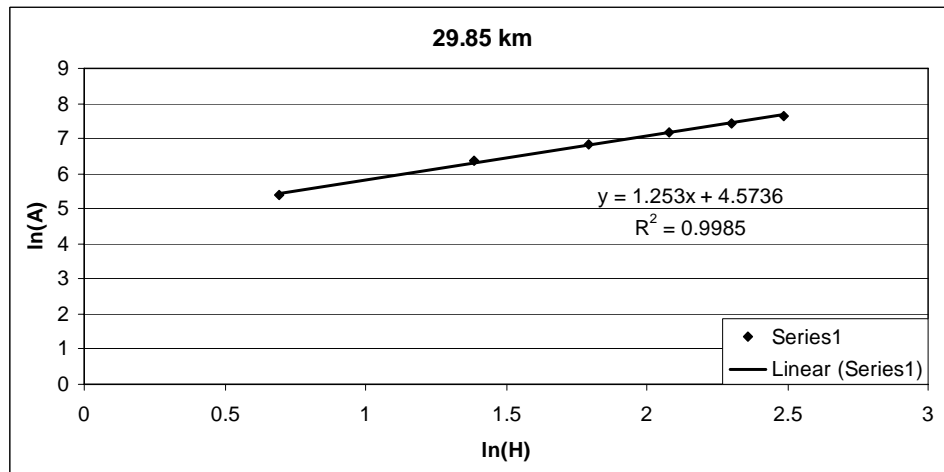
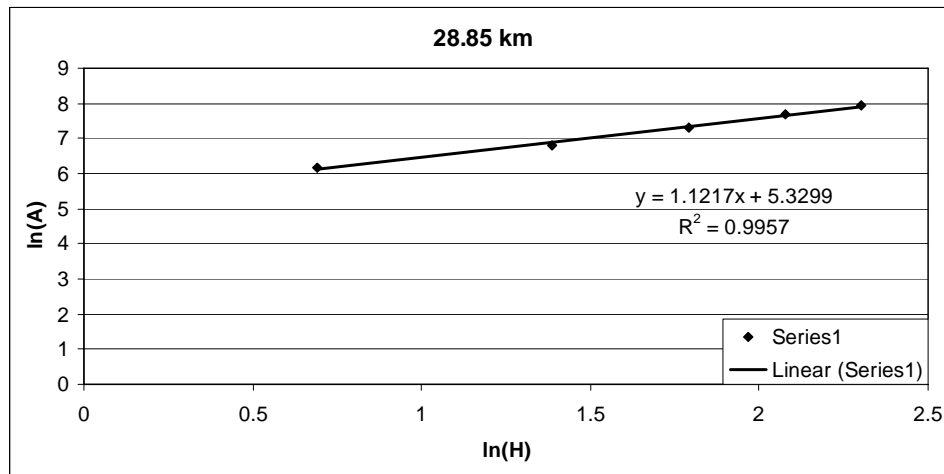
ภาพผนวกที่ จ2 ความสัมพันธ์ระหว่างพื้นที่หน้าตัดและความลึกของแม่น้ำแม่กลอง
กิโลเมตรที่ 19.85-21.85



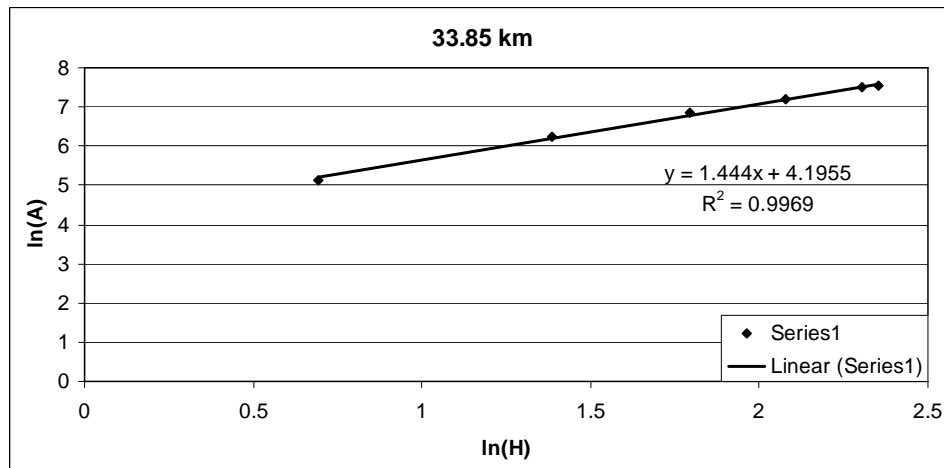
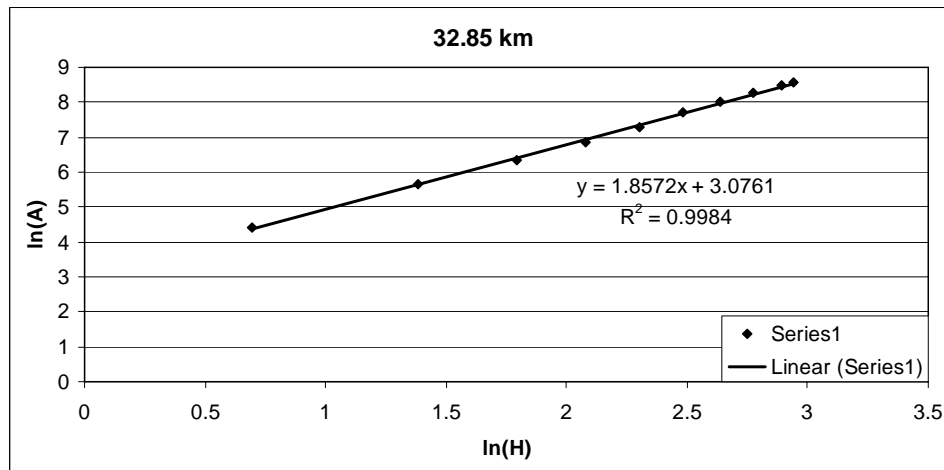
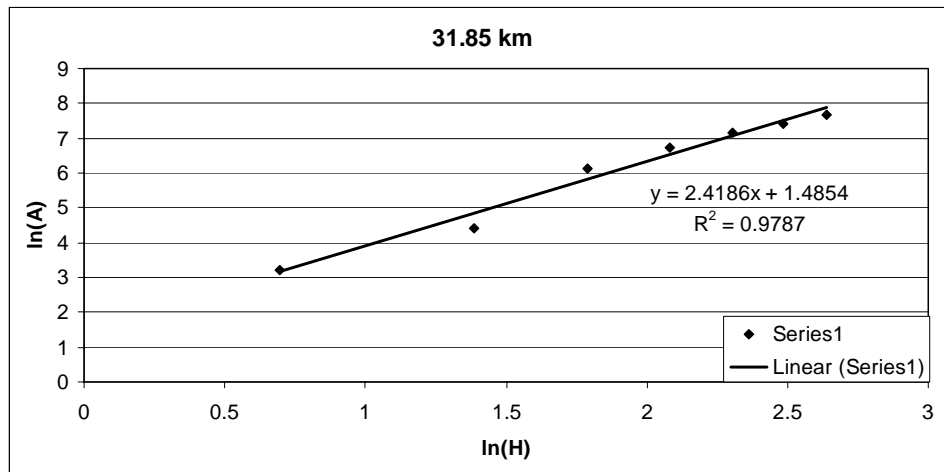
ภาพผนวกที่ จ3 ความสัมพันธ์ระหว่างพื้นที่หน้าตัดและความลึกของแม่น้ำแม่กลอง
กิโลเมตรที่ 22.85-24.85



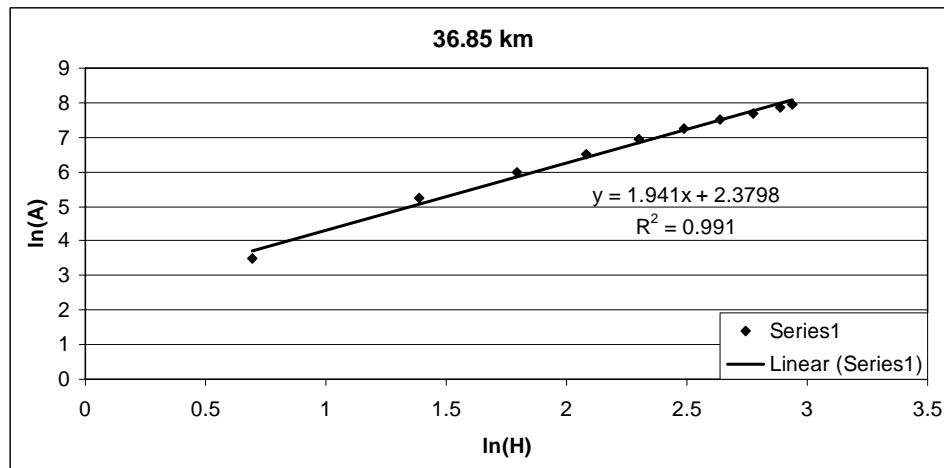
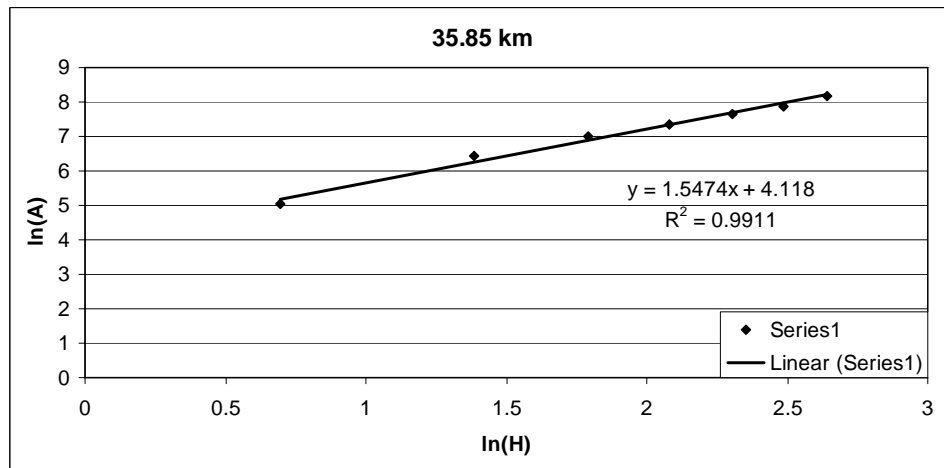
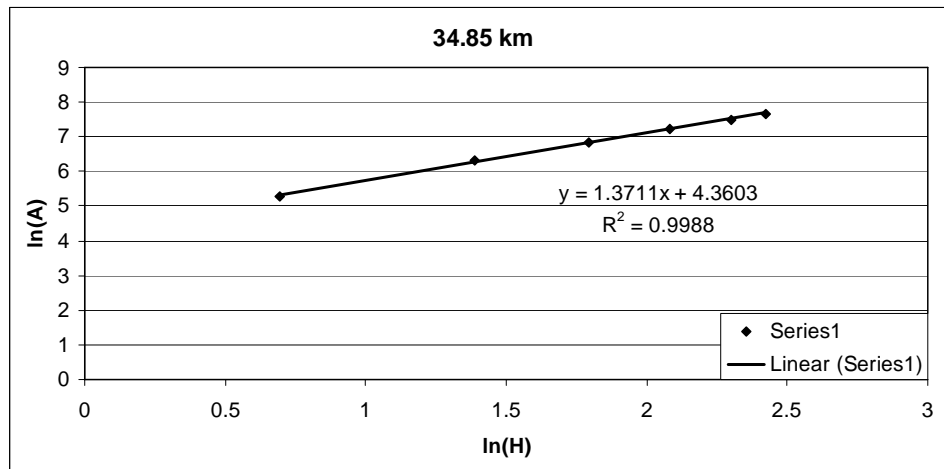
ภาพผนวกที่ ๔ ความสัมพันธ์ระหว่างพื้นที่หน้าตัดและความลึกของแม่น้ำแม่กลอง
กิโลเมตรที่ 25.85-27.85



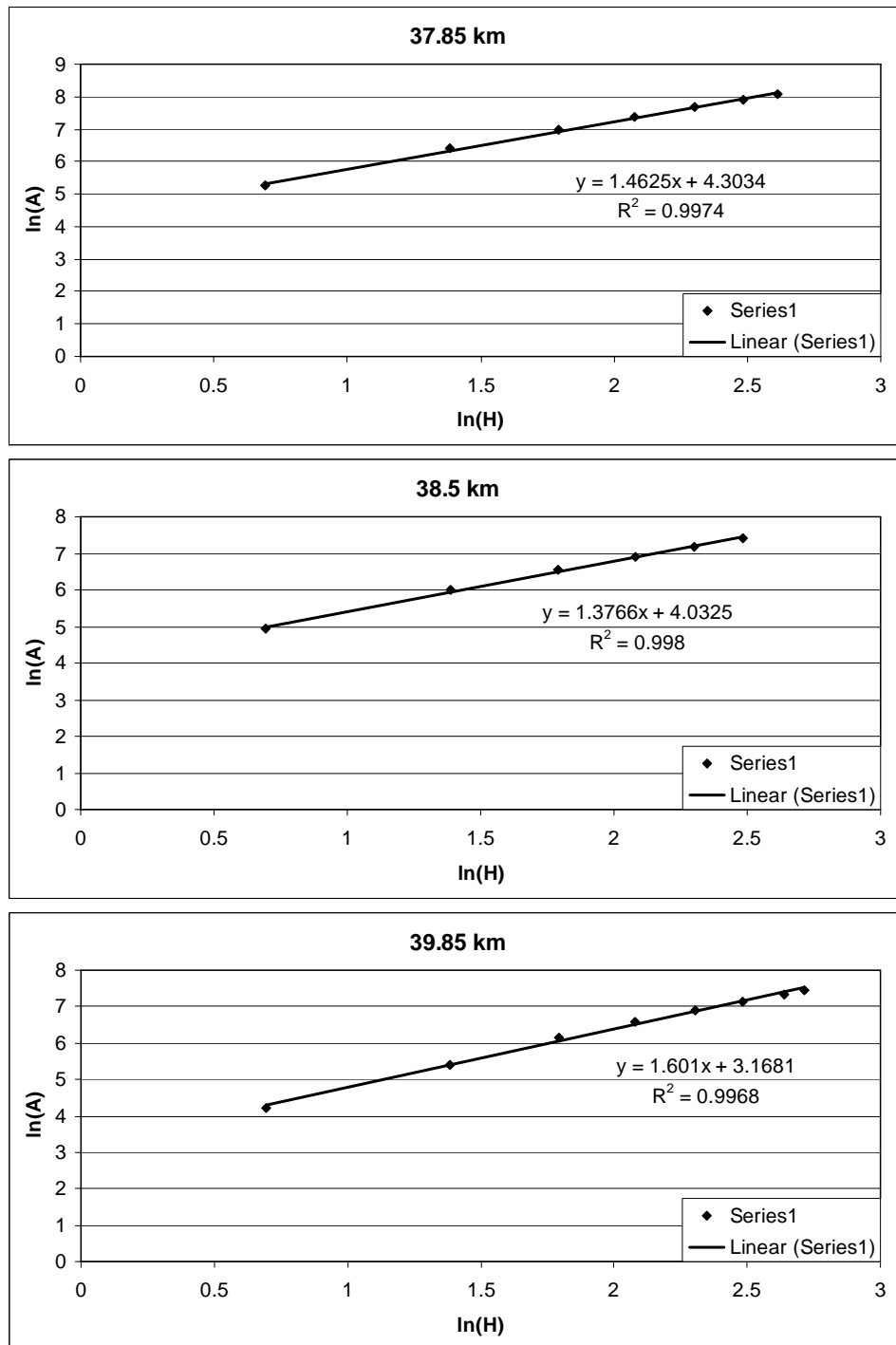
ภาพผนวกที่ ๕ ความสัมพันธ์ระหว่างพื้นที่หน้าตัดและความลึกของแม่น้ำแม่กลอง
กิโลเมตรที่ 28.85-30.85



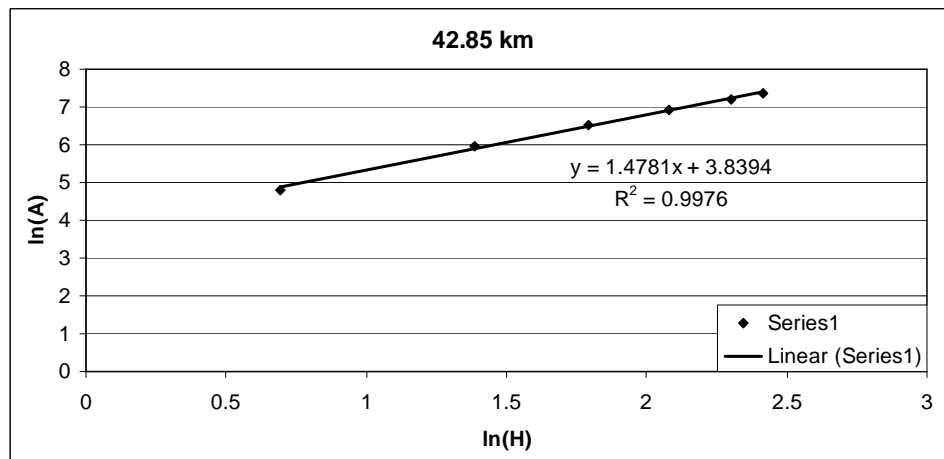
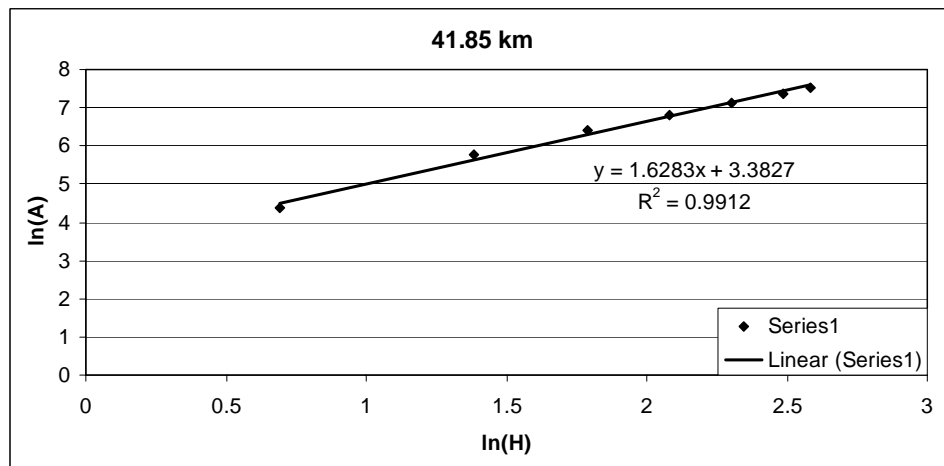
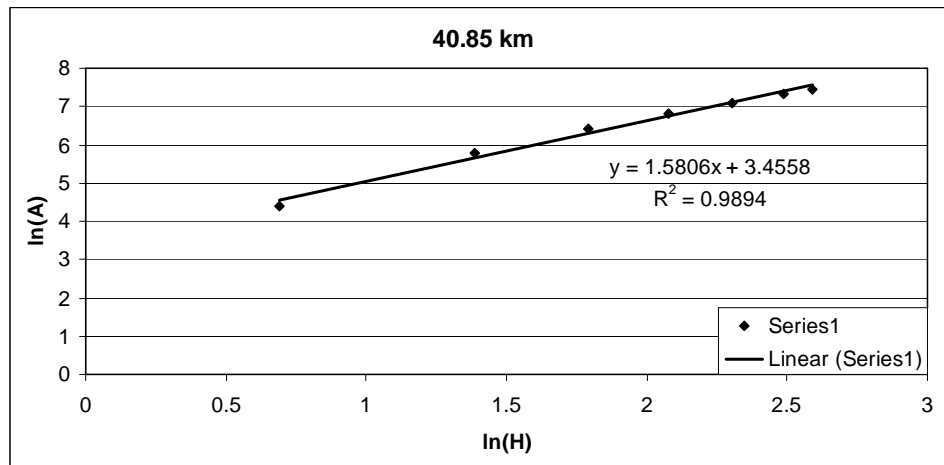
ภาพผนวกที่ ๖ ความสัมพันธ์ระหว่างพื้นที่หน้าตัดและความลึกของแม่น้ำแม่กลอง
กิโลเมตรที่ 31.85-33.85



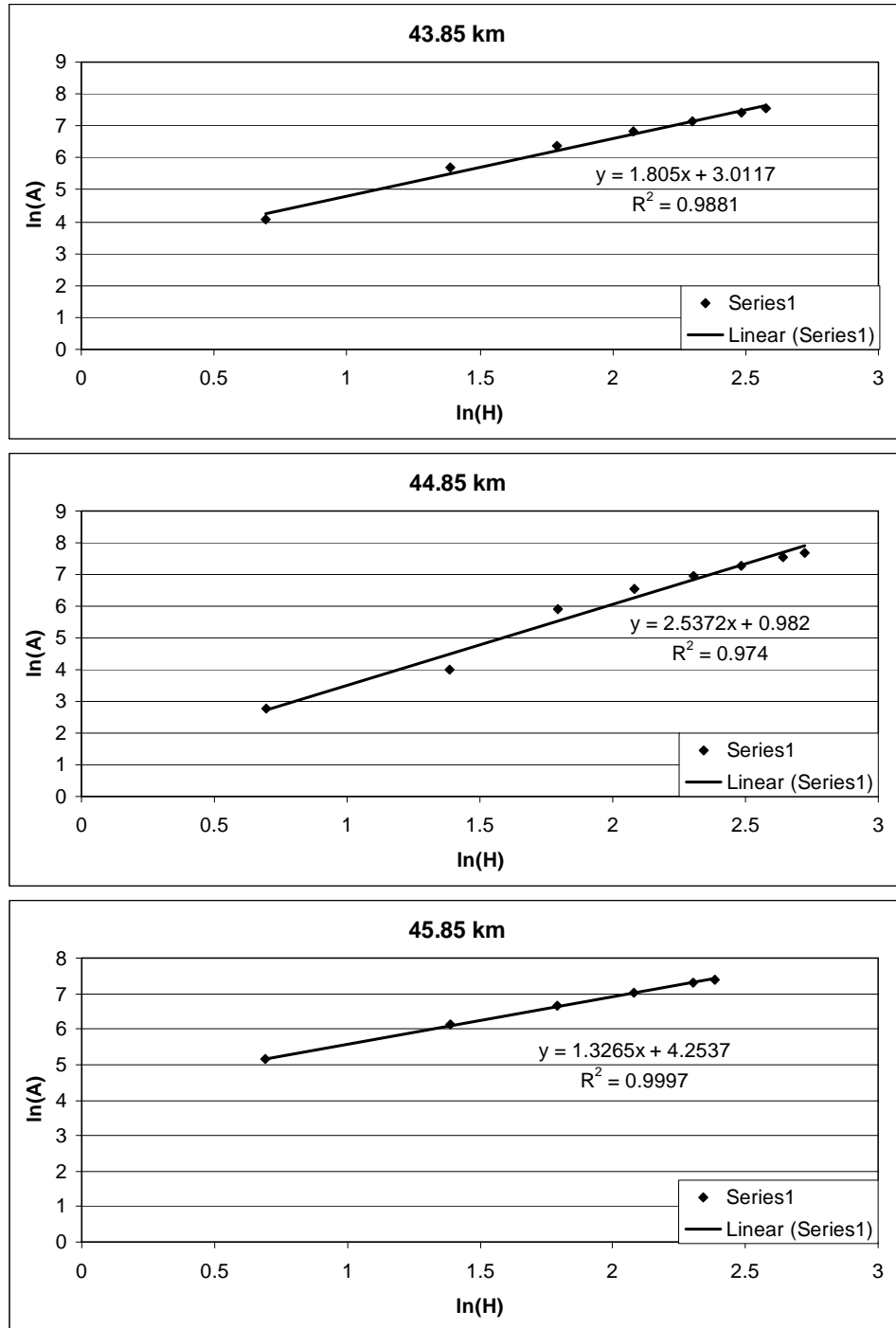
ภาพผนวกที่ ๑7 ความสัมพันธ์ระหว่างพื้นที่หน้าตัดและความลึกของแม่น้ำแม่กลอง
กิโลเมตรที่ 34.85-36.85



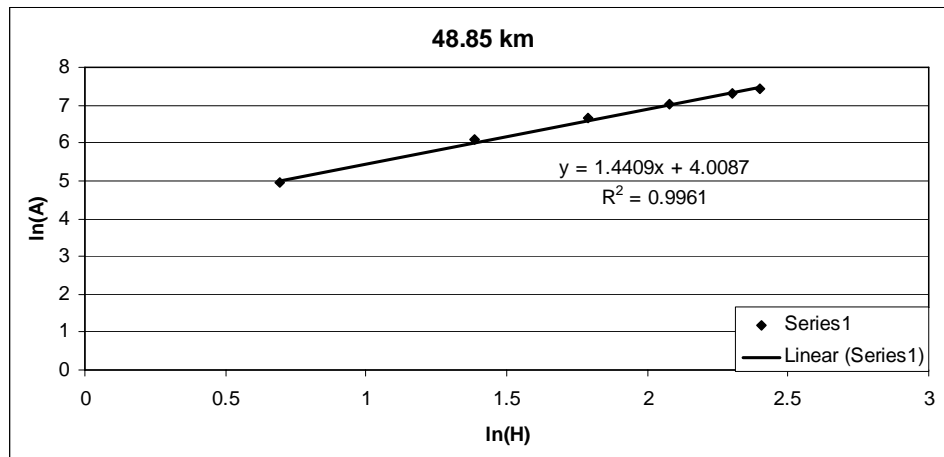
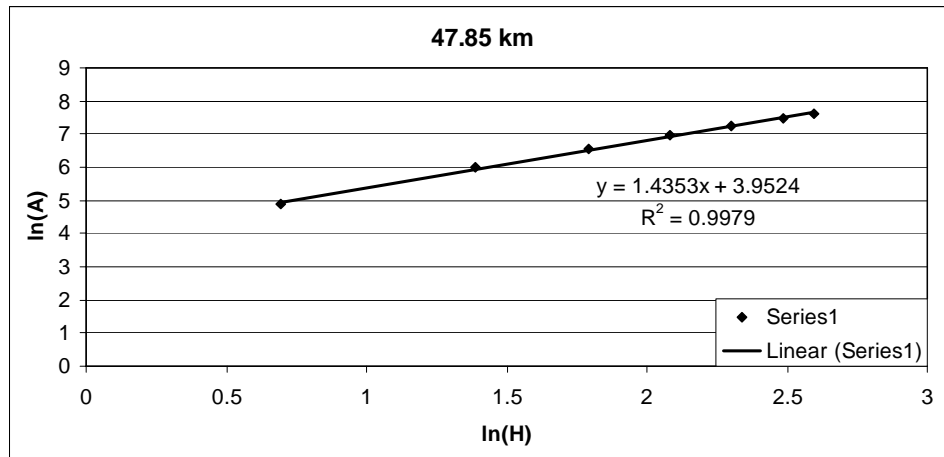
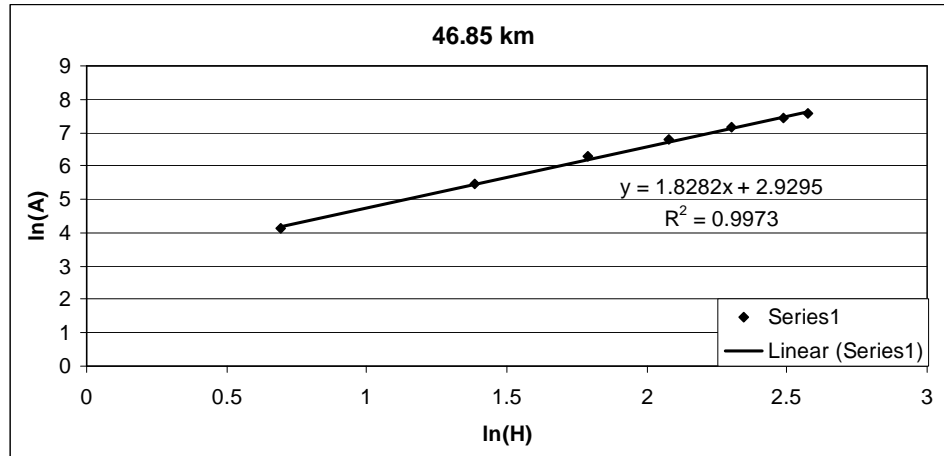
ภาพผนวกที่ ๑๘ ความสัมพันธ์ระหว่างพื้นที่หน้าตัดและความลึกของแม่น้ำแม่กลอง
 กิโลเมตรที่ 37.85-39.85



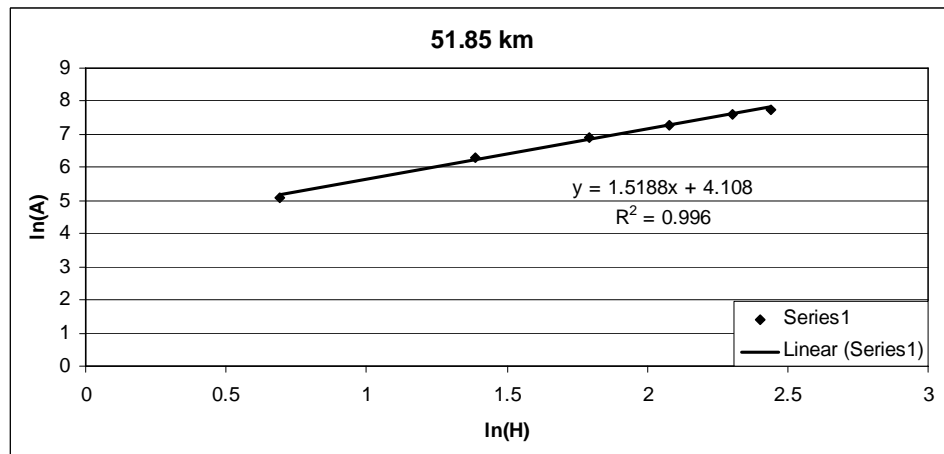
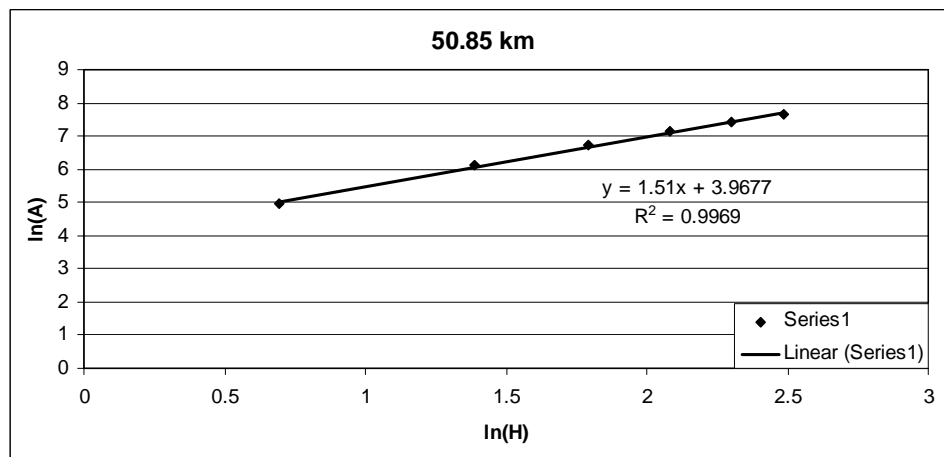
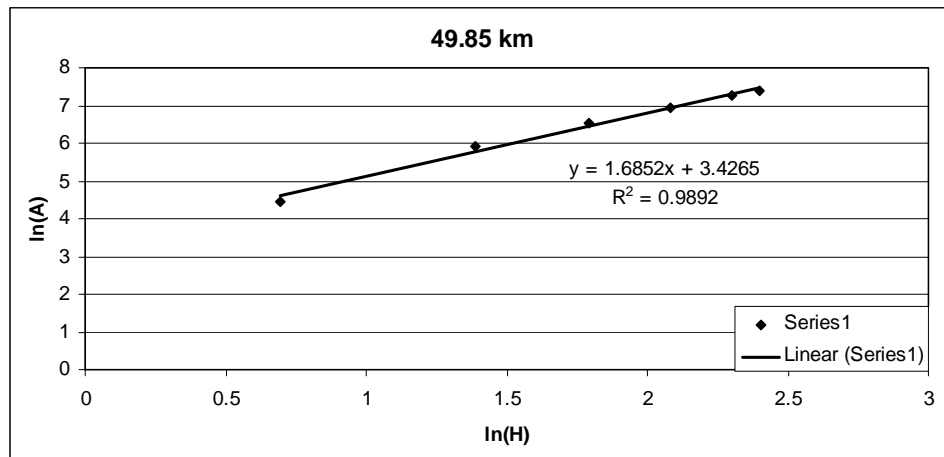
ภาพผนวกที่ ๑๑ ความสัมพันธ์ระหว่างพื้นที่หน้าตัดและความลึกของแม่น้ำแม่กลอง
กิโลเมตรที่ 40.85-42.85



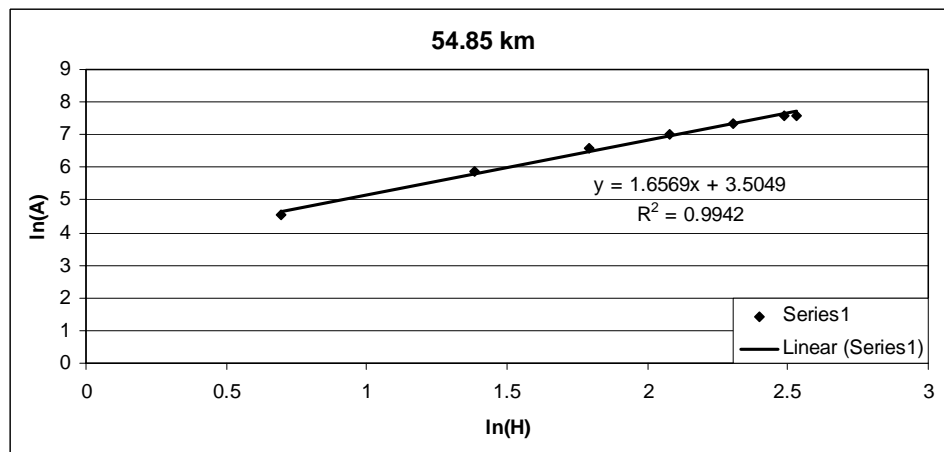
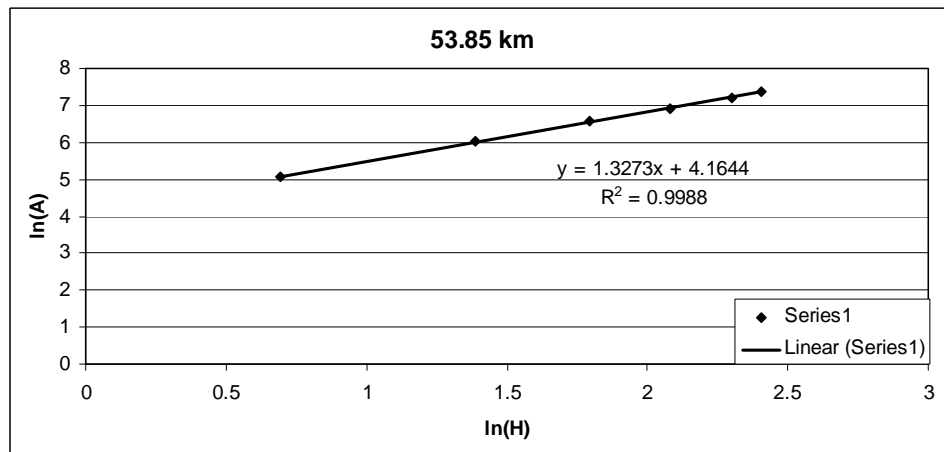
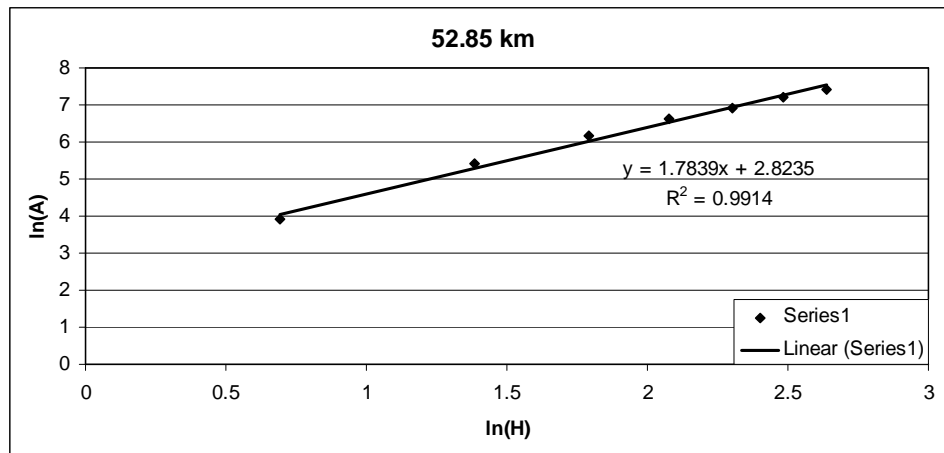
ภาพผนวกที่ ๑๐ ความสัมพันธ์ระหว่างพื้นที่หน้าตัดและความลึกของแม่น้ำแม่กลอง
กิโลเมตรที่ 43.85-45.85



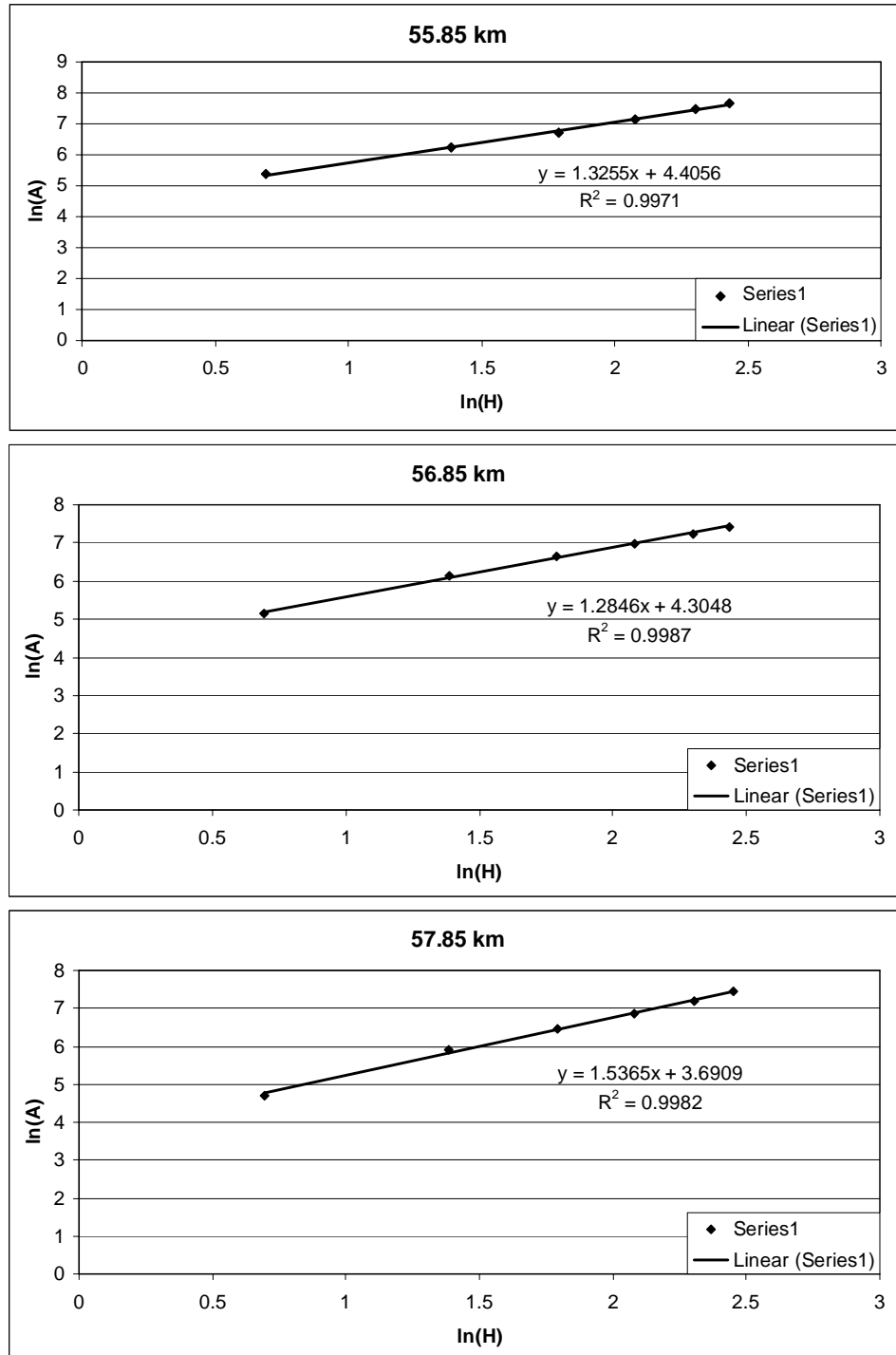
ภาพผนวกที่ ๑11 ความสัมพันธ์ระหว่างพื้นที่หน้าตัดและความลึกของแม่น้ำแม่กลอง
กิโลเมตรที่ 46.85-48.85



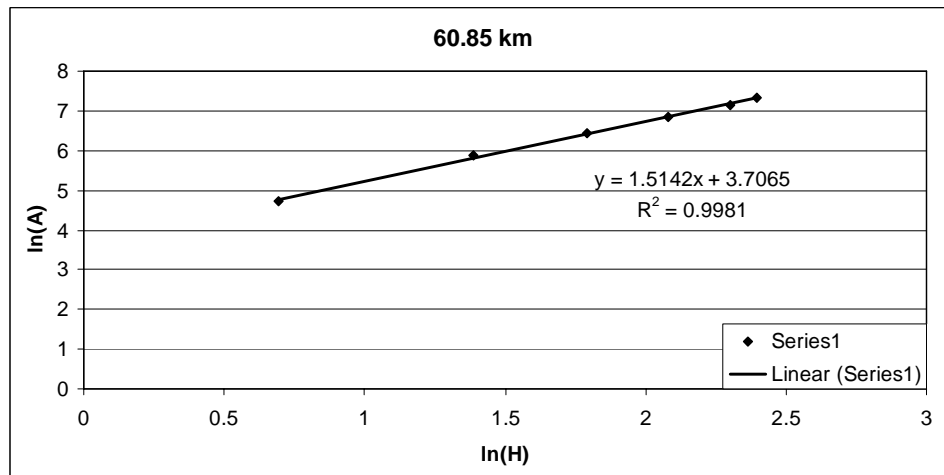
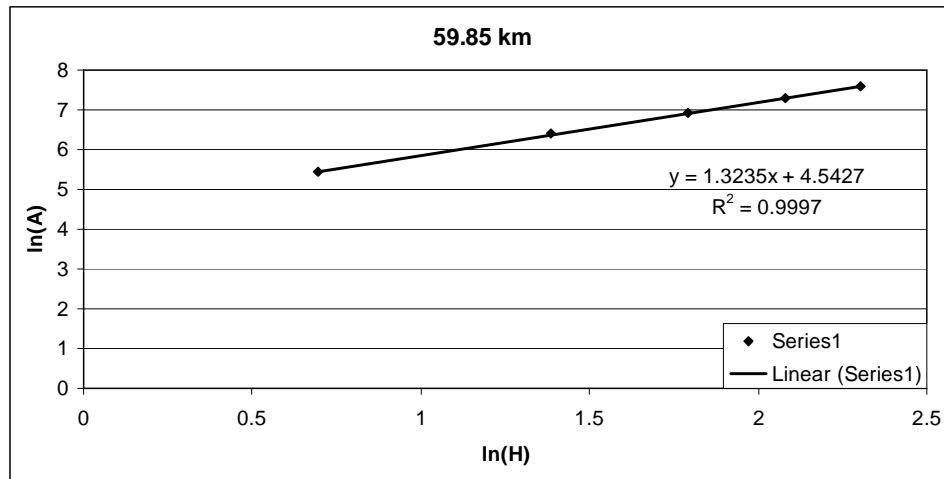
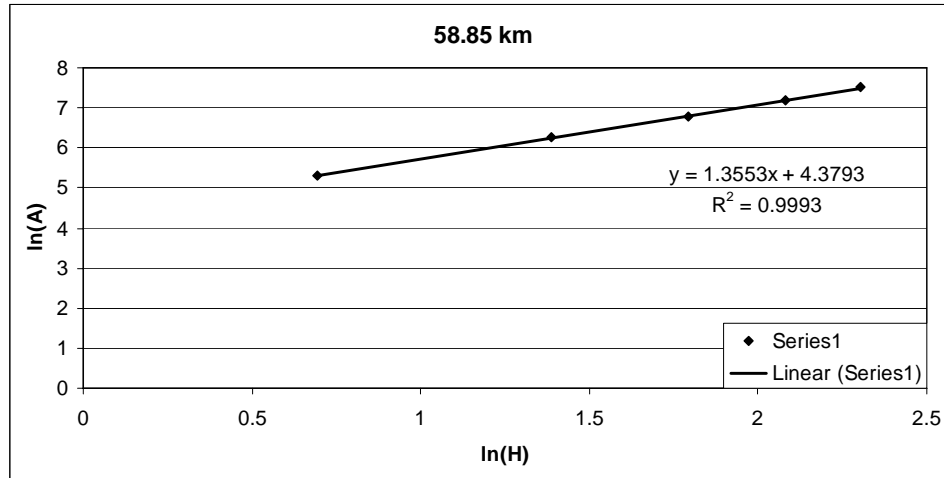
ภาพผนวกที่ ๑12 ความสัมพันธ์ระหว่างพื้นที่หน้าตัดและความลึกของแม่น้ำแม่กลอง
กิโลเมตรที่ 49.85-51.85



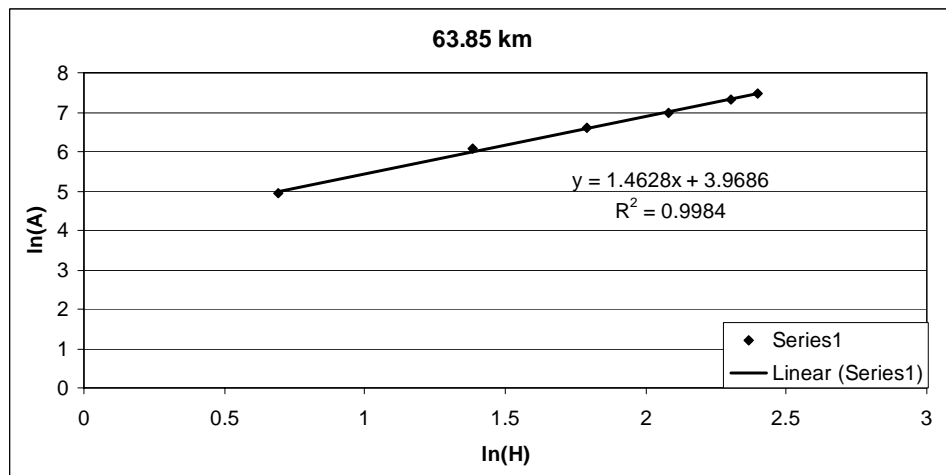
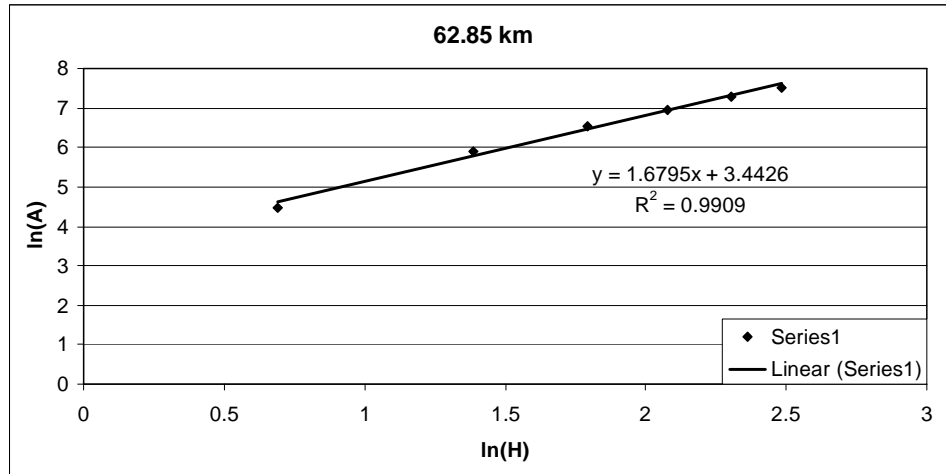
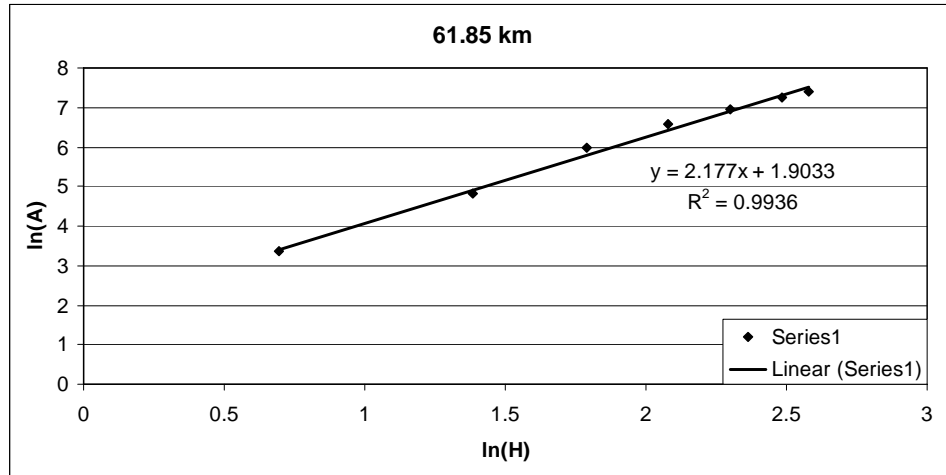
ภาพผนวกที่ ๑๓ ความสัมพันธ์ระหว่างพื้นที่หน้าตัดและความลึกของแม่น้ำแม่กลอง
กิโลเมตรที่ 52.85-54.85



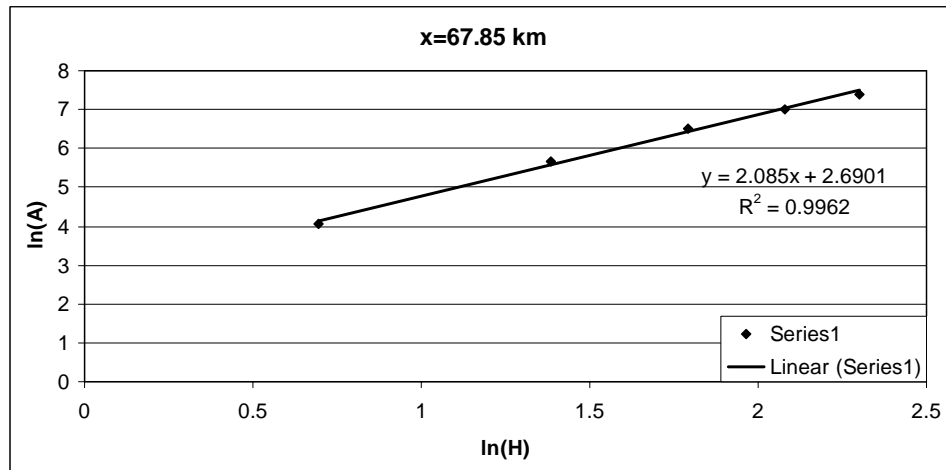
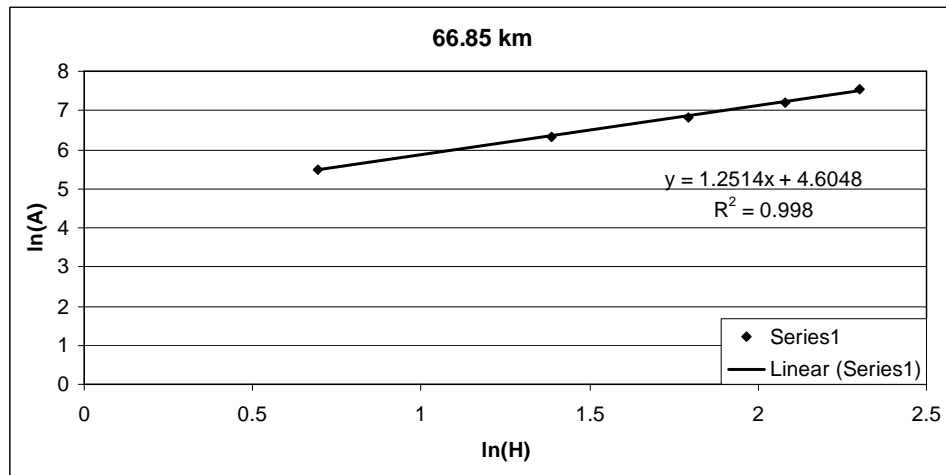
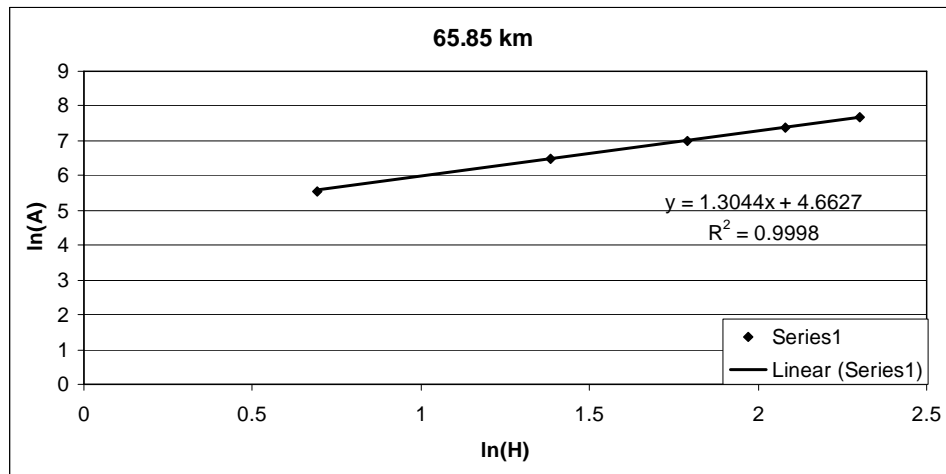
ภาพผนวกที่ ๑๑๔ ความสัมพันธ์ระหว่างพื้นที่หน้าตัดและความลึกของแม่น้ำแม่กลอง
 กิโลเมตรที่ 55.85-57.85



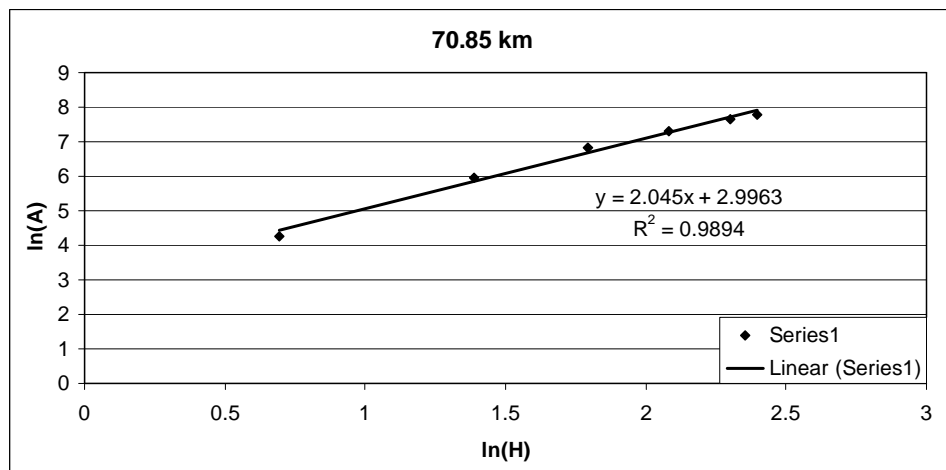
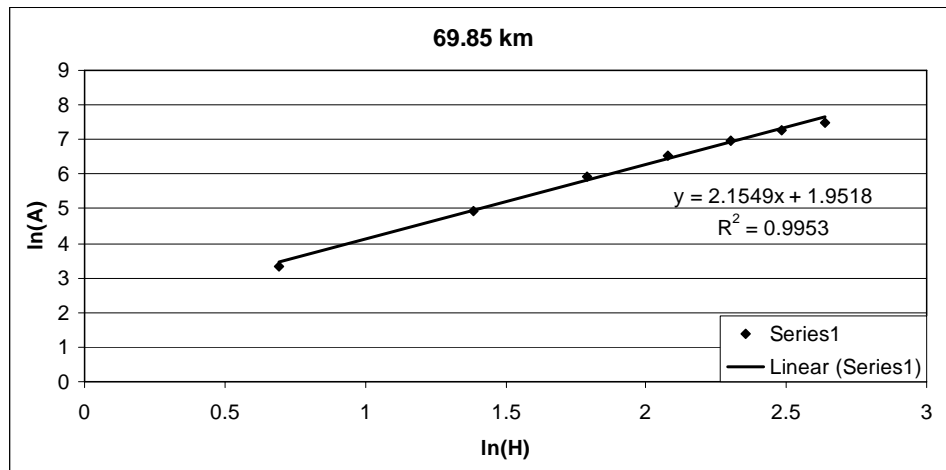
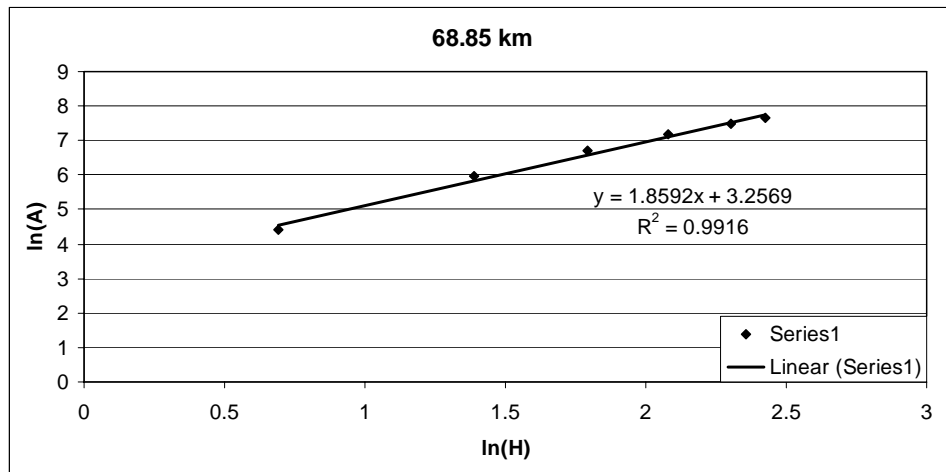
ภาพผนวกที่ 15 ความสัมพันธ์ระหว่างพื้นที่หน้าตัดและความลึกของแม่น้ำแม่กลอง
กิโลเมตรที่ 58.85-60.85



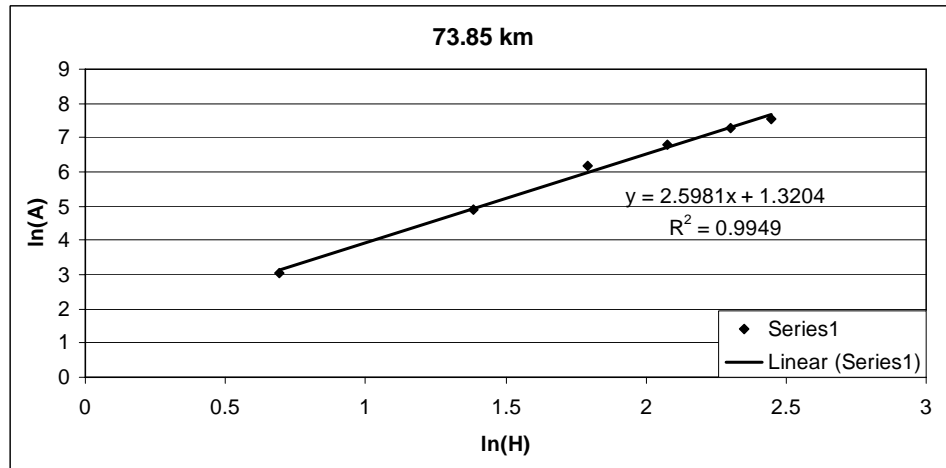
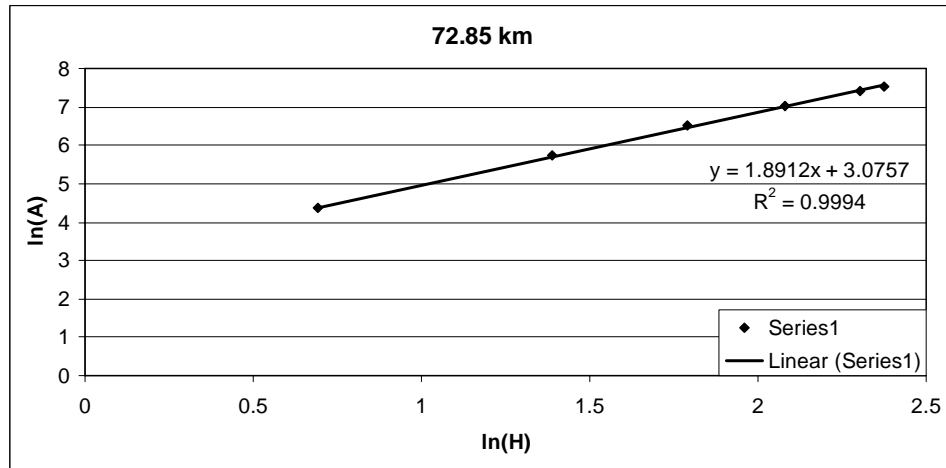
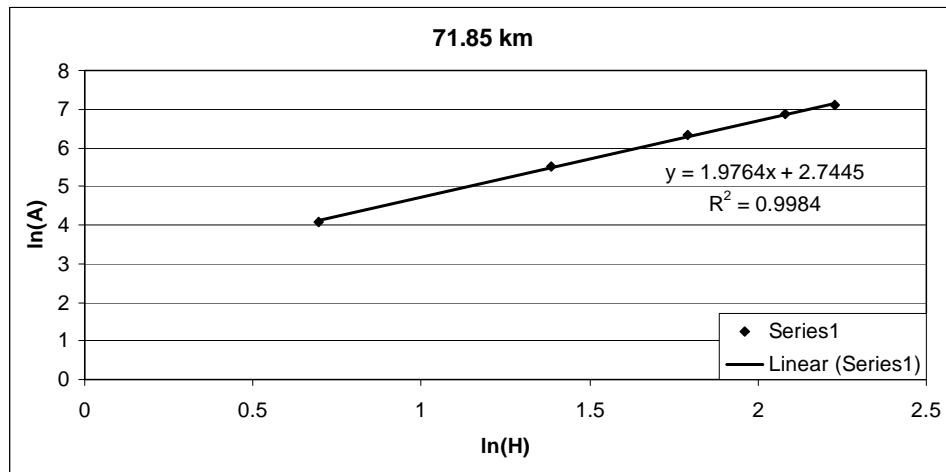
ภาพผนวกที่ 16 ความสัมพันธ์ระหว่างพื้นที่หน้าตัดและความลึกของแม่น้ำแม่กลอง
กิโลเมตรที่ 61.85-63.85



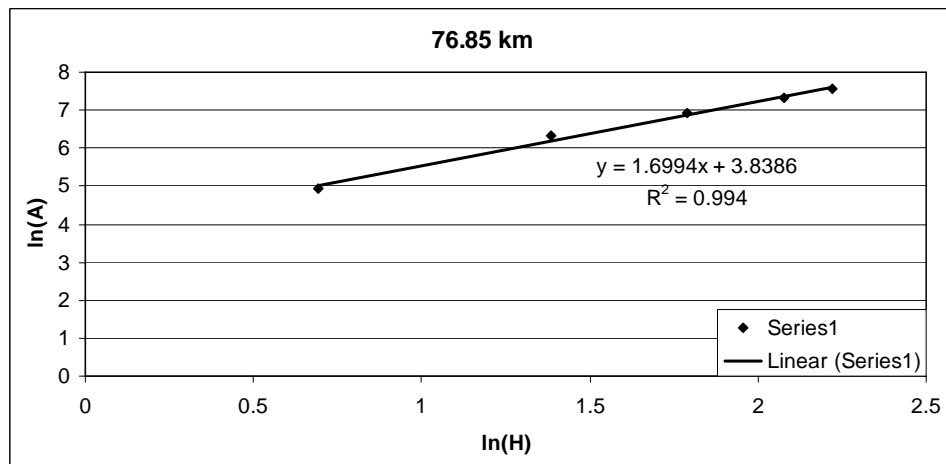
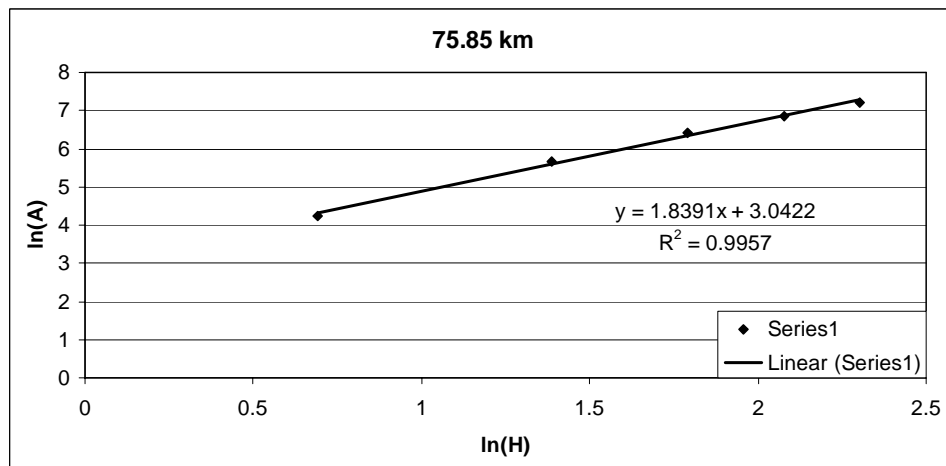
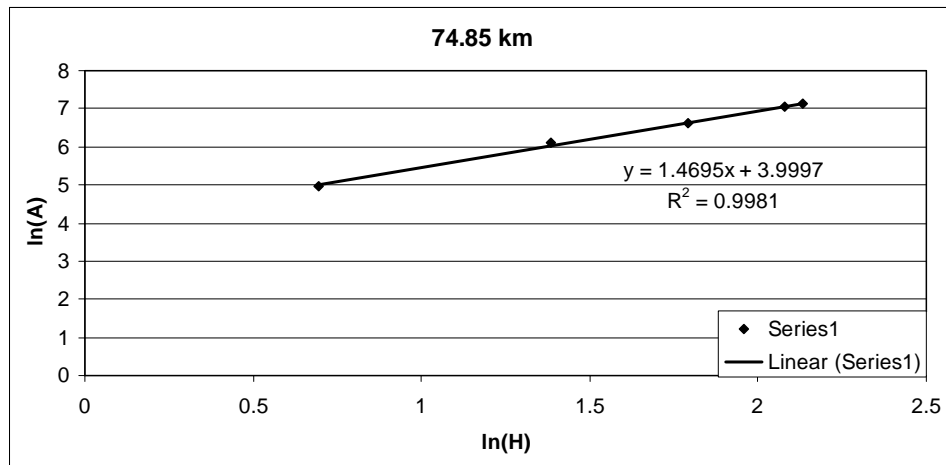
ภาพผนวกที่ 17 ความสัมพันธ์ระหว่างพื้นที่หน้าตัดและความลึกของแม่น้ำแม่กลอง
กิโลเมตรที่ 65.85-67.85



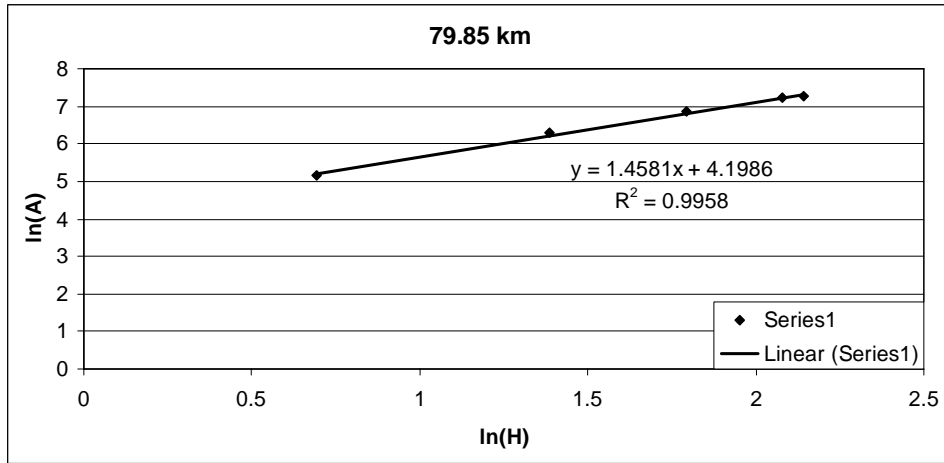
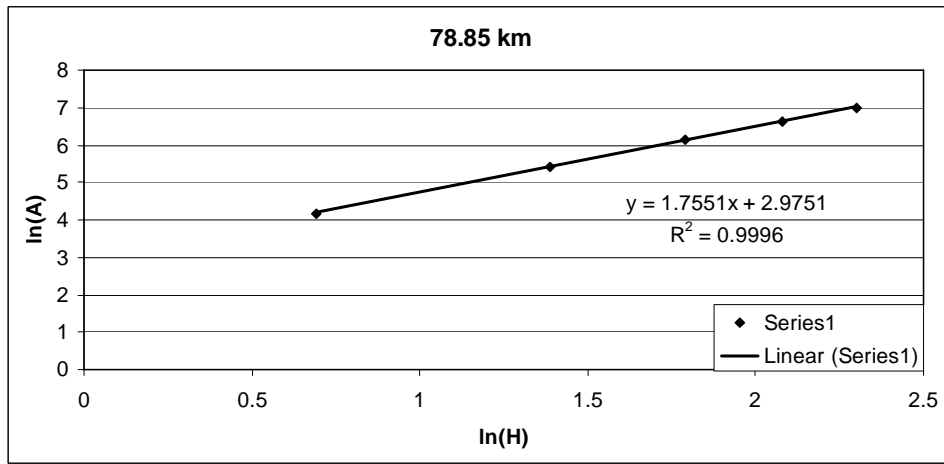
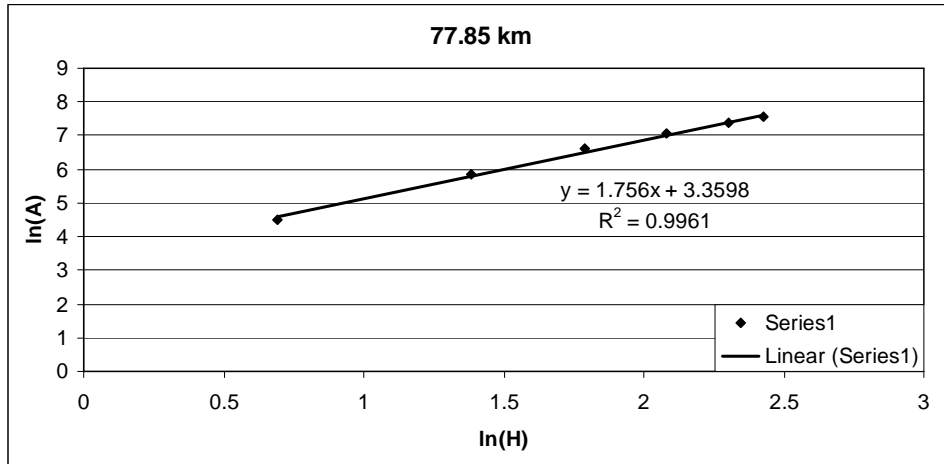
ภาพผนวกที่ ๑18 ความสัมพันธ์ระหว่างพื้นที่หน้าตัดและความลึกของแม่น้ำแม่กลอง
กิโลเมตรที่ 68.85-70.85



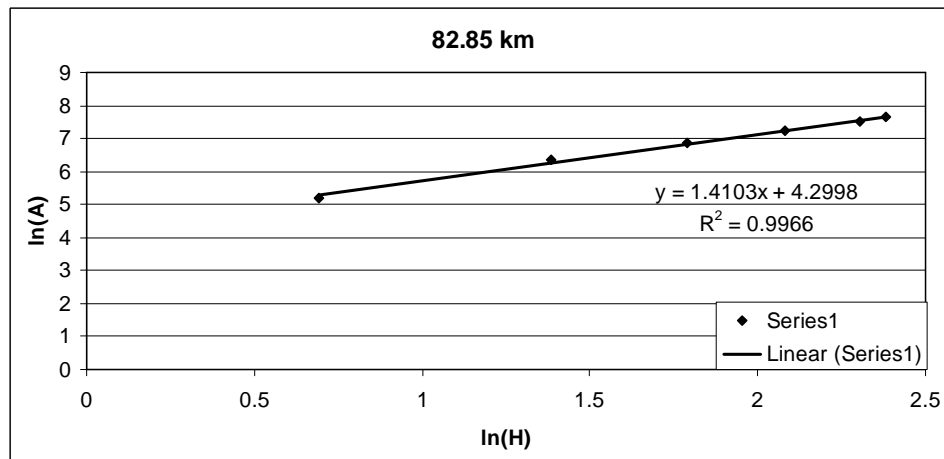
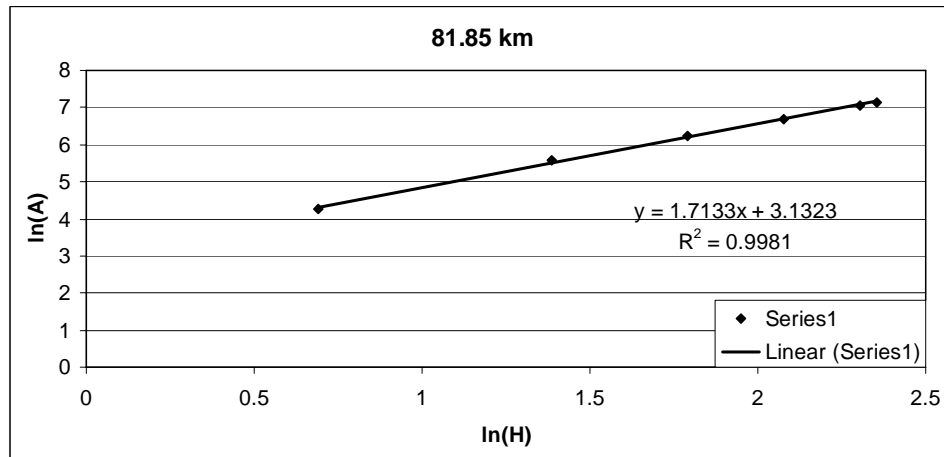
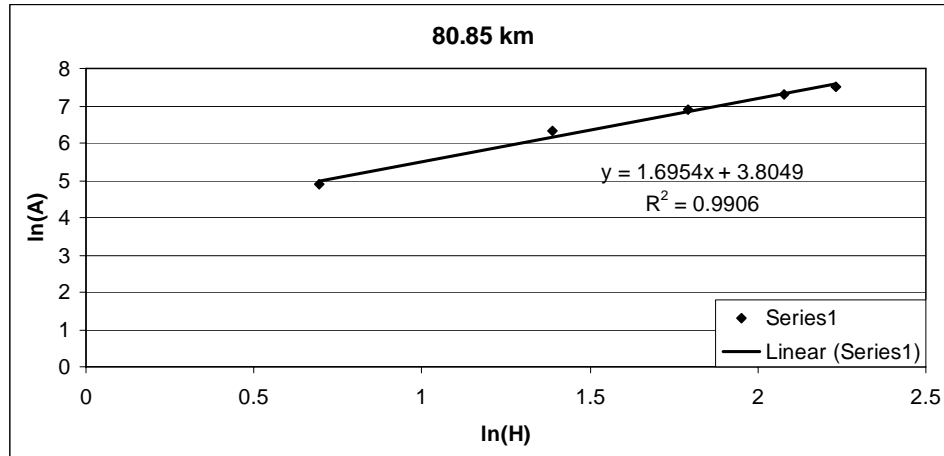
ภาพผนวกที่ ๑๑๙ ความสัมพันธ์ระหว่างพื้นที่หน้าตัดและความลึกของแม่น้ำแม่กลอง
กิโลเมตรที่ 71.85-73.85



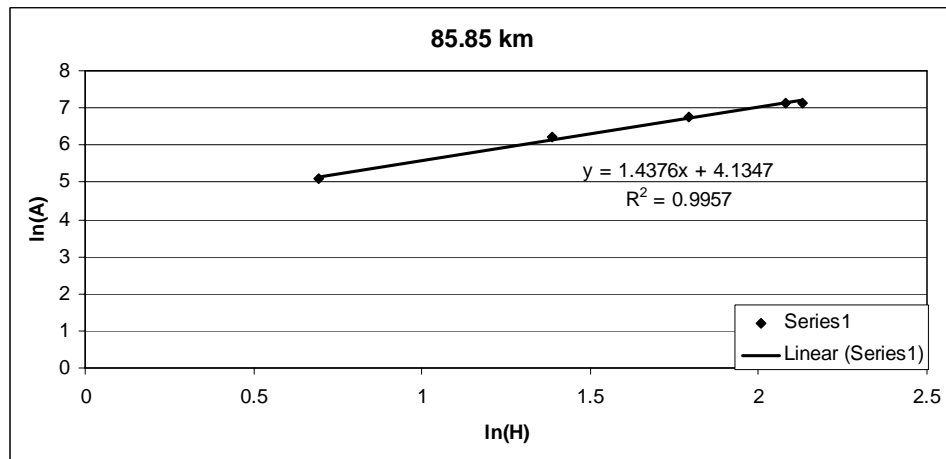
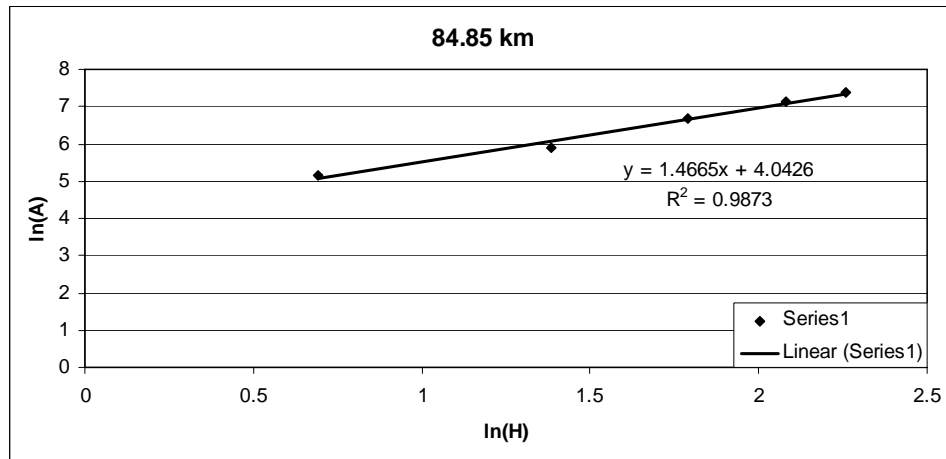
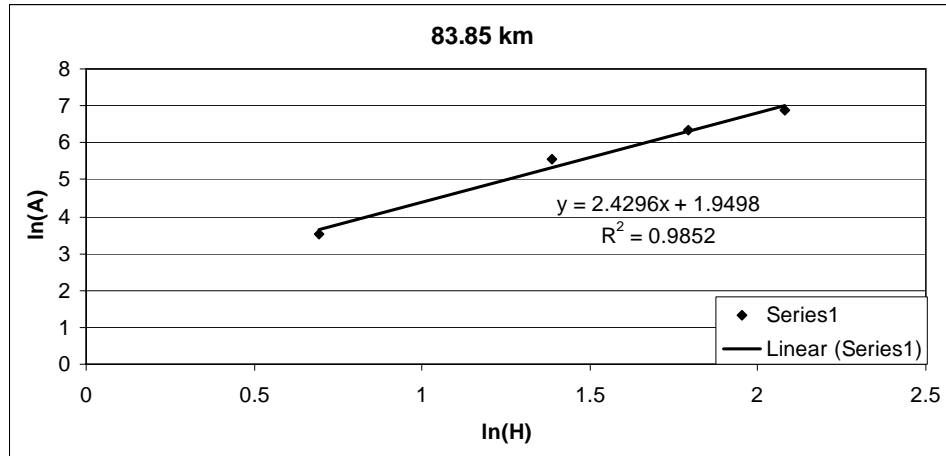
ภาพผนวกที่ จ20 ความสัมพันธ์ระหว่างพื้นที่หน้าตัดและความลึกของแม่น้ำแม่กลอง
กิโลเมตรที่ 74.85-76.85



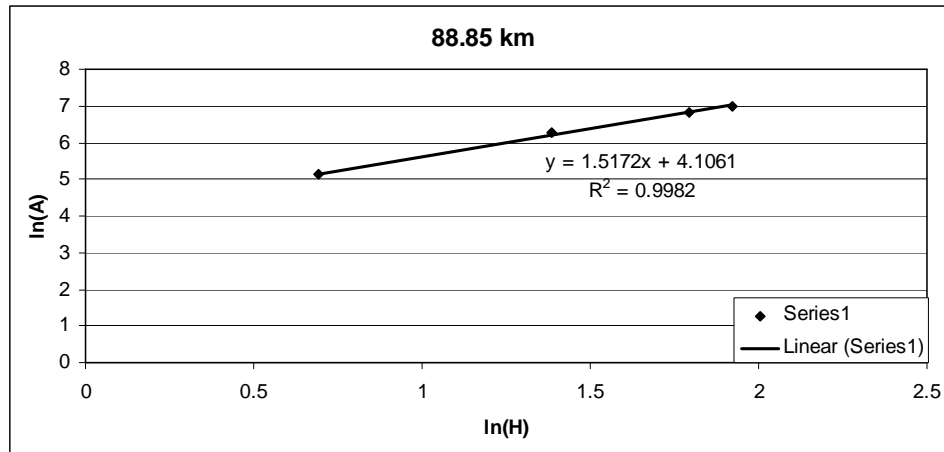
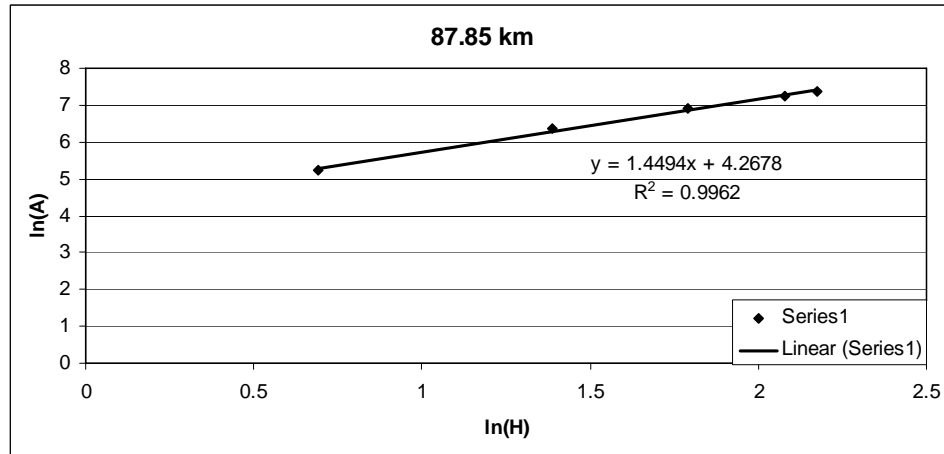
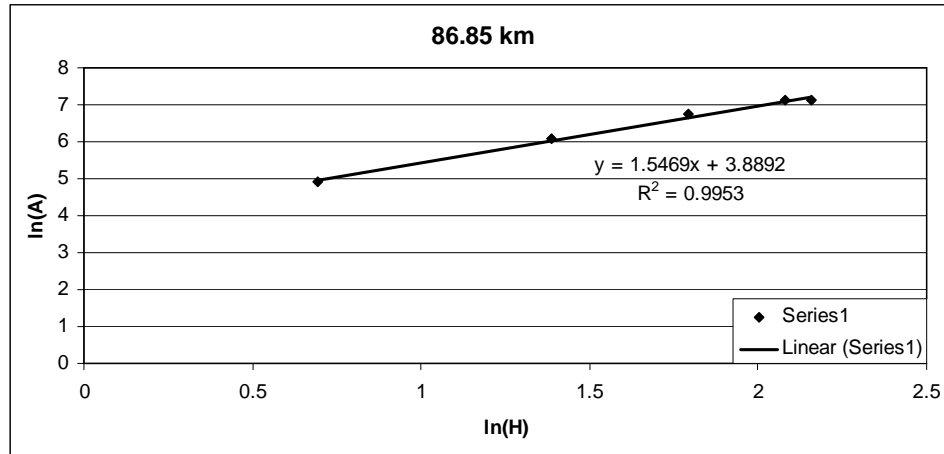
ภาพผนวกที่ จ21 ความสัมพันธ์ระหว่างพื้นที่หน้าตัดและความลึกของแม่น้ำแม่กลอง
กิโลเมตรที่ 77.85-79.85



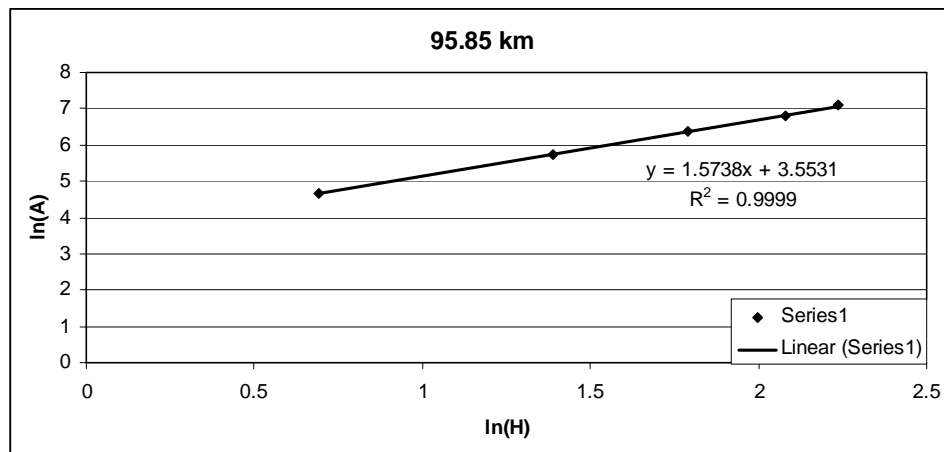
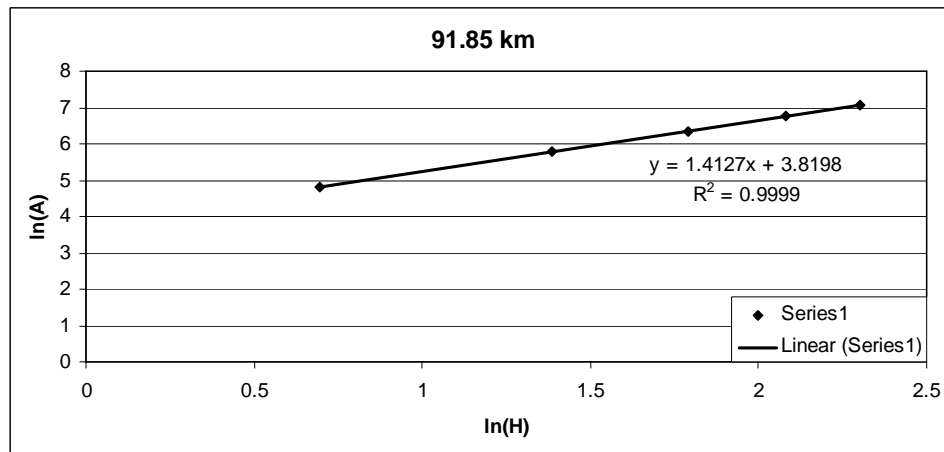
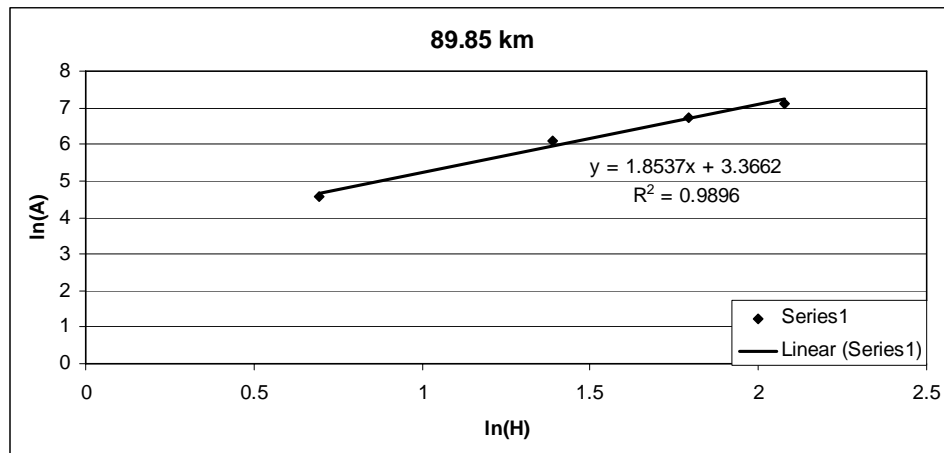
ภาพผนวกที่ ๒๒ ความสัมพันธ์ระหว่างพื้นที่หน้าตัดและความลึกของแม่น้ำแม่กลอง
กิโลเมตรที่ 80.85-82.85



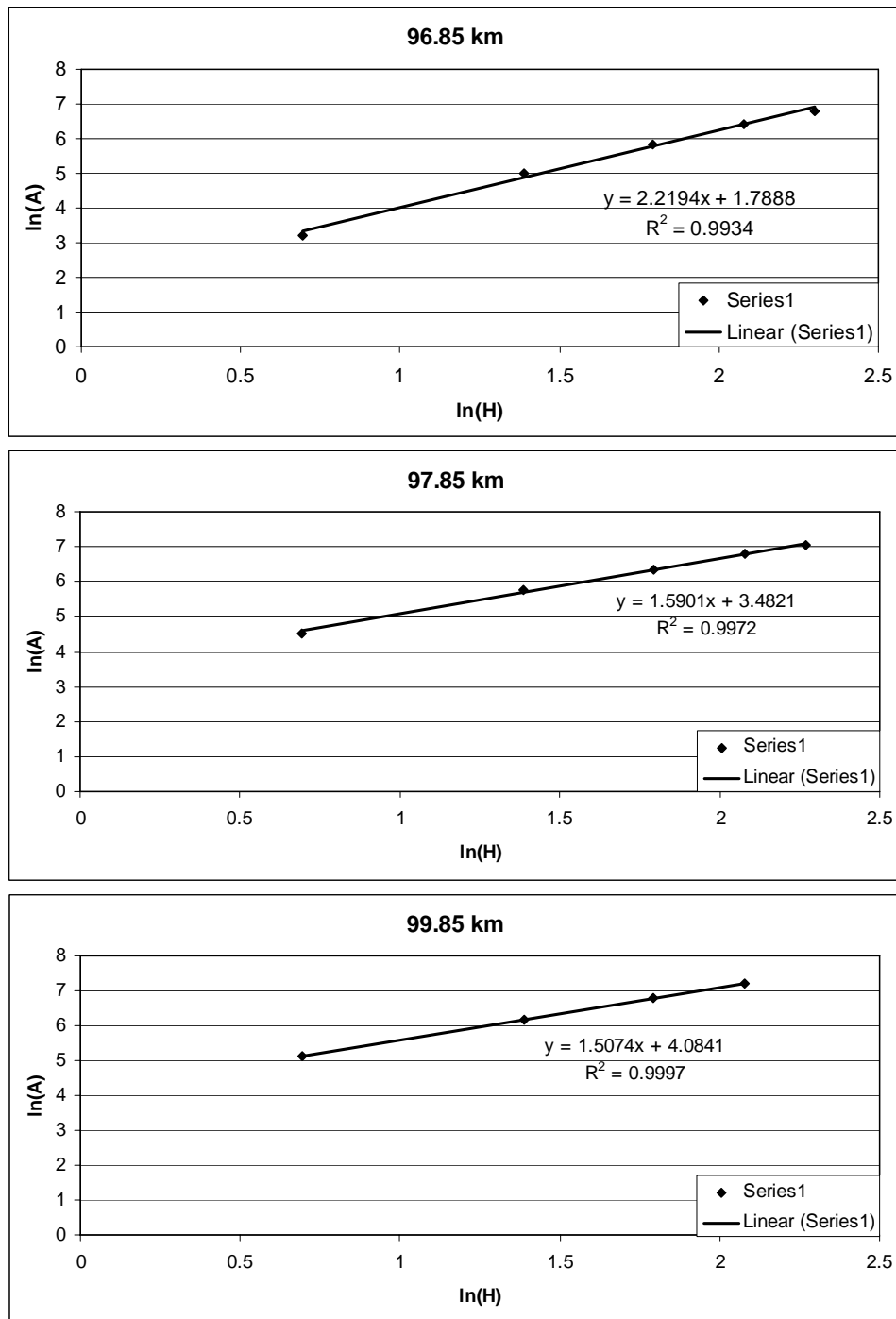
ภาพผนวกที่ จ23 ความสัมพันธ์ระหว่างพื้นที่หน้าตัดและความลึกของแม่น้ำแม่กลอง
กิโลเมตรที่ 83.85-85.85



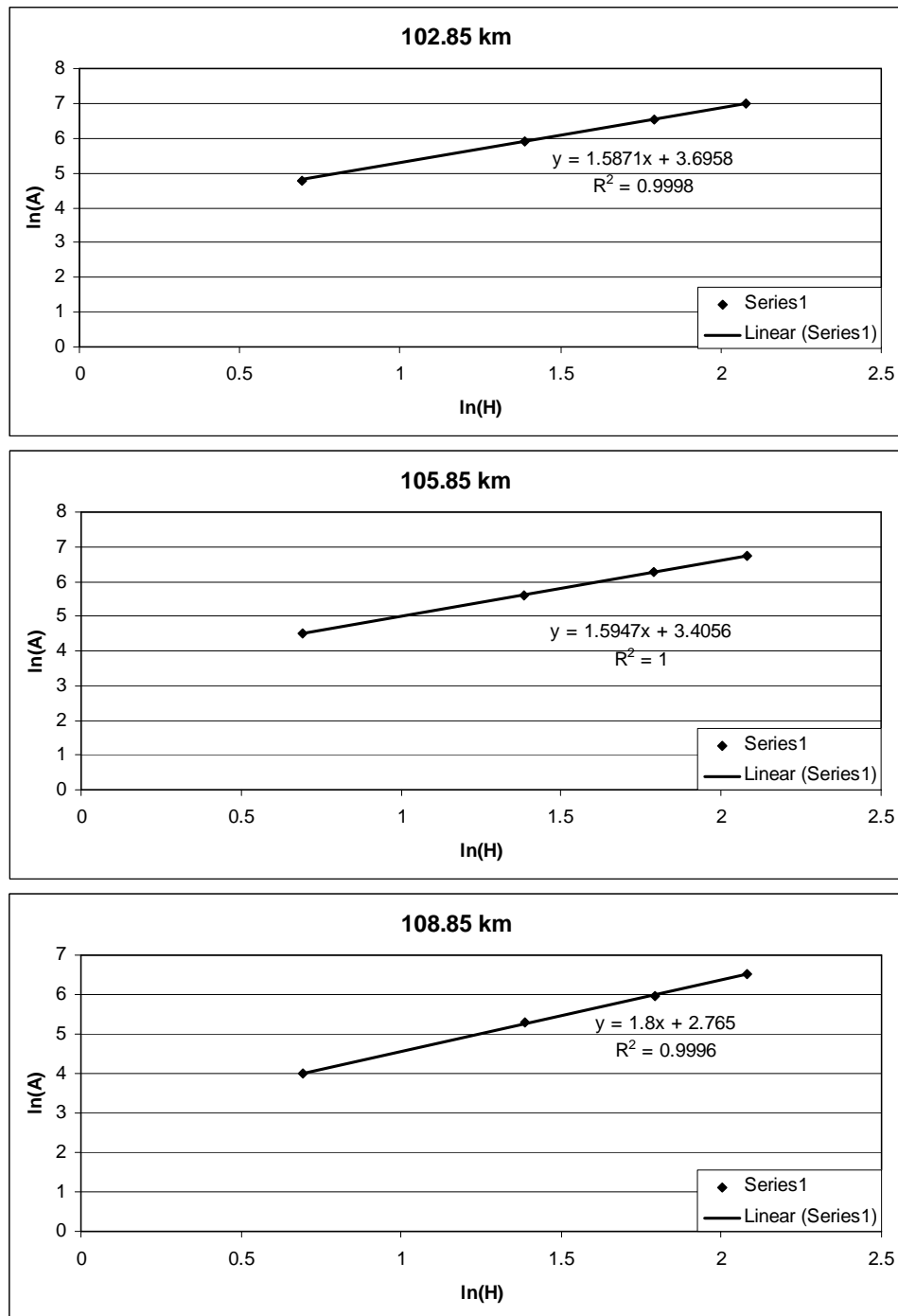
ภาพผนวกที่ จ24 ความสัมพันธ์ระหว่างพื้นที่หน้าตัดและความลึกของแม่น้ำแม่กลอง
กิโลเมตรที่ 86.85-88.85



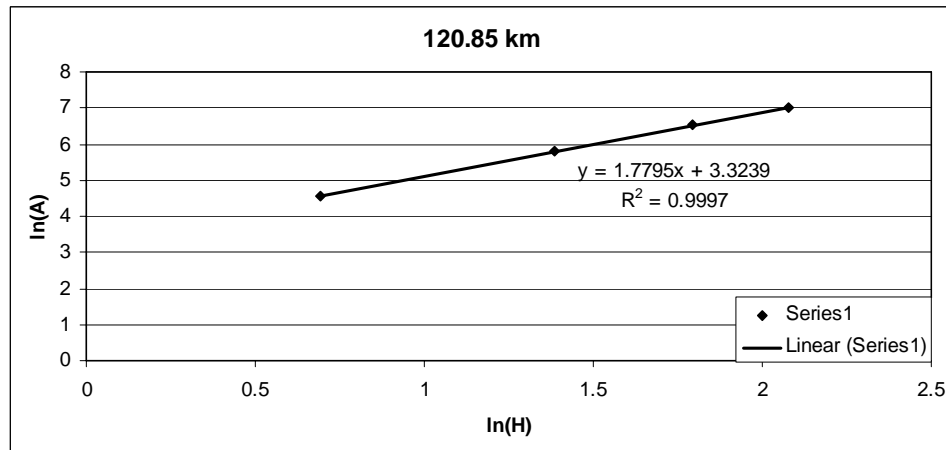
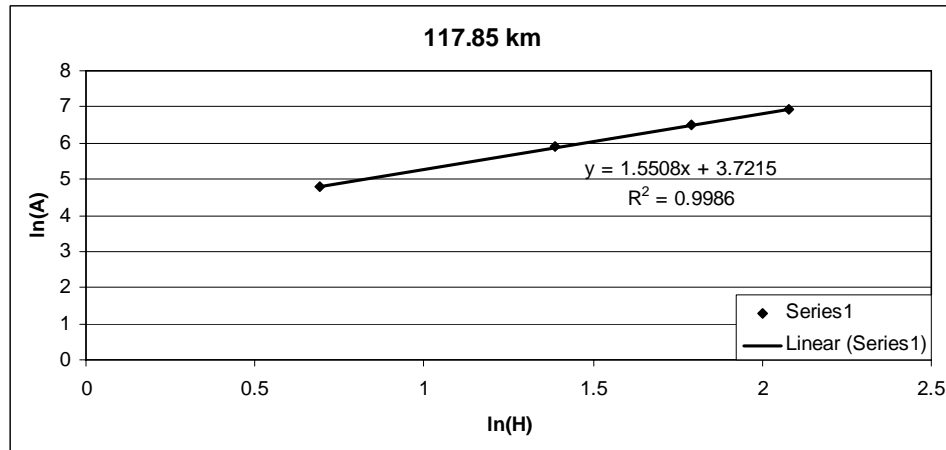
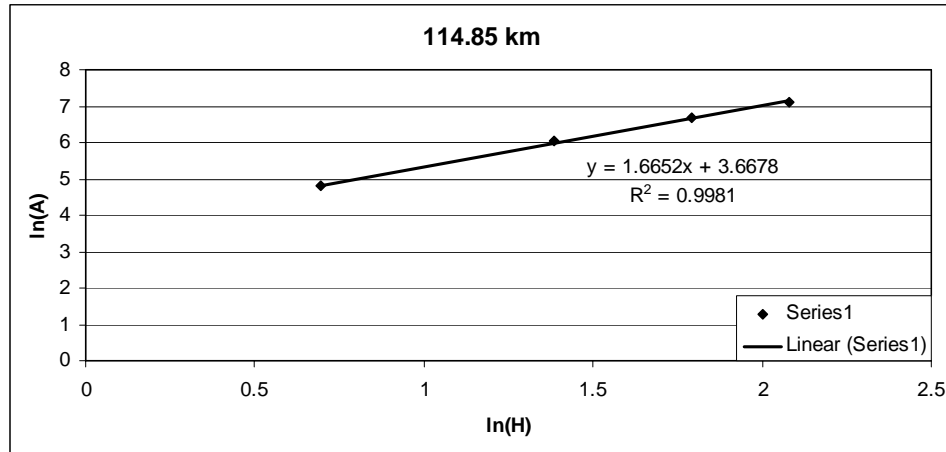
ภาพผนวกที่ จ25 ความสัมพันธ์ระหว่างพื้นที่หน้าตัดและความลึกของแม่น้ำแม่กลอง
กิโลเมตรที่ 89.85-95.85



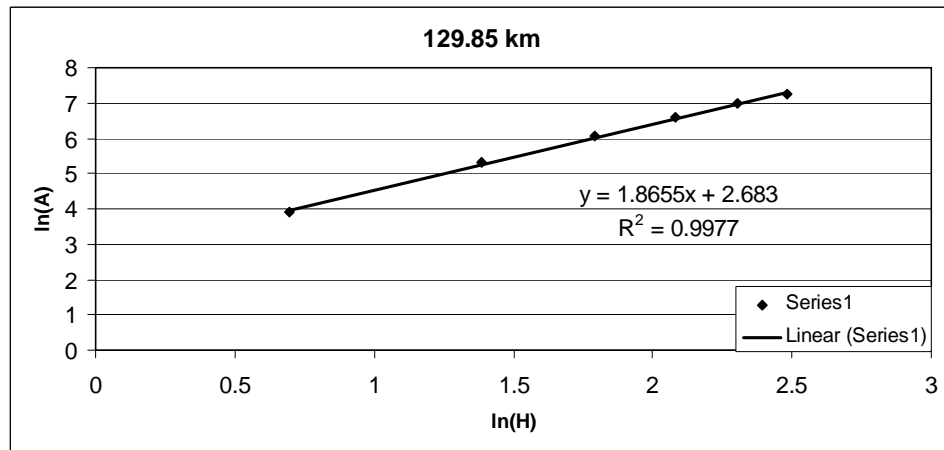
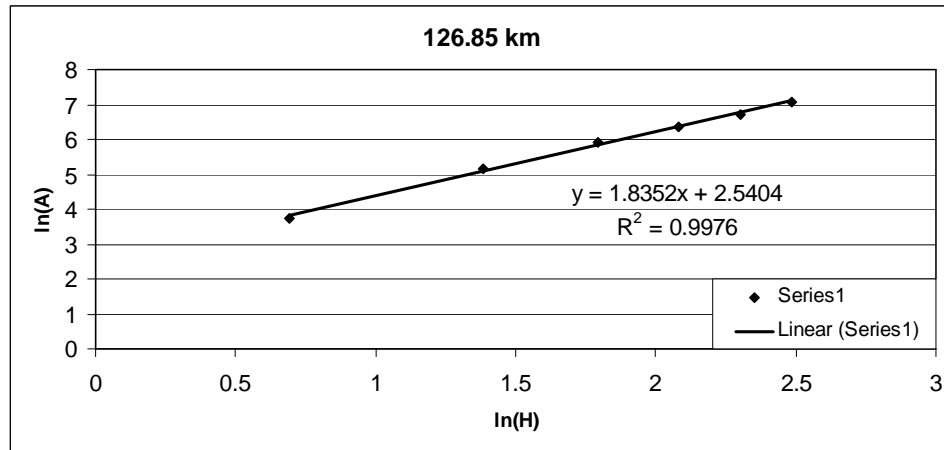
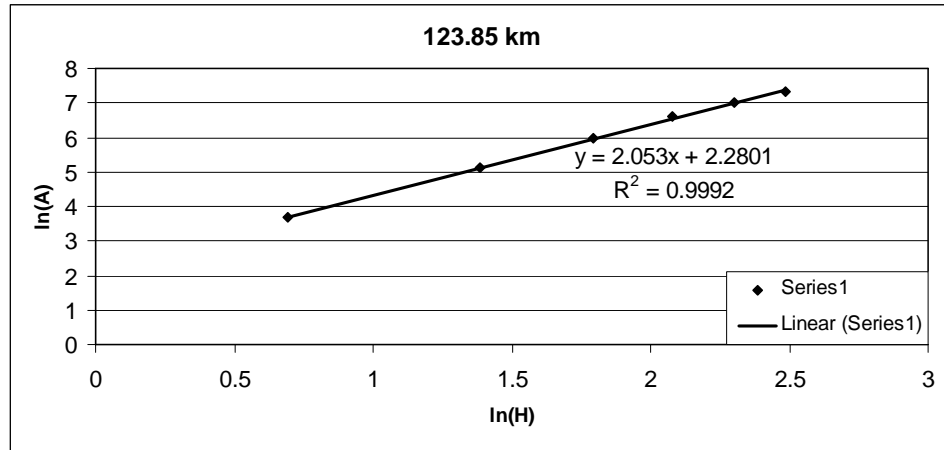
ภาพผนวกที่ จ26 ความสัมพันธ์ระหว่างพื้นที่หน้าตัดและความลึกของแม่น้ำแม่กลอง
 กิโลเมตรที่ 96.85-99.85



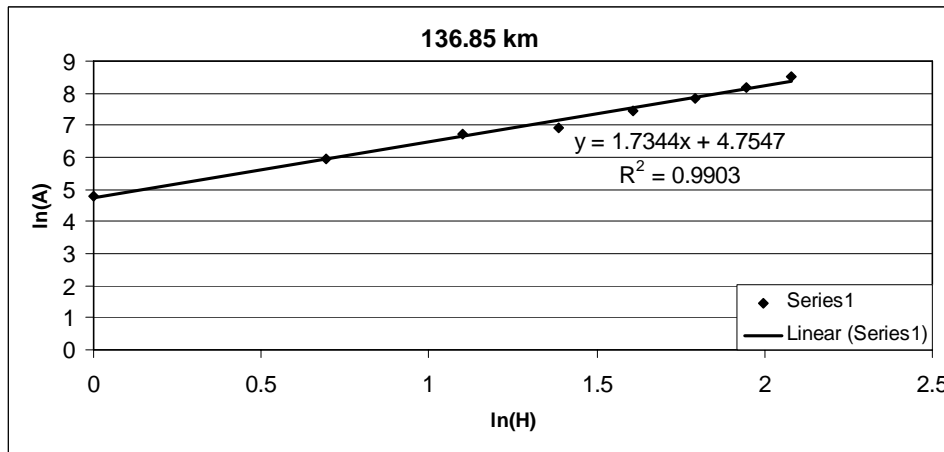
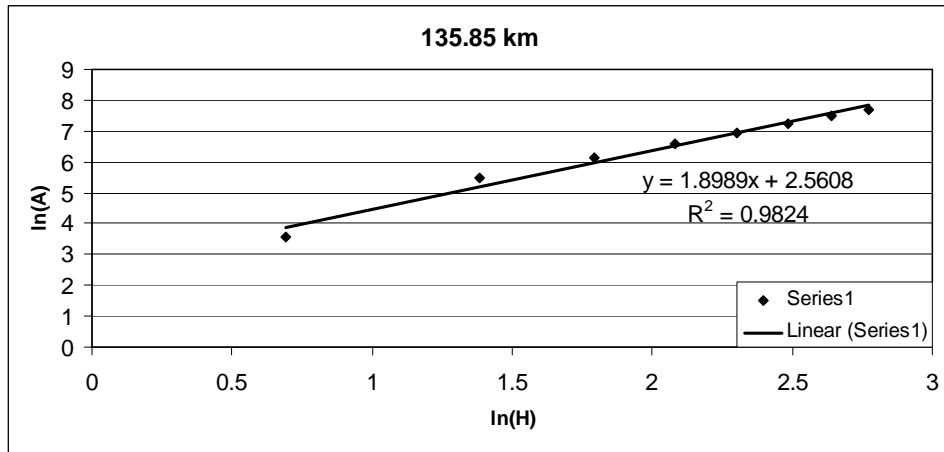
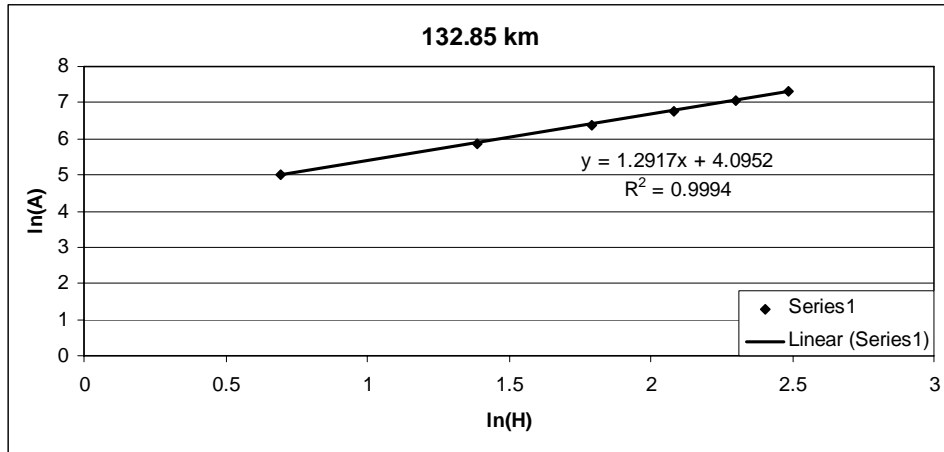
ภาพผนวกที่ จ27 ความสัมพันธ์ระหว่างพื้นที่หน้าตัดและความลึกของแม่น้ำแม่กลอง
 กิโลเมตรที่ 102.85-108.85



ภาพผนวกที่ ๒๘ ความสัมพันธ์ระหว่างพื้นที่หน้าตัดและความลึกของแม่น้ำแม่กลอง
กิโลเมตรที่ 114.85-120.85



ภาพผนวกที่ จ29 ความสัมพันธ์ระหว่างพื้นที่หน้าตัดและความลึกของแม่น้ำแม่กลอง
กิโลเมตรที่ 123.85-129.85



ภาพผนวกที่ ๓0 ความสัมพันธ์ระหว่างพื้นที่หน้าตัดและความลึกของแม่น้ำแม่กลอง
กิโลเมตรที่ 132.85-136.85

ภาคผนวก จ

มาตรฐานคุณภาพน้ำของแหล่งน้ำผิวดินซึ่งมิใช่ทะเล

ตารางผนวกที่ ๑1 มาตรฐานคุณภาพน้ำในแหล่งน้ำผิวดินซึ่งมีใช้ทะเล

ดัชนีคุณภาพน้ำ	หน่วย	การแบ่งประเภทคุณภาพน้ำ***				
		1	2	3	4	5
อุณหภูมิ	°C	๓	๓	๓	๓	-
ความเป็นกรดเป็นด่าง	-	๓	5.0-9.0	5.0-9.0	5.0-9.0	-
ออกซิเจนละลาย	มิลลิกรัม/ลิตร	๓	6.0	4.0	2.0	-
BOD (5 days, 20 °C)	มิลลิกรัม/ลิตร	-	1.5	2.0	4.0	-
โคลิฟอร์มแบคทีเรีย						
- total Coliform	MPN/100 ml	-	5,000	20,000	-	-
- Fecal Coliform	MPN/100 ml	-	1,000	4,000	-	-
ไนเตรดไนโตรเจน	มิลลิกรัม/ลิตร	๓	5.0	5.0	5.0	-
แอมโมเนียไนโตรเจน	มิลลิกรัม/ลิตร	๓	0.5	0.5	0.5	-
ฟีนอล	มิลลิกรัม/ลิตร	๓	0.005	0.005	0.005	-
ทองแดง	มิลลิกรัม/ลิตร	๓	0.1	0.1	0.1	-
นิกเกิล	มิลลิกรัม/ลิตร	๓	0.1	0.1	0.1	-
แมงกานีส	มิลลิกรัม/ลิตร	๓	1.0	1.0	1.0	-
สังกะสี	มิลลิกรัม/ลิตร	๓	1.0	1.0	1.0	-
แคลเซียม	มิลลิกรัม/ลิตร	๓	0.005	0.05**	0.05**	-
โครเมียม (hexavalent)	มิลลิกรัม/ลิตร	๓	0.05	0.05	0.05	-
ตะกั่ว	มิลลิกรัม/ลิตร	๓	0.05	0.05	0.05	-
ปรอททั้งหมด	มิลลิกรัม/ลิตร	๓	0.002	0.002	0.002	-
สารหนู	มิลลิกรัม/ลิตร	๓	0.01	0.01	0.01	-
ไซยาไนด์	มิลลิกรัม/ลิตร	๓	0.005	0.005	0.005	-
กัมมันตภาพรังสี						
- ความแรงรังสีรวมแอลฟา	แบคเคอเรล/ลิตร	๓	0.1	0.1	0.1	-
- ความแรงรังสีรวมเบตา	แบคเคอเรล/ลิตร	๓	1.0	1.0	1.0	-
สารเคมีที่ใช้ป้องกันและกำจัดศัตรูพืช	มิลลิกรัม/ลิตร	๓	0.05	0.05	0.05	-
- ดีดีที	ไมโครกรัม/ลิตร	๓	1.0	1.0	1.0	-
- BHC	ไมโครกรัม/ลิตร	๓	0.02	0.02	0.02	-
- เดลคลริน	ไมโครกรัม/ลิตร	๓	0.1	0.1	0.1	-
- อัลลคริน	ไมโครกรัม/ลิตร	๓	0.1	0.1	0.1	-
- เฮปตะคลอร์	ไมโครกรัม/ลิตร	๓	0.1	0.1	0.1	-
- เฮปตะคลอร์อีพอกไซด์	ไมโครกรัม/ลิตร	๓	0.2	0.2	0.2	-
- เอนดริล	ไมโครกรัม/ลิตร	๓	ไม่พบ	ไม่พบ	ไม่พบ	-

หมายเหตุ	ธ	=	ธรรมชาติ
	°C	=	องศาเซลเซียส
	MPN	=	เอ็ม.พี.เอ็น. หรือ Most Probable Number
	*	=	น้ำที่มีความกระด้างในรูปของ CaCO_3 ไม่เกินกว่า 100 มิลลิกรัมต่อลิตร
	**	=	น้ำที่มีความกระด้างในรูปของ CaCO_3 เกินกว่า 100 มิลลิกรัมต่อลิตร
	***	=	ประเภทของแหล่งน้ำผิวดินซึ่งมีใช้ทะเล แบ่งตามลักษณะการปนเปื้อนและความเหมาะสมในการนำมาใช้ประโยชน์ได้ 5 ประเภท ดังนี้

ประเภทที่ 1 ได้แก่ แหล่งน้ำที่มีสภาพตามธรรมชาติโดยปราศจากน้ำทิ้งจากกิจกรรมทุกประเภท และสามารถใช้ประโยชน์เพื่อการอุปโภค และบริโภคโดยต้องผ่านการฆ่าเชื้อโรคตามปกติก่อน เพื่อการขยายพันธุ์ตามธรรมชาติของสิ่งมีชีวิตระดับพื้นฐาน และเพื่อการอนุรักษ์ระบบนิเวศน์ของแหล่งน้ำ

ประเภทที่ 2 ได้แก่ แหล่งน้ำที่ได้รับน้ำทิ้งจากกิจกรรมบางประเภท และสามารถเป็นประโยชน์เพื่อการอุปโภค และบริโภคโดยต้องผ่านการฆ่าเชื้อตามปกติ และผ่านกระบวนการปรับปรุงคุณภาพน้ำทั่วไปก่อน เพื่อการอนุรักษ์สัตว์น้ำ เพื่อการประมง และเพื่อการว่ายน้ำและกีฬาทางน้ำ

ประเภทที่ 3 ได้แก่ แหล่งน้ำที่ได้รับน้ำทิ้งจากกิจกรรมบางประเภท และสามารถเป็นประโยชน์เพื่อการอุปโภค และบริโภคโดยต้องผ่านการฆ่าเชื้อตามปกติ และผ่านกระบวนการปรับปรุงคุณภาพน้ำทั่วไปก่อน เพื่อการเกษตร

ประเภทที่ 4 ได้แก่ น้ำแหล่งน้ำที่ได้รับน้ำทิ้งจากกิจกรรมบางประเภท และสามารถเป็นประโยชน์เพื่อการอุปโภค และบริโภคโดยต้องผ่านการฆ่าเชื้อตามปกติ และผ่านกระบวนการปรับปรุงคุณภาพน้ำเป็นพิเศษก่อน เพื่อการอุตสาหกรรม

ประเภทที่ 5 ได้แก่ น้ำแหล่งน้ำที่ได้รับน้ำทิ้งจากกิจกรรมบางประเภท และสามารถใช้ประโยชน์เพื่อการคมนาคม

ที่มา: สำนักงานคณะกรรมการสิ่งแวดล้อมแห่งชาติ (2534)

